#### Исследование

свойств множества хаотически движущихся в Пространстве абсолютно упругих частиц разных величин.

Исследование раскрывает устройство элементарных частиц, атомов и достоверно без головокружительной математики объясняет данные всех известных фундаментальных научных экспериментов и наблюдений на основе хаотически движущихся в Пространстве абсолютно упругих частиц разных величин.

Мысль, что вся материя окружающего нас мира состоит из очень маленьких, совершенно однородных частиц существовала ещё во времена Сократа. Предлагаемое исследование представляет попытку подтверждения фундаментальности этой мысли.

Исследуем окружающую нас среду путём непосредственного, здравого восприятия и осмысления с целью установления основных, истинно фундаментальных факторов её существования. Что окружает нас? Конечно, в первую очередь Пространство, в котором мы находимся и свободно совершаем движения. Далее, в результате совершения движения мы обнаруживаем наличие в Пространстве всевозможных материальных объектов.

Материальный объект — это то, что препятствует совершению свободного движения другим материальным объектам, которыми мы и сами являемся.

Только после совершения движения, непосредственным соприкосновением мы можем установить истину наличия материального объекта в Пространстве; видением или слухом возможна ложная информация. Следовательно, движение материальных объектов является неотъемлемым фактором истины их наличия в Пространстве.

Дальнейшее исследование окружающей нас среды сводится к

исследованию Пространства, материальных объектов и их движения, то есть окружающая нас среда основана на фундаменте Пространства, материи и её движения в Пространстве.

Без этих факторов невозможен ни один участок всего окружающего нас мира. Вселенная, все явления в ней, можно уверенно утверждать, основаны на фундаменте этих трёх факторов.

Определим и примем за основу исследований признаки факторов Пространства, материи и движения так же путём здравого восприятия и осмысления.

## Пространство

Пространство — это необъяснимый фактор бытия. Истинно оно воспринимается только возможностью свободно совершать движения. В состоянии свободного движения в Пространстве находятся материи гигантских галактик и элементарных частиц. Для возможности свободного движения в Пространстве необходимо отсутствие в нём торможения, сопротивления движению материи, поэтому можем принять, что признаком Пространства является отсутствие в нём какого-либо силового действия на материю.

## Материя

Материя — это так же необъяснимый фактор бытия. На основании её возможности беспредельного разделения можно заключить, что материальный объект состоит из очень большого количества чрезвычайно малых крупинок материи — частиц. Частица материи — это объёмный объект в Пространстве, чем-то отличающийся от него внутренним содержанием — массой т.

Фактор материи-частицы содержит в себе и фактор Пространства, ибо частица существует в Пространстве и занимает определённый его объём. Принимая во внимание только самое очевидное, основное и общее для всех тел

окружающей нас среды, можно принять за основу: между материальными частицами, подобно как между бильярдными шарами, нет сил взаимного тяготения и отталкивания на расстоянии; сила взаимно отталкивания возникает только в момент их столкновения друг с другом, из-за чего происходит изменение скорости и направления их движения.

Для начала исследования примем: Пространство первично содержит движущиеся хаотично шарообразные, абсолютно упругие и гладкие частицы  $m_o$ ,  $m_1$ ,  $m_2$ ;  $m_o << m_1 << m_2$ ;  $Km_o >> Km_1 >> Km_2$ .  $Km_o + 1$  количество частиц в Пространстве. Во Вселенной первичных шарообразных частиц нет, но для экспериментальных и теоретических исследований примем их существование с фундаментальными признаками элементарных частиц — это абсолютная взаимная упругость, масса  $m_o = 1$  движение  $m_o$ 

#### Движение

Движение содержит в себе факторы Пространства и материи, ибо оно может иметь место только в Пространстве и его носителем может быть только материя. Кажущийся вполне понятным в нашей обыденной жизни (среде) фактор движения в космическом Пространстве и в микромире необъясним. Действительно, представим себя в роли частицы, не имеющей никакой информации об окружающей среде, о собственном движении, о движении и существовании других, окружающих её, частиц. Единственной информацией, воспринимаемой частицей извне, является последовательность событий столкновения её с другими частицами. Следовательно, существование последовательности событий столкновения частиц является признаком движения материи в Пространстве.

Наше восприятие фактора движения так же связано с последовательностью событий. Если нет последовательности событий, например, последовательности изменения местонахождения объекта, которая

нами как-то фиксируется, то мы не можем определить: движется объект или нет. Последовательность же событий, создаваемая движущимися в Пространстве частицами, есть не что иное, как время.

Время — это оценка одних событий количеством совместно наблюдаемых, циклически повторяющихся других событий.

## Вечность материи и движения.

Мы можем легко осмыслить, что Пространство не может исчезнуть или появиться; оно может быть только вечным. Несколько иначе наше мышление по отношению к частицам материи и их движению. Но, если Пространство не оказывает никакого тормозящего действия движению материи и частицы абсолютно взаимно упруги, то ни частицы, ни их движение не могут исчезнуть, не могут появиться, то есть вечны.

Вечность движения частиц заключается в том, что скорость удаления их друг от друга после отражения равна скорости сближения друг к другу до столкновения. Если две частицы  $m_1$  и  $m_2$  при прямом центральном ударе, двигаясь навстречу со скоростями  $V_1$  и  $V_2$ , столкнулись и отразились со скоростями  $V_1^1$  и  $V_2^1$ , вечность движения выразится уравнением

$$V_1 - V_2 = V_2^1 - V_1^1 \tag{1}$$

Величина (  $V_1$  –  $V_1^1$  )  $m_1$  представляет собой импульс J, принятый частицей  $m_1$  от действия силы отражения. Та же сила отражения действовала и на частицу  $m_2$  , но только в противоположном направлении, поэтому

$$(V_1 - V_1^1) m_1 = (V_2^1 - V_2) m_2$$
 (2)

Вечное хаотическое движение частиц в Пространстве приводит к их

бесконечным столкновениям. Столкновения частиц разных величин приводят согласно (2) к выравниванию их величин mV. Поэтому,

в уравновешенном состоянии mV частиц разных величин равны. (3)

## Состояния множества частиц в Пространстве

Движение множества частиц во всевозможных направлениях, столкновения друг с другом приводят к тому, что они распределятся в Пространстве с определённой плотностью: pm<sub>0</sub> >> pm<sub>1</sub> >> pm<sub>2</sub>. При этом возможность столкновений со всех сторон становится одинаковой, то есть становится со всех сторон одинаковое давление — количество столкновений за единицу времени. Если давление с какой-либо стороны меньше, частицы смещаются в обще направленном движении p<sup>-</sup>m в эту сторону до тех пор пока оно не выравнится. В уравновешенном состоянии множества частиц в Пространстве не существует обще направленное движение, что представляет движение хаотическое p<sup>x</sup>m.

р<sup>x</sup>m — это состояние, когда количество частиц, движущихся в каком-либо направлении, равно количеству частиц движущихся встречно им и это количество во всех направлениях одинаково. (4)

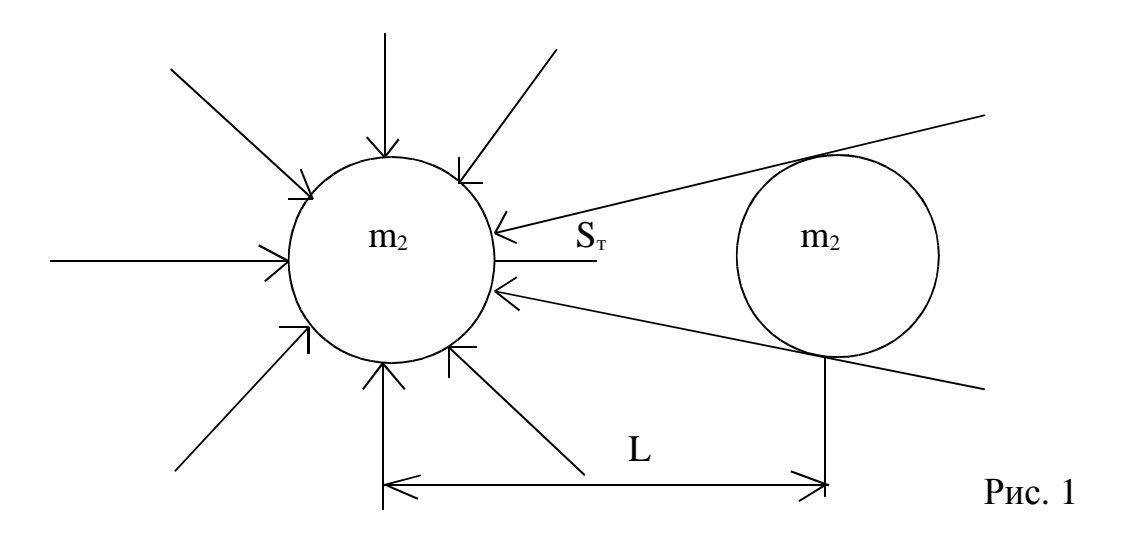
Давление малых частиц на крупные друг к другу.

Согласно (3) частицы малой массы имеют большую скорость движения. Большая скорость движения характеризует их дополнительно тем, что они имеют большее расстояние свободного движения. Это естественно, имея меньший размер и большую скорость, малые частицы имеют меньшую возможность столкновения и большую возможность преодоления большего расстояния от столкновения к столкновению, Lcв.m. Поэтому

## в Пространстве

область, размер которой намного меньше  $Lcв.m_o$ , густо перечеркивается траекториями движений частиц  $m_o$  во всевозможных направлениях и почти не содержит случая столкновения их друг с другом (5)

На рисунке 1 изображены две частицы  $m_2$ , находящиеся в области соответствующей условиям (4) и (5). Стрелками изображены несколько траекторий движения частиц  $m_0$  к одной частице  $m_2$ . Из-за присутствия вблизи



неё другой частицы  $m_2$  имеет место затенённый участок поверхности  $S_{\scriptscriptstyle T}$ , куда радиально к ней движущиеся частицы  $m_{\scriptscriptstyle 0}$  не попадают, вследствие чего она испытывает давление в сторону затеняющей частицы силой

$$F = S_{T} d (6)$$

d - давление на единицу площади m<sub>2</sub> радиально движущихся к ней частиц m<sub>0</sub>.
 Очевидно, такой же величины силу испытывает вторая частица к первой.
 Естественно, столкновения частиц происходят не только по радиальным траекториям, но и по всевозможным, только от них не создаётся затенение и сила их давления уравновешивается.

Частицы m<sub>2</sub> под действием сил F начинают двигаться друг к другу.

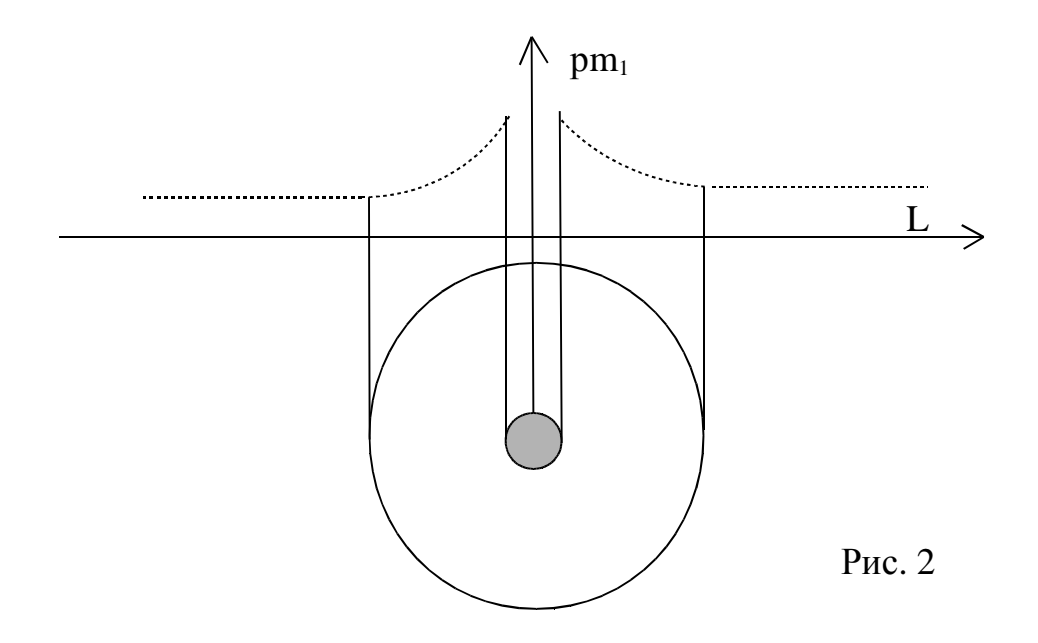
Если частота ударов частиц  $m_{\circ}$  при неподвижном состоянии  $m_2$  было f, то при движении частота  $f^-$  будет ниже,  $f^- < f^-$ , так как столкновения происходят при согласном движении. После столкновения частицы  $m_2$  отразятся и начнут удаляться друг от друга, при этом частота столкновений с частицами  $m_{\circ}$  увеличится,  $f^+ > f^-$ , столкновения происходят при встречном движении,  $f^+ > f^ f^-$ . Импульсы J, приобретаемые частицами  $m_2$ , также разнятся:  $J^+ > J > J^-$ . Вследствие этого сила давления частиц  $m_{\circ}$  на  $m_2$  будут разными,  $F^+ > F > F^-$ , поэтому частицы  $m_2$  после отражения будут терять свои скорости быстрее, чем приобретали при движении друг к другу и, не достигнув прежнего расстояния L между ними, начнут вновь сближаться. В конечном итоге частицы станут неразлучными — соединёнными, но совершать колебательные движения относительно друг друга со свойственными им скоростями , согласно ( 3 ). Давление частиц  $m_{\circ}$  на  $m_2$  назовём давлением Пространства, а частицы  $m_{\circ}$  — частицами Пространства.

Давление малых частиц на более крупные друг к другу происходит и в воздушной среде, что можно наблюдать поместив два волоска перпендикулярно друг к другу на небольшом расстоянии. Области пересекающихся волосков представляют подобие близко расположенных частиц. На некотором расстоянии друг от друга, очевидно близком к расстоянию свободного движения частиц воздуха, волоски испытывают давление друг к другу и соединяются.

Совершенно очевидно, возможность соединения частиц  $m_2$  значительно выше возможности соединения частиц  $m_1$  из-за меньшего их размера поперечного сечения, создающего затенение, и большей скорости движения. Поэтому в Пространстве вначале соединяются частицы  $m_2$ . После соединения двух частиц возможность соединения с ними третьей увеличивается, так как уже две частицы создают затенение на третьей. После соединения третьей возможно последует соединение и четвёртой, и пятой ...

По мере увеличения количества частиц  $m_2$  в соединении увеличивается

возможность соединения с ними частиц  $m_1$ , так как суммарное затенение соединённых частиц  $m_2$  на  $m_1$  будет достаточным. Произойдёт соединение с соединившимися частицами  $m_2$  множества частиц  $m_1$  (рис. 2), прежде чем соединится следующая  $m_2$ , так как в окружении  $m_1$  значительно больше, чем  $m_2$ . Плотность частиц  $m_1$  в образовавшемся скоплении по мере удаления от центра уменьшается обратно пропорционально квадрату расстояния, вследствие такой же закономерности силы F, которая очевидна из рис.1. Под диаграммой изображено скопление частиц — в центре ядро (частицы  $m_2$ ),



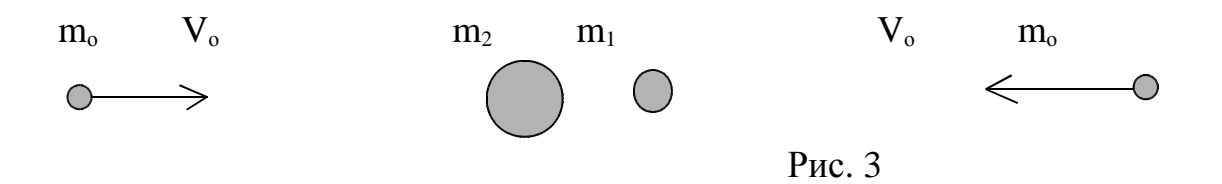
вокруг ядра оболочка из частиц  $m_1$ . Частицы в скоплении так же находятся в состоянии хаотического движения со свойственными им скоростями согласно (3), то есть  $V_0 >> V_1 >> V_2$ .

Очевидно, ядро скопления испытывает давление частиц оболочки, причём большее со стороны большего их количества, что приводит к движению скопления. Для выяснения причины рассмотрим следующее: на рис. 3 изображены частицы  $m_2$  и  $m_1$  в качестве частиц скопления, они неподвижны. При ударе частицы  $m_0$  с левой стороны  $m_2$  приобретает скорость согласно уравнений (1) и (2):  $V_\pi = 2 \; m_o \, V_o \, / (\; m_o + m_2, )$ , а при ударе с правой  $V_\pi = 4 \; m_o \, m_1 \; V_o \, / (\; m_1 + m_o) \; (\; m_1 + m_2)$ .  $V_\pi > V_\pi$ ,

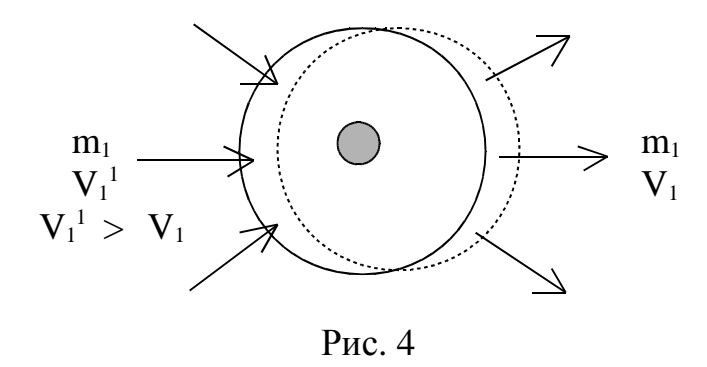
что подтверждается экспериментально.

Окружность вокруг ядра на рис. 2 означает размер скопления, в пределах которого существует сила давления Пространства, поддерживающая определённую плотность частиц  $m_1$  и  $m_2$ .

Если вблизи скопления появится свободная частица  $m_2$ , то она затенит его от давления Пространства со своей стороны, что приведёт к выходу  $m_1$  из оболочки в затенённой части. При этом уменьшится количество  $m_1$  в оболочке с противоположной стороны, а между скоплением и  $m_2$  увеличится, из-за



чего скопление и  $m_2$  будут испытывать давление друг от друга, то есть произойдёт их взаимное отражение. В этом состоянии скопление похоже воздушному шару с образовавшимся отверстием в оболочке. Шар и  $m_2$  разлетелись бы в противоположные друг от друга стороны из-за выбрасываемого из разрушенной части оболочки воздуха. В отличие от воздушного шара выход частиц  $m_1$  из скопления в затенённой части приводит к их пополнению из окружающей среды в не затенённой части. Они входят в скопление с повышенной скоростью движения  $V_1^1$  вследствие давления Пространства, поэтому оболочка оказывается смещённой в сторону затенённой стороны за пределы проявления силы F, рис 4. Такое состояние скопления сохраняется и после отражения, из-за чего оно продолжает движение (инерционное) в том же направлении до следующей встречи с другой частицей  $m_2$  или скоплением, причём скорость движения определяется величиной «отверстия в оболочке», образовавшегося от затенения частицей  $m_2$  или скоплением.



Итак, свойства скопления в основе такие же, что и у ранее принятых  $m_{0}$ ,  $m_{1}$  и  $m_{2}$ ... Скопления инерциальны в движении, при столкновении друг с другом проявляют свойства абсолютной упругости и гладкости ( механизм их отражения исключает возможность возникновения вращающего момента при скользящих- нецентральных столкновениях ), поэтому есть основание заключить: скопление — это частица элементарная, из подобных состоит вся материя окружающего нас мира.

Частицы равных величин m , двигаясь со свойственными им скоростями, сталкиваются друг с другом только встречно. Частицы с разными величинами сталкиваются как встречно так и согласно (при движении в одном направлении). Согласные столкновения создают на частицы разностное давление F<sup>p</sup>, из-за чего частицы m<sub>1</sub> , не вошедшие в скопление, но находящиеся вблизи него, испытывают разностное давление к скоплению, а частицы m<sub>0</sub> , следовательно, в противоположную сторону. Это естественно, так как со стороны скопления согласное столкновение m<sub>1</sub> с m<sub>0</sub> менее возможно. Вследствие возникновения силы F<sup>p</sup> вблизи скопления, вокруг него, образуется второй слой оболочки из частиц m<sub>1</sub> , значительно превышающий по размеру первый. F<sup>p</sup> по мере удаления от скопления убывает обратно пропорционально расстоянию, так как она вызвана не ядром скопления, а соседствующей плотностью частиц m<sub>1</sub>.

На рис.5 изображено скопление с дополнительной оболочкой — пунктирная окружность . Дополнительную оболочку скопления назовём

полем частицы, а  $F^p$  — силой обособления частиц равных величин. Поле частицы — неустойчивая её принадлежность: максимальный его размер в свободном состоянии частицы, малый или полное отсутствие при её нахождении в поле, оболочке или ядре другой частицы.

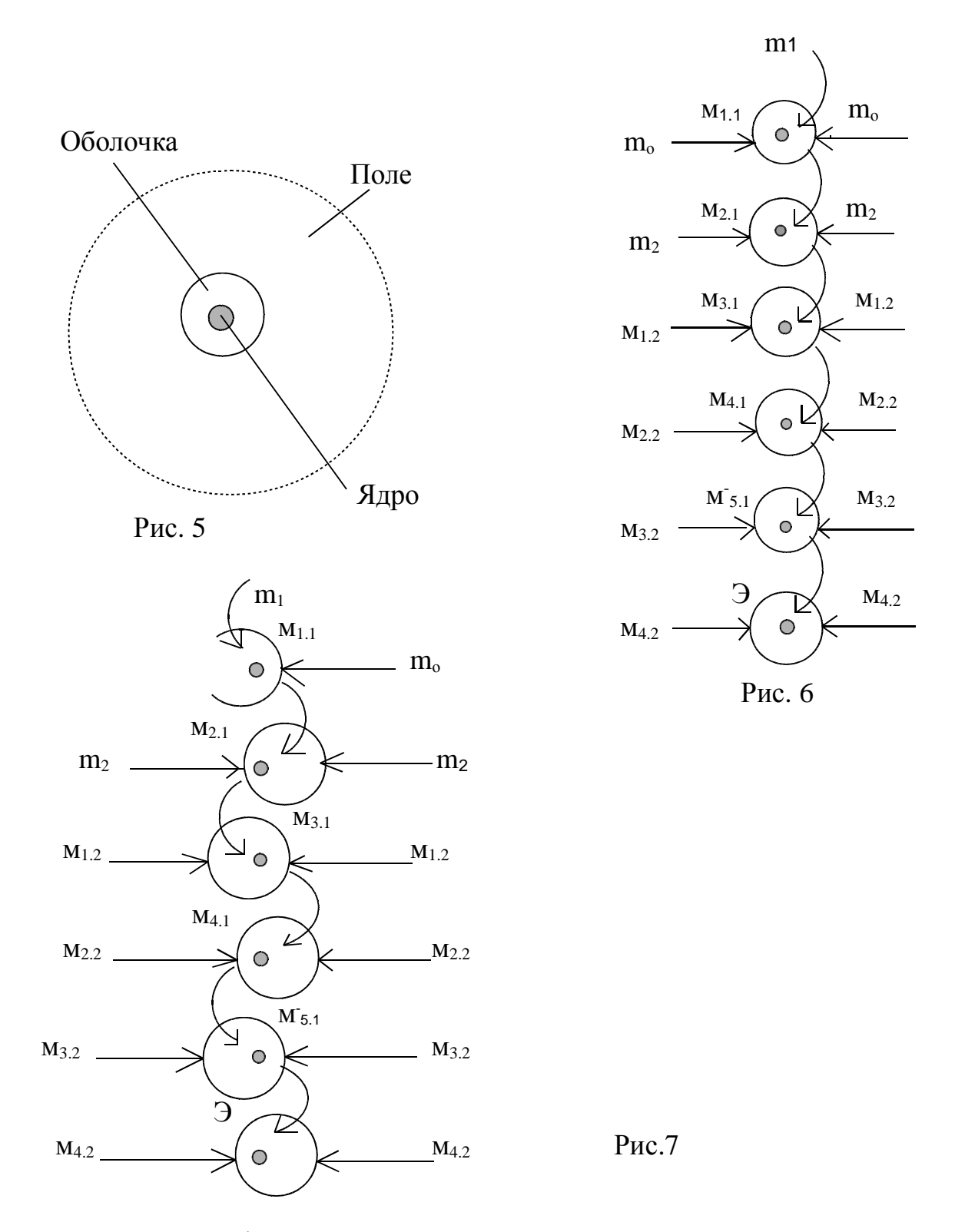
Скопление в ядре может содержать разное количество частиц  $m_2$ , что определяет его массу m (m- для отличия обозначения массы скопления от массы первично принятых частиц m), поэтому в Пространстве со множеством m возможна совокупность :  $m_0 << m_1 << m_2$ .  $m_2 < m_3 < m_4$  новой совокупностью частиц m произойдут такие же процессы, какие происходили m с m: образуется целый ряд более крупных частиц, вплоть до электронов (m) и протонов (m1).

Естественно, возможно образование скопления частиц т и вокруг одной  $m_2$ , следовательно, из частиц  $m_0$ ,  $m_1$ ,  $m_2$  образуется множество частицскоплений  $M_{1,K1}$ ,  $K_1$  — количество  $M_2$  в ядре:  $M_{1,1}$ ,  $M_{1,2}$ ,  $M_{1,3}$  ... Совокупность частиц  $(m_2, M_{1.1} \text{ и } M_{1.2})$  — A, а так же  $(M_{1.1}, M_{1.2} \text{ и } M_{1.3})$  — B представляют совокупности, аналогичные  $m_0$ ,  $m_1$ ,  $m_2$ ; с ними так же произойдут процессы образования скоплений: в совокупности А образуются частицы м<sub>2,к2</sub>, к<sub>2</sub> — количество м<sub>1,2</sub> в ядре; в совокупности В — частицы  $M_{6,k6}$ ,  $k_6$  — количество  $M_{1,3}$  в ядре, таблица ниже. В свою очередь, в среде множества частиц  $M_{1.\kappa 1}$ ,  $M_{2.\kappa 2}$ ,  $M_{6.\kappa 6}$  совокупности  $(M_{1.2}, M_{2.1}, M_{2.2})$  — С и  $(M_{1.3}, M_{6.1}, M_{6.2})$  — D предоставляют возможность образования новых ещё более крупных частиц: в совокупности С образование частиц м<sub>3.к3</sub>, к.3 количество  $M_{2,2}$  в ядре; в совокупности D образование частиц  $M_{7,\kappa7}$ ,  $\kappa7$  количество м<sub>6.2</sub> в ядре. В таблице приведена дальнейшая последовательность процесса укрупнения частиц до образования электрона Э и протона П; частицы, помещённые под стрелкой, представляют частицы Пространства, частицы под буквой О — частицы оболочки и поля, частицы под буквой Я частицы ядра.

$\rightarrow$	O	R	Частицы	$\rightarrow$	O	R	Частицы
$m_{o}$	$\mathbf{m}_1$	$m_2$	$\mathbf{M}_{1.\kappa 1}$				
$m_2$	$M_{1.1}$	$M_{1.2}$	$\mathbf{M}_{2.\kappa2}$	$m_{1.1}$	$M_{1.2}$	$M_{1.3}$	$M_{6.\kappa6}$
$M_{1.2}$	$M_{2.1}$	$M_{2.2}$	$M_{3.k3}$	$M_{1.3}$	$M_{6.1}$	$M_{6.2}$	M <sub>7.k</sub> 7
$M_{2.2}$	$M_{3.1}$	$M_{3.2}$	$\mathbf{M}_{4.\mathrm{K4}}$	$M_{6.2}$	<b>M</b> 7.1	M <sub>7.2</sub>	$M_{8.\kappa8}$
$M_{3.2}$	$M_{4.1}$	$M_{4.2}$	$M_{5.K5}$	M <sub>7.2</sub>	$M_{8.1}$	$M_{8.2}$	M <sub>9.K</sub> 9
$M_{4.2}$	$M_{5.1}$	$M_{5.2}$	Э	$M_{8.2}$	$M^{+}_{9.1}$	M <sub>9.2</sub>	П

Частицы  $M_{5.1}^-$  создают эффект отрицательного заряда электрона , частицы  $M_{9.1}^+$  - эффект положительного заряда протона.

Итак, любая элементарная частица во Вселенной представляет скопление более малых, то есть каждая из них состоит из нисходящей от Пространства ступенчатой оболочной последовательности частиц, рис. 6. На рисунке стрелки к окружностям оболочек обозначают давление указанных частиц, создающих соответствующие ступеням давление Пространства. Количество ступеней определено (далее) существованием скоплений галактик. Из оболочной последовательности следует: если ступень испытывает затенение от частиц Пространства, то её реакция последовательно передаётся на нижние ступени. Например, м<sub>1.1</sub> испытывает затенение от частиц Пространства m<sub>o</sub> с левой (рис.7) стороны, что изображено разрывом линии оболочки и отсутствием стрелки  $m_0$ . Частицы  $M_{1.1}$  в  $M_{2.1}$  испытывают давление в сторону от затеняющего объекта, поэтому смещены относительно ядра в эту сторону — изображено смещением окружности оболочки относительно ядра. Вследствие этого частица м<sub>2.1</sub> испытывает давление в противоположную сторону. Затем, аналогично, происходит смещение оболочки частицы м<sub>3.1</sub> относительно ядра и так далее. В итоге электрон 9 испытывает давление  $+F_1^{\circ}$ в сторону объекта, затеняющего его от ударов частиц м<sub>о</sub>. На рисунках 6 и 7



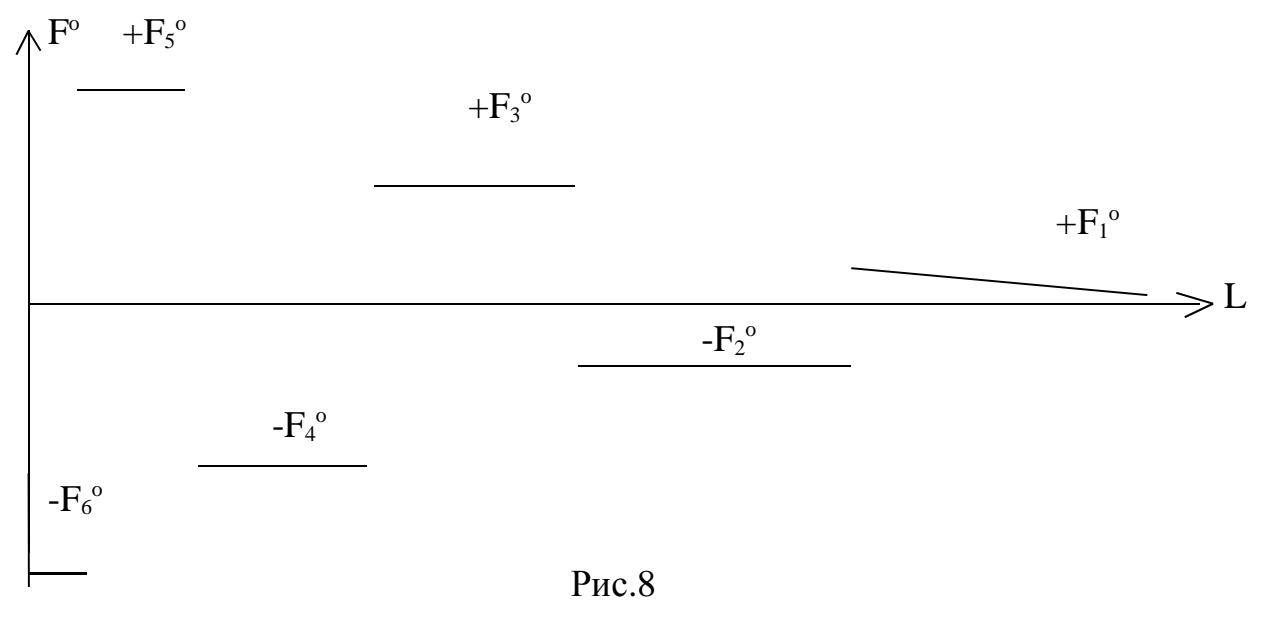
поля частиц не изображены.

Чем меньше масса частицы, тем больше скорость её движения ( 3 ), то есть  $Vm_1>>Vm_{1.1}>>Vm_{2.1}>>Vm_{3.1}>>Vm_{4.1}>>Vm_{5.1}$  , поэтому размеры (О) полей, состоящих из этих частиц, соответствуют их скоростям:  $Om_1>>Om_{1.1}>>Om_{2.1}>>Om_{3.1}>>Om_{4.1}>>Om_{5.1}$  . Следовательно, чем меньше

масса частицы, тем больше она пространственнее. В конечном итоге самая малая частица должна превратиться в Пространство. Пространство, конечно же непрерывно, но каким образом, почему оно проявляется свойствами частиц? Возможно подобно, как непрерывная гладь моря преобразуется в волны???

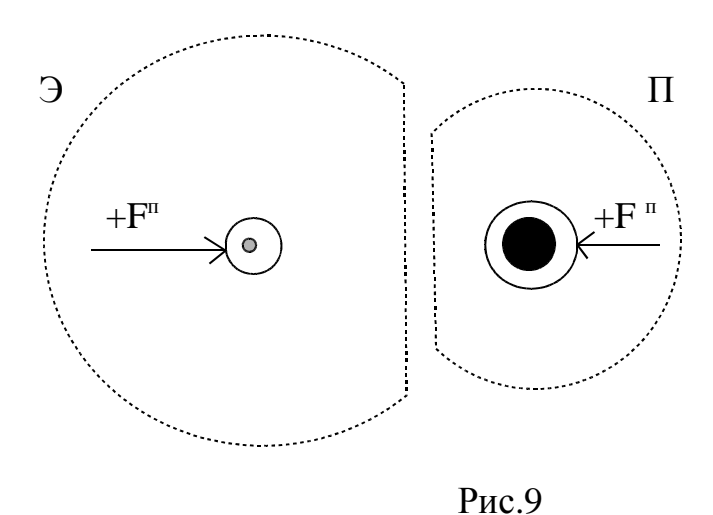
Оболочная последовательность создаёт переменное ступенчатое взаимовлияние электронов в зависимости от расстояния между ними , рис. 8. При их сближении друг к другу происходит увеличение затенённых «отверстий» в оболочках частиц последовательности. Выход частиц из оболочки начинается тогда, когда размер «отверстия» достигнет размера оболочной частицы. Конечно же, на затенение вначале реагирует наименьшая частица  $M_{1.1}$  — возникает сила  $+F_1^{\text{ o.}}$ , затем частица  $M_{2.1}$  — возникает сила  $-F_2^{\text{ o.}}$  и так далее, рис.8.

Аналогично электрону существование протонов  $\Pi$  с такой же структурой и диаграммой сил взаимовлияния основано на наличии в Пространстве частиц согласно ранее приведенной таблице. При взаимовлиянии электрона с протоном силы  $F^{\circ}$  у электрона возникают раньше, чем у протона, вследствие того, что  $\Pi >> 3$ .



Для упрощения далее частицы оболочки протона  $M^+_{9.1}$  обозначим  $M_+$  , частицы оболочки электрона  $M^-_{5.1}$  —  $M_-$  .

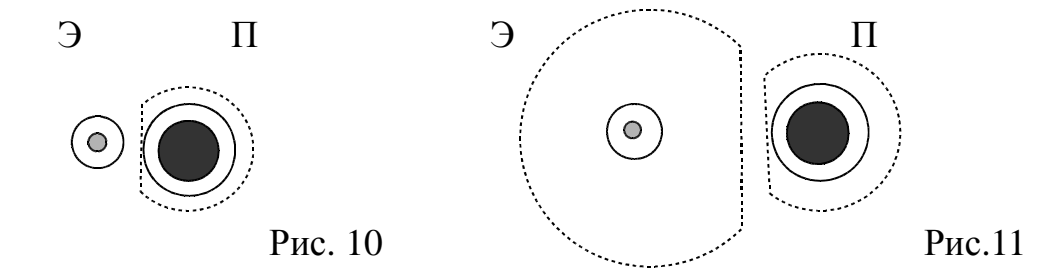
Так как  $M_+ >> M_-$ , Lcb. $M_+ << Lcb.M_-$ , размер поля электрона больше поля протона, но менее устойчив. При сближении электрона и протона друг к другу между ними от действия силы  $F^p$  образуется зона рассеянных (отсутствия) полей (рис.9), в итоге возникают силы  $+F^n$ . Если сумма сил  $+F^n$  и  $+F_1^o$  достаточна для разгона электрона и протона друг к другу для преодоления силы  $-F_2^o$ , то электрон и протон становятся неразлучными, совершая относительно друг друга колебательные движения под действием сил  $+F_3^o$   $-F_4^o$ ; такое соединение электрона с протоном представляет собой атом водорода.



Если же начальная скорость сближения электрона с протоном достаточна высока для преодоления силы  $-F_4{}^{\circ}$ , то электрон и протон, соединившись, будут совершать колебательные движения относительно друг друга под действием сил  $+F_5{}^{\circ}$   $-F_6{}^{\circ}$  и представлять собой частицу нейтрон, рис.10; 11.

Существование во Вселенной скоплений галактик свидетельствует о том, что Lсв. $m_{o}$  больше межгалактического расстояния в их скоплении, так что электрон и протон из-за затенения от ударов частиц  $m_{o}$  галактикой испытывают давление к ней, то есть сила  $+F_{1}{}^{o}$  представляет силу взаимно тяготения галактик, сила  $-F_{2}{}^{o}$ , следовательно, — силу их взаимно

отталкивания. Далее, сила  $+F_3^{\circ}$  представляет силу взаимно тяготения звёзд в галактике,  $-F_4^{\circ}$  — силу их взаимно отталкивания. Сила  $+F_5^{\circ}$  представляет



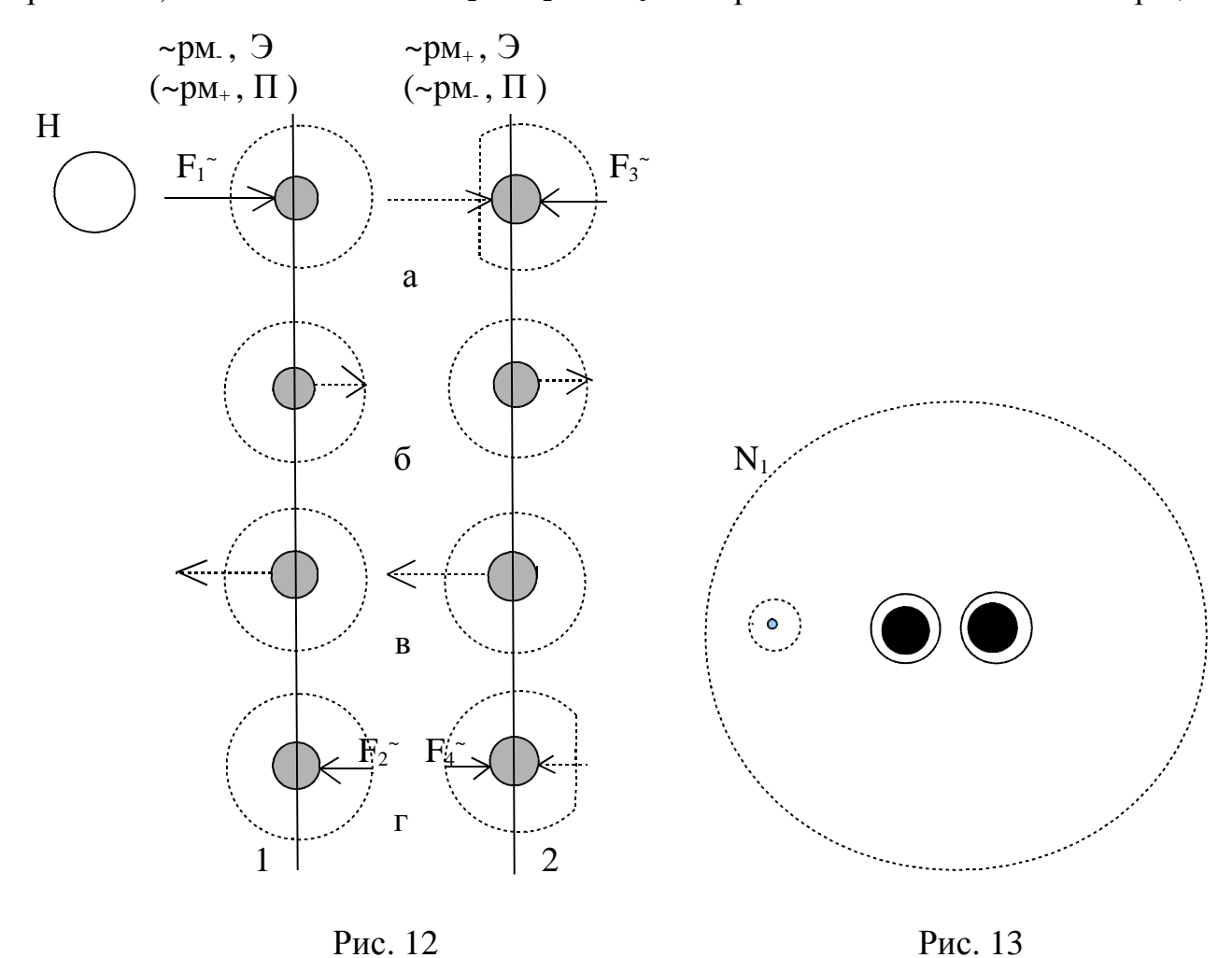
гравитацию (взаимно тяготение) в пределах околозвёздного Пространства.

В нейтроне электрон и протон постоянно находятся в состоянии колебательного движения. Допустим, на рис. 10 электрон находится на возможно близком расстоянии от протона, а на рис.11 на расстоянии, в пределах которого совершаются его колебательные движения. В наиболее близком расстоянии друг от друга электрон не имеет поля, протон имеет малый размер. По мере удаления друг от друга электрон и протон приобретают частицы полей из окружающей среды, допустим, до размеров, изображённых на рис. 11, то есть нейтрон возбуждает приливную волну среды частиц м. и м. При сближении друг к другу электрон и протон теряют свои поля до величин рис. 10, возбуждая отливную волну. Таким образом, существование нейтрона сопровождается возбуждением им волн ~рм±, причём в волне составляющая ~рм. больше составляющей ~рм, так как у электрона размер поля меняется больше чем у протона, Частота волн конечно же значительно выше частоты световых волн. Длина волны, возможно, соизмерима с длиной волны рентгеновских лучей. ( Если б мы могли увидеть нейтрон, то воскликнули бы: « Он дышит, он живой!» . Позже выяснится, что и все атомы дышат, тоже живые).

## Образование атомов

Волны нейтрона ~рм. и ~рм. влияют на свободные электроны и

протоны. Рассмотрим раздельно влияние  $\sim$ рм. и  $\sim$ рм. На рис.12 изображен находящийся вблизи нейтрона H электрон H электрон H электрон H электрон H электрон H электрон H в левую его половинку, изображена стрелкой H длина которой означает, допустим, её амплитудную величину, рис.12.1а. Частицы H являются частицами оболочки и поля электрона, поэтому в электроне волна распространяется. Так как волна содержит H H она оказывает давление H на ядро. Далее, волна набежала в правую половинку электрона, рис.12.16. Сила волны ( амплитуда ) в правой половинке слабее, чем в левой, она дальше от нейтрона, изображено пунктирной стрелкой, более короткой чем H H гис.12.18 приливная волна H в левой половине электрона также не оказывает давления на его ядро, а в правой половинке, рис.12.1г, оказывает силой H H гис.12.1г. На рис.12.2а отливная волна H



набежала в левую половинку электрона. Так как частицы  $M_+$  не свойственны полю электрона, происходит рассеивание его поля силой обособления частиц разных величин  $F^p$ . Возникает сила  $F_3^{\sim}$ . Волна  $\sim p M_+$  отливная рис.12.26 и приливная рис.12.28 не действуют на ядро электрона, а волна рис.12.2г рассеивает его поле, возникает сила  $F_4^{\sim}$ .  $F_4^{\sim} < F_3^{\sim}$ . Так как в волне нейтрона  $\sim p M_+ > \sim p M_+$ ,  $F_1^{\sim} > F_3^{\sim}$ . На рисунке пунктирная стрелка означает волну, сплошная — силу; если же волна оказывает давление, пунктирная стрелка отсутствует. Конечно же волны на рис. б, в вызывают возникновение малой силы F из-за некоторого уменьшения плотности оболочки, они не изображены. Влияние волны дыхания нейтрона на свободный протон такое же (на рис 12.1 на протон набегает  $\sim p M_+$ , на рис.12.2  $\sim p M_-$ ). Из рассмотренного следует:

волна  $\sim$ рм- отталкивает электрон (- $F_{-3}$ ), притягивает протон (+ $F_{-\pi}$ ); волна  $\sim$ рм- притягивает электрон (+ $F_{+3}$ ), отталкивает протон (- $F_{+\pi}$ ). (7)

В волне дыхания нейтрона преобладает составляющая  $\sim$ рм. Следовательно, с ним может соединиться протон за счёт сил  $+F_{-n}^{-n} +F_{1}^{0}$  , в сумме преодолевающих  $-F_{2}^{0}$  . Протон войдёт в зону действия сил  $+F_{3}^{0}$   $-F_{4}^{0}$  (возможно в зону сил  $+F_{5}^{0}$   $-F_{6}^{0}$  и будет совершать колебательные движения относительно нейтрона . Конечно же, колебаться будет и нейтрон, их массы почти одинаковы. Сближение протонов друг к другу способствует образованию их общего поля, рис.13, возникает прилив рм $_{+}$  к ним, в котором электрон согласно (7) испытывает давление от них. При удалении протонов друг от друга происходит отлив рм $_{+}$  от них, электрон при этом испытывает давление к ним, то есть электрон также колеблется. но противоположно, не синхронно, колебаниям протонов. Соединение-частицу (H+П) обозначим  $N_{1}$ .

Протоны в  $N_1$  могут находиться в двух возможных зонах действия сил:  $+F_3{}^o{}_{\pi}$   $-F_4{}^o{}_{\pi}$  и  $+F_5{}^o{}_{\pi}$   $-F_6{}^o{}_{\pi}$ . В любой зоне протоны будут друг к другу ближе, чем электрон к ним. При образовании нейтрона электрон начал испытывать

силу  $+F_1^{\circ}_{,0}$  вследствие её затенения от Пространства протоном, допустим, на расстоянии  $L_1$ . Протон при соединении с нейтроном начал испытывать  $+F_1^{\circ}_{,n}$  на расстоянии  $L_2 < L_1$ , так как  $M_+ > M_-$ , «отверстие» для  $M_+$  в оболочке протона образуется на более близком расстоянии. Из-за близости их поля сольются в одно увеличенное поле силой обособления частиц равных величин, электрон же, находясь в их поле, значительно лишится поля, рис. 13.

В объединённом поле протонов электрон, возможно, становится общим для обоих, то есть может находиться в любой области вокруг них, причём в области его нахождения поле протонов частично рассеивается , следовательно  $N_1$  будет испытывать давление в сторону электрона и двигаться в его сторону.  $N_1$  можно изобразить с усечённым полем и электроном, помещённым в усечённую область, имея в виду, всё же, что последний находится в его поле, рис.14, оболочка и поле электрона для упрощения не изображены. Из этого следует,  $N_1$  не может находиться в состоянии покоя из-за наличия в нём электрона.

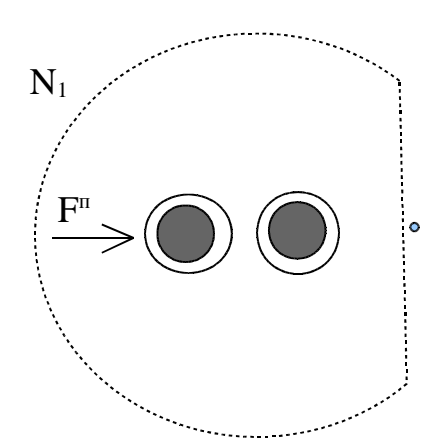
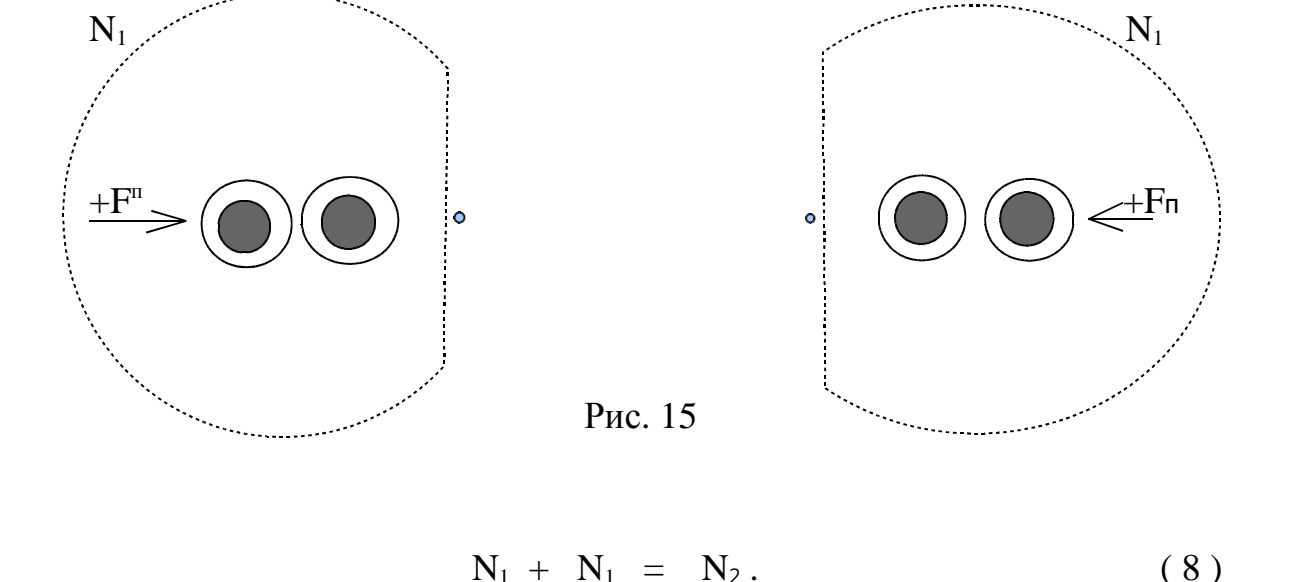


Рис. 14

 $N_1$  возбуждают волны  $\sim p_{M_+} >> \sim p_{M_-}$ .  $\sim p_{M_+}$  отталкивают их друг от друга, но в их электронах возникают силы $+F_1^{\circ}_{3}$  на больших расстояниях , они смещаются в сторону затенения , рис. 15, рассеивая поля  $N_1$  и вызывая их движение друг к другу до возникновения в их протонах сил  $+F_1^{\circ}_{\pi}$  , которые в сумме с ранее приобретённой инерцией движения обеспечат вхождение в зону действия сил  $+F_3^{\circ}_{\pi}$   $-F_4^{\circ}_{\pi}$  , образуется частица-соединение



 $N_2$  естественно таким же образом могут соединяться друг с другом и с  $N_1$ , образуется скопление, естественно, шарообразной формы с образовавшимися вокруг него общим увеличенным полем рм+

$$N_2 K_1 + N_1 K_2$$
 (9)

(8)

К - количество частиц. Скопления (8) и (9) представляют ядра атомов, они возбуждают волны ~рм+ >> ~рм., поэтому приобретают электроны в свои поля. По мере увеличения количества электронов в поле атома уменьшается составляющая ~рм, увеличивается ~рм. С наступлением равновесия ~рм, и ~рм. вход электронов прекращается. Ядро атома приобретает достаточно большой размер поля рм<sub>+</sub>; электроны, входящие в атом, оказываются в его поле в трёх возможных зонах действия сил:  $+F_{1}^{\circ}_{3} -F_{2}^{\circ}_{3}$ ,  $+F_{3}^{\circ}_{3} -F_{4}^{\circ}_{3}$ ,  $+F_{5}^{\circ}_{3} -F_{6}^{\circ}_{3}$ . Расстояния зон от ядра определяется его размером, чем больше размер, тем дальше. Из зоны  $+F_1^{\circ}$ ,  $-F_2^{\circ}$  электроны могут легко покинуть атом — это свободные электроны СЭ. Плотность частиц м<sub>+</sub> поля атома увеличивается по мере приближения к ядру, вследствие этого размеры полей электронов пропорциональны расстоянию от ядра атома — чем ближе к ядру, тем меньше размер. Электроны не оказывают давление на ядро, но частично рассеивают его поле. Если в какой-либо стороне ядра окажется большее количество электронов, которые больше рассеют его поле, то ядро будет испытывать давление в сторону большего количества электронов. Электроны в поле ядра, так же, как в частице  $N_1$ , колеблются не синхронно с частицами ядра.

Атом приобретает электроны до уравновешивания составляющих волн ~рм+ и ~рм-, при которых силы притяжения и отталкивания на свободные электроны равны. Возможно для полного уравновешивания необходимо дополнительно к имеющимся только половина или какая-то часть электрона, но таковых нет. Поэтому атом оказывается с некоторым недобором или перебором электронов. В таких случаях атом возбуждает в окружающее Пространство волны ~рм± с некоторым преимуществом ~рм. или ~рм+.

#### Свет

Атомы постоянно возбуждают волны в процессе дыхания. Однако, в нормальном состоянии окружающие нас предметы не излучают свет — волны дыхания атомов не воспринимаются нашим зрением. Свет излучают вещества в сильно разогретом состоянии. В веществах, кроме зоны  $+F_1^{\circ}$ ,  $-F_2^{\circ}$ , в атомах, всегда имеются свободные электроны СЭ. По мере увеличения температуры повышается скорость движения как атомов, так и СЭ; при этом возможно их столкновение с атомом и вход в него. Свободный электрон может войти в атом только синхронно в соответствии с дыханием атома, то есть двигаясь как и электроны самого атома в направлении к ядру. При этом от атома идёт отливная волна  $\sim$ рм $_+$ , которая создаёт давление  $+F_+^{\sim}$ , в электронах в сторону источника волны, согласно (7). Свободный электрон должен иметь большую скорость движения, чем электроны атома, ибо ему нужно пройти большее расстояние для синхронного входа. Вход СЭ в атом сопровождается дополнительным вытеснением поля ядра — увеличением силы отливной волны  $\sim$ рм $_+$ , что приводит к увеличению скорости движения электронов атома до

величины  $V^1$ . После отражения электронов СЭ, имея большую скорость, но меньшую, чем до входа, покинет атом. Уход СЭ из атома приводит к ослаблению приливной волны  $\sim pm_+$ , что несколько уменьшит  $V^1$ , но не полностью, так как СЭ вошел в атом с большим размером поля, покидает с меньшим (в поле атома размер СЭ уменьшается). Это приводит к тому, что вызванная СЭ отливная волна оказывается более сильной, чем приливная.

Итак, степень увеличения скорости движения электронов атома зависит от степени вытеснения поля ядра входящим в атом СЭ, которая определится отношением (n+1):n; n - количество электронов в атоме. Естественно, увеличение скорости движения электронов атома будет происходить и при следующих входах-выходах СЭ. Общее приращение скорости определится отношением  $(n+\kappa):n$ ;  $\kappa$  - количество входов-выходов СЭ. (На степень вытеснения поля ядра очевидно влияют в основном электроны внешней зоны, при входе СЭ только во внешнюю зону; если они есть и во внутренней, то очевидно и их некоторое влияние).

Увеличение скоростей движения электронов атома от входов-выходов СЭ приводит в конечном итоге к ионизации атома, при которой один из электронов, приобретя скорость  $V_{\scriptscriptstyle H}$ , покинет атом.

По мере увеличения скорости движения электронов атома уменьшается средняя плотность частиц м. в их полях, так как они дальше удаляются от ядра, больше становится их размер (размер поля электронов пропорционален расстоянию от ядра атома). Следовательно, средняя плотность полей электронов обратно пропорциональна величине  $(n + \kappa)$ : n. Средняя плотность частиц  $m_+$  поля ядра атома также обратно пропорциональна величине  $(n + \kappa)$ : n, ибо по мере увеличения удалённости электронов увеличивается его размер. Поэтому сила отливной волны  $\sim pm\pm$  атома при входе в него СЭ зависит как от средней плотности pm в полях электронов, так и от средней  $pm_+$  в поле ядра, то есть пропорциональна величине  $1:[(n + \kappa):n]^2$ . Из этого следует:

$$V = V_{\mu} - V_{\mu} : [(n + \kappa) : n]^{2}.$$

V — скорость движения электронов атома после к столкновений с СЭ.

#### Взаимовлияние атомов, имевших столкновения с СЭ.

По мере увеличения скорости движения — амплитуды колебания электронов в атоме (из-за входов-выходов СЭ) увеличивается составляющая ~рм. его волны. На рис.16 а изображены два атома на расстоянии взаимовлияния их волн. Поля атомов с ближних сторон рассеяны, поэтому испытывают давление друг к другу силами +F<sup>п</sup>. Они движутся друг к другу

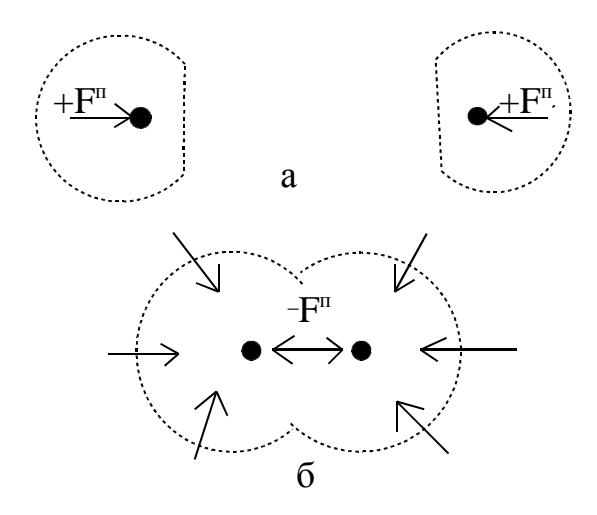


Рис.16

до слияния их полей, рис. 16 б. Возникает сильный прилив частиц  $M_+$  в атомы и одновременно сила взаимно отталкивания  $-F^n$ , но атомы движутся под действием сил инерции и  $+F_1{}^o{}_{\pi}$  до возникновения в их протонах силы  $-F_2{}^o{}_{\pi}$ . При этом электроны из-за сильной приливной волны  $\sim p M_+$  выталкиваются из атомов. После отражения у атомов возникает отливная волна; они вновь приобретают утерянные электроны, приходя в исходное состояние, какое было до столкновений с СЭ.  $\sim p M_+$  от столкновения атомов не воспринимаемая оптическими устройствами, ее длина определяется скоростью столкновения атомов: чем больше скорость, тем короче; чем больше разница количества

столкновений с СЭ и количество столкновений, тем больше скорость столкновения, следовательно частота волны пропорциональна величине

1: 
$$[(n + \kappa_1) : n]^2 - 1 : [(n + \kappa_2) : n]^2$$
;  $\kappa_2 > \kappa_1$ .

При набегании волны ~рм<sub>+</sub> на атом возможно наложение её приливной ( по отношению к атому ) волны на приливную волну дыхания атома, суммарная волна может вытолкнуть электрон из атома — эффект попадания фотона. Волновое состояние микромира похоже на штормовое состояние моря при сильном ветре — точечные возникновения вспененных всплесков (называемые в народе барашками), похожие на эффект фотона в микромире.

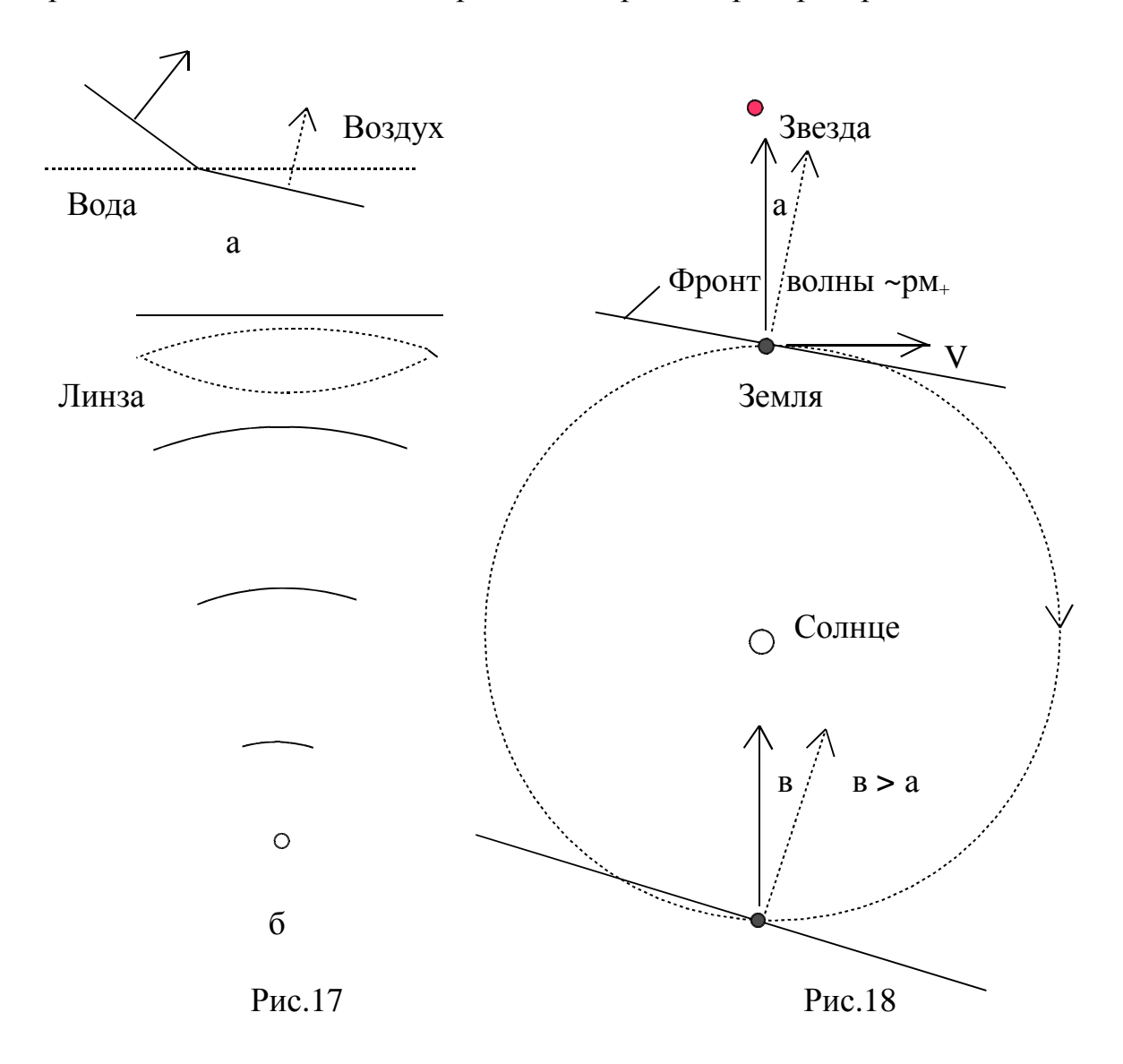
В распространении волн ~рм<sub>+</sub> участвуют не только частицы м<sub>+</sub>, но и атомы; они возбуждают их, они же и участвуют в их распространении. Волна ~рм<sub>+</sub>, набегая на атом, приводит его в колебательное движение. Находясь в среде частиц м<sub>+</sub>, своим движением атом, естественно, возбудит волну ~рм<sub>+</sub>, которая далее приведёт в колебание следующие атомы, образуется световая волна колеблющихся атомов, воспринимаемая оптическими устройствами.

Вещества окружающей нас среды отличаются массами содержащихся в них атомов и преимуществом частиц м. или м $_{+}$  между ними. Если атомы не содержат свободных электронов , то между ними преимущественная плотность частиц м $_{+}$  — вещество плохой проводник электрического тока, хороший проводник света и наоборот, если между атомами преимущественная плотность частиц м $_{-}$ . Скорость движения атомов зависит от их массы, чем больше масса, тем меньше скорость. Поэтому скорость распространения света в разных средах различна. При набегании фронта света на поверхность вещества в атомах возникает сила  $+F_{+}$  от приливной волны,  $-F_{+}$  от отливной. Своим движением атом возбуждает в среде частиц м $_{+}$  повторную волну, которая набегает на следующий атом и так далее. Таким образом в составляющую скорости распространения света входит и составляющая скорости движения

атомов, что подтверждается опытом А. Физо (1851 г.).

Направление на источник света — это перпендикуляр к фронту волны, так же, как направление к источнику волны на поверхности жидкости. На рис.17 а изображено набегание световой волны с воздушной среды в водную, а на рис. б — распространение волны через линзу.

Земля, все планеты и астероиды вращаются вокруг Солнца в одном направлении, из этого следует очевидный вывод, что и несущая свет среда вращается вместе с ними. На рис.18 изображено распространение волны



~рм<sub>+</sub> от звезды в околосолнечном Пространстве. За время нахождения в околосолнечном Пространстве волна поворачивается согласно вращения несущей волну среды. На рисунках сплошная стрелка — истинное направление

на источник волны, пунктирная — кажущееся, а и в — углы между истинным направлением на звезду и кажущимся. - в - а - w + 2 V : C радиан. - угловая скорость вращения Земли; С — скорость света; - время за которое волна проходит расстояние 2 R. R — радиус орбиты земли.

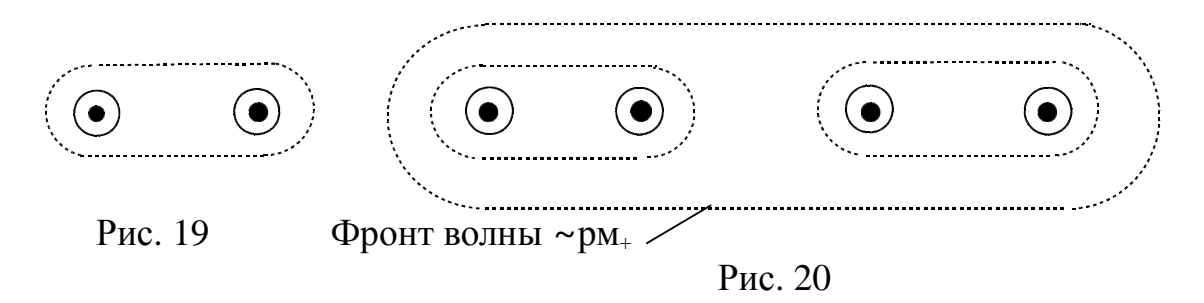
## Поляризованные волны ~рм+

Газы и жидкости в окружающей нас среде состоят только из молекул — соединения двух или более атомов. Поля соединившихся в молекулу атомов сливаются, увеличиваясь, в общее поле, рис. 19, что представляет поле молекулы. Свободный атом в окружающей среде движется с большей скоростью, чем молекула. В молекуле атомы колеблются относительно друг друга с большими, свойственными им, скоростями. Скорость же движения молекулы многократно ниже, определяется некоторой разницей скоростей движения его атомов. Молекула, содержащая два атома, естественно, имеет продолговатую форму.

Волны света распространяются в газах и жидкостях, следовательно молекулы так же, как и атомы, рис.16, могут возбуждать волны ~рм<sub>+</sub> и являться участниками их распространения. Волна ~рм<sub>+</sub> возникает при столкновении молекул так же вследствие изменения размеров их полей.

Столкновение свободного электрона с молекулой, с его входом-выходом из одного ее атома, создаёт условие для столкновения молекул друг с другом с разным количеством входов-выходов СЭ из них, при котором возбуждается волна ~рм<sub>+</sub>. Столкновение молекул происходит их концами — возбуждённым входом-выходом СЭ атомом одной молекулы с невозбужденным атомом другой; при этом форма фронта волны ~рм<sub>+</sub> приобретает форму цилиндра с округлёнными сферическими концами, рис. 20, что создает эффект её поляризованности. Цилиндрическую часть волны назовём поляризованной.

Направление на источник возбуждения волн — это перпендикуляр к поверхности её волны. В случае сферической волны, куда можно подвести перпендикуляр — точка, в случае цилиндрической — прямая линия. Поэтому далее для рассмотрения распространения цилиндрической волны изобразим её в виде прямой линии — черточки.



Волны ~рм+ не воспринимаются оптическими устройствами. Волна ~рм+, набегая на молекулы, приводит их в колебание — вначале движение против хода распространения волны, затем в обратную сторону. Вследствие этого они возбуждают волны и так процесс распространяется далее в Пространство в виде тонкой (соизмеримой с размером молекулы) плоскости, в которых молекулы находятся в состоянии колебания — это волны света ~с. Волны ~с воспринимаются оптическими устройствами. Направление на источник света ~с — перпендикуляр к поверхности фронта волны .

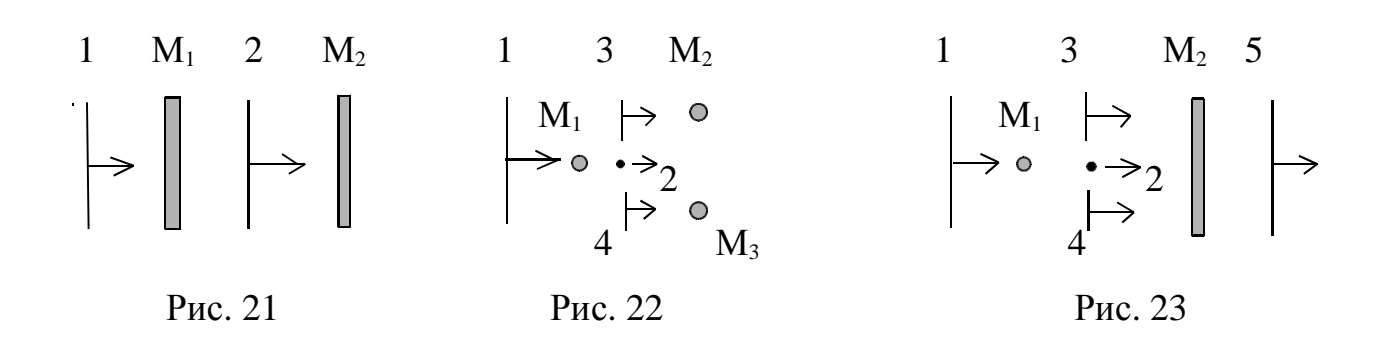
Распространение поляризованной волны ~рм<sub>+</sub>.

На рис. 21 изображена в виде вертикальной черточки поляризованная волна 1, набегающая на расположенную параллельно ей продолговатую молекулу  $M_1$ , волна полностью воспринимается ею. Молекула, придя в колебательное движение, возбуждает волну 2, которая так же полностью воспринимается параллельно ей расположенной молекулой  $M_2$ , и так далее в случае множества параллельно расположенных молекул.

На рис. 22 поляризованная волна 1 набегает на поперечно ей

расположенную молекулу  $M_1$  (изображён кружком), волна не полностью воспринимается ею, возможно лишь частично, поэтому молекула возбудит слабую параллельную ей волну 2. Волна же 1 очевидно распадётся на две укороченные волны 3 и 4, которые, набежав на следующие поперечно им расположенные молекулы  $M_2$  и  $M_3$ , совсем незначительно взволнуют их и те не возбудят повторную волну.

На рис. 23 поляризованная волна 1 набегает на поперечно ей расположенную молекулу  $M_1$ . Так же, как в предыдущем случае, молекула возбудит слабую параллельную ей волну 2, а волна 1 распадется на две укороченные 3 и 4, параллельные следующей молекуле  $M_2$ , которая полностью воспримет волны 2, 3, 4 и возбудит близкую по силе волны 1 волну 5.



Эффект Керра. 1875 г

Известно: взвесь продолговатых малых семян в изолирующей жидкости в электрическом поле параллельных пластин располагаются перпендикулярно к ним, демонстрируя как-бы силовые линии.

Истинные причины подобного расположения продолговатых телец в электрическом поле рассмотрены в разделе « Электрический заряд и электрическое поле». Продолговатые молекулы жидкого изотропного диэлектрика в сильном однородном электрическом поле так же располагаются перпендикулярно к обкладкам плоского конденсатора. Возможность распространения поляризованных волн ~рм<sub>+</sub> в жидкости при сильном

электрическом поле демонстрируется на рис. 22, отсутствии поля — рис. 23.

## Эффекты Зеемана и Штарка, 1896 г

Железные стружки, помещенные в магнитное поле, создают эффект магнитных силовых линий ». Известно: стрелка из немагнитного материала, помещённая в магнитное поле, поворачивается поперёк полюсам. Это вызвано тем, что немагнитные атомы испытывают силу выталкивания из магнитного поля, см. раздел « Атом в магнитном поле ». Немагнитные продолговатые молекулы так же располагаются поперёк полюсам. На рис. 24 изображён полюс магнита, линии — направления расположения стружек. Прямоугольниками изображены

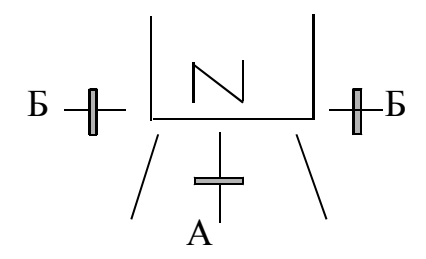
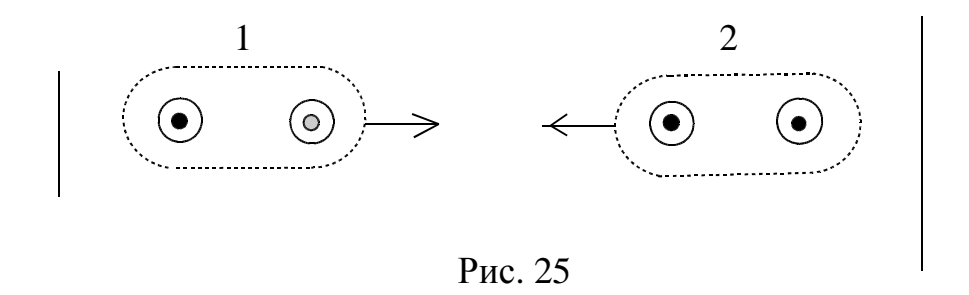


Рис. 24

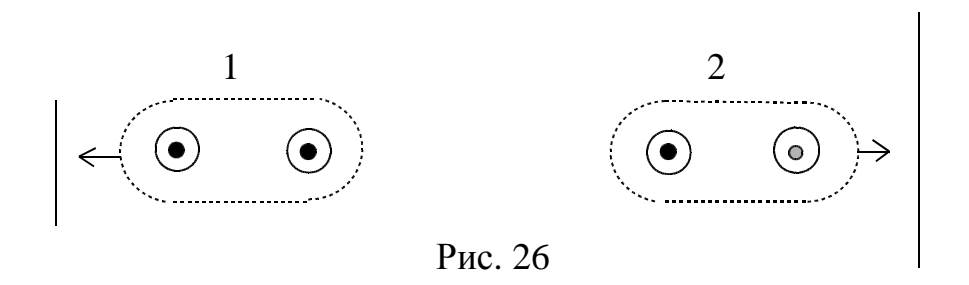
немагнитные продолговатые молекулы.

Возбуждение поляризованных волн ~рм<sub>+</sub> молекулами происходит при их столкновении друг с другом. Частота волн определяется скоростью их столкновения. При этом, возбуждённые входом-выходом СЭ и невозбуждённые молекулы в магнитном поле испытывают силу давления поля магнита, причём в противоположные стороны. Поле возбуждённого атома становится преобладающим частицами м., так как электроны удаляются от ядра на большее расстояние, увеличивая размер своего поля. Атом становится более электронным, поэтому молекула с таким атомом испытывает силу втягивания в более сильное поле магнита, молекула с невозбуждённым атомом — силу

выталкивания. При этом возможны два разных случая столкновения молекул,



первый — рис. 25. Молекулы 1 и 2 находятся в поле магнита разной силы, изображены прямыми линиями разной длины. Атом молекулы 1 возбуждён входом-выходом СЭ (ядро серого цвета), поэтому он испытывает тягу в сильное поле магнита, молекула 2 испытывает силу выталкивания в более слабое поле. В итоге молекулы испытывают  $+F^{\text{м}}$  — тяготение друг к другу.



На рис. 26 молекулы 1 и 2 находятся в таком же магнитном поле разной силы. Атом молекулы 2 возбуждён входом-выходом из него СЭ, поэтому он испытывает тяготение в более сильное поле, а молекула 1 испытывает силу выталкивания в более слабое поле. В итоге молекулы испытывают - $F^{\text{M}}$  — давление друг от друга. Силы  $\pm F^{\text{M}}$  возникают в сильном поле магнита, в зоне А, в зоне Б они слабы. Силы  $\pm F^{\text{M}}$  в зоне А естественно влияют на скорость столкновения молекул, вызванных разным количеством входов-выходов СЭ из них, что и приводит к разным частотам возбуждаемых ими волн. В зоне Б магнитного поля молекулы возбуждают волны без влияния на них магнитных сил. Итог, источник света, помещённый между полюсами электромагнита, излучает частоты  $f_{+F}$ ,  $f_{\text{O}}$  и  $f_{-F}$ . Волны, излучаемые молекулами из зоны Б

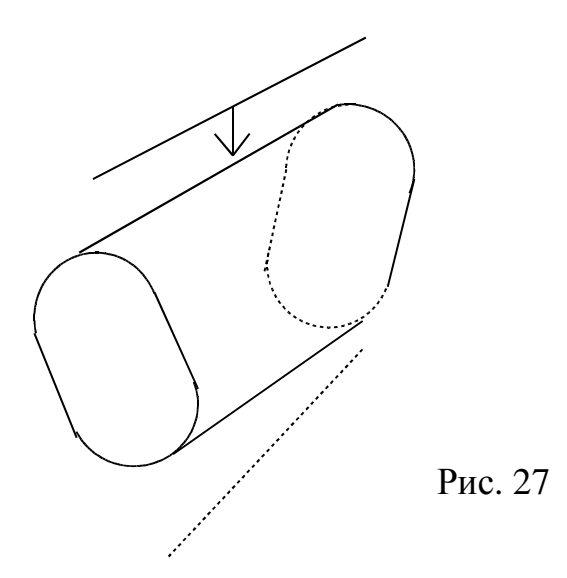
поляризованы вертикально, поэтому при наблюдении их (на рисунке сверху) вдоль направления магнитного поля сильной зоны, не видны.

Очевидно, магнитное поле Земли создаёт таким же образом сверхтонкую структуру спектральных линий.

Вращение поляризованной волн ~рм.

Д. Араго, 1811 г. Эффект Фарадея.

Волна ~рм<sub>+</sub>, набегая на молекулу, приводит её в колебательное движение. Колебательное же движение молекулы сопровождается возбуждением ею вторичной волны ~рм<sub>+</sub>. Если молекула продолговатая и произошло её перемещение, вторичная волна будет поляризованной, то есть фронт волны будет иметь форму цилиндра. Молекулы, состоящие из нескольких атомов, могут иметь продолговато-крученую форму, рис. 27. Такие молекулы при



колебании возбуждает вторичные волны несколько повернутые согласно направления её кручености.

Продолговатые немагнитные молекулы в магнитном поле располагаются поперёк полюса. Поэтому, распространяющаяся вдоль полюса поляризованная волна в среде продолговато-крученых молекул вращается.

## Фотоэлектрический эффект

Волны ~рм<sub>+</sub> возбуждаются сталкивающимися атомами, имевшими столкновения с свободными электронами, рис. 16. Вначале сближение атомов происходит под давлением сил  $+F^{\pi}$ , рис. a, естественно при этом приобретается некоторая инерция. После слияния их полей, рис. б, возникает  $-F^{\pi}$  и  $+F_{1}^{o}$  в протонах атомов. Дальнейшее сближение продолжается под давлением  $+F_1{}^o{}_{\scriptscriptstyle \Pi}$  и инерции до возникновения сил  $-F_2{}^o{}_{\scriptscriptstyle \Pi}$  . По мере сближения атомов увеличивается размер их общего поля до определенной величины, соответствующей расстоянию между атомами, при котором возникают силы  $-F_{2}^{o}$  . Увеличение общего поля — это приливная волна. После возникновения сил  $-F_2{}^{o}{}_{n}$  атомы отражаются, рассеивая свои поля до нормальных размеров и возбуждая отливную волну. Длины приливной и отливной волн зависят от скорости сближения и удаления друг от друга сталкивающихся атомов. Количество же частиц м<sub>+</sub>, приобретаемых и рассеиваемых столкнувшимися атомами, одинаково — определяется расстоянием между ядрами атомов, при котором возникают силы  $-F_2^{o}$ <sub>п</sub>. Поэтому сила-амплитуда волн при разных скоростях столкновения атомов различна. На рис.28 кривые длинной и короткой отливных волн совмещены..

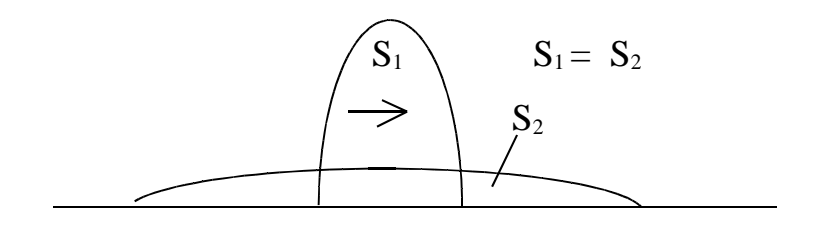
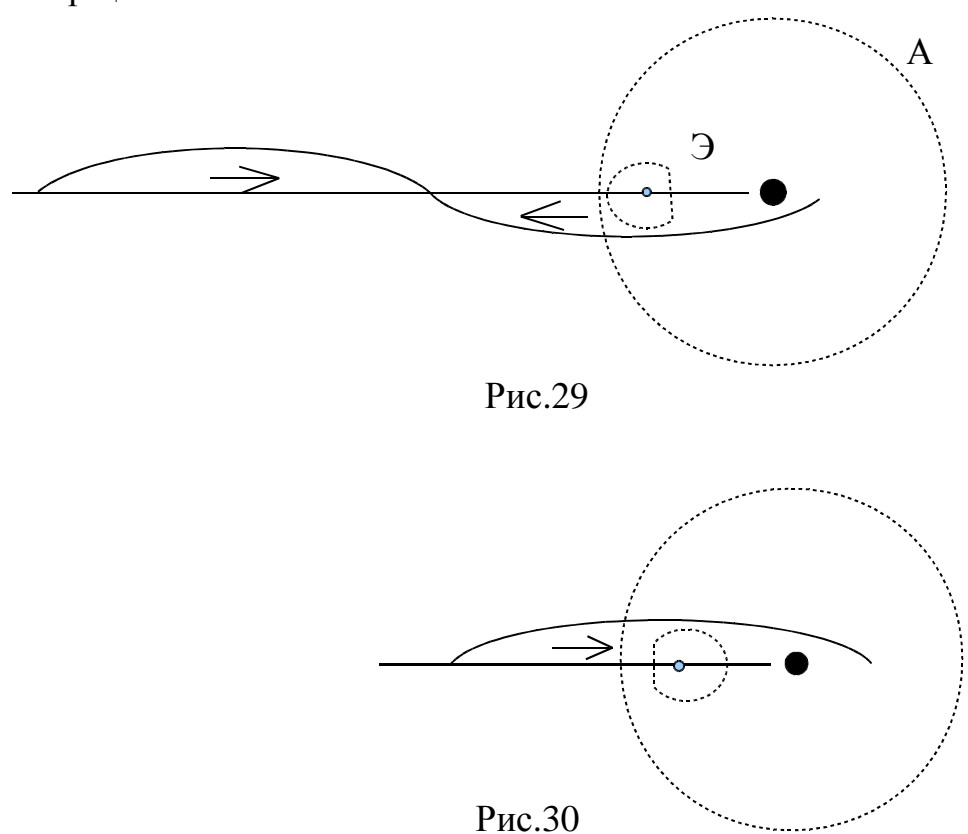


Рис. 28

Площади S, ограниченные кривыми волн, одинаковы, так что и количество частиц  $M_+$  в них одинаково.

При набегании волны ~рм₁ на атом приливная её составляющая (для

атома отливная) создает давление на его электрон к ядру , рис.29, отливная — от ядра, рис.30, скорость выталкивания естественно пропорциональна силе-амплитуде волны, то есть скорость вылета электрона пропорциональна частоте волны  $\sim$ pм $_+$ 



Поглощение световых волн атомами

Световые волны образуются при столкновении атомов с разными степенями возбуждения, в том числе возбужденного с невозбужденным. Атом переходит в возбужденное состояние (усиленное дыхание) после входа-выхода из него свободного электрона СЭ. Степень возбуждения зависит от количества входов-выходов СЭ — чем больше количество, тем больше степень, тем больше составляющая рм. относительно рм, в волне дыхания атома. Длина волны определяется скоростью столкновения атомов — чем больше разность степеней возбуждения, тем больше скорость, тем короче волна.

Известно, поглощение световых волн атомами наблюдается при

облучении газа светом ультрафиолетовой области, волны которой обладают большей энергией, могущей удалить электрон из атома. Ранее выяснили, рис. 12, волна ~рм<sub>+</sub> оказывают давление на электрон с преимуществом на притяжение. Поэтому, при облучении газа светом ультрафиолетовой области, удаленные из атомов электроны и свободные СЭ ускоряются в движении, приводя к их возможностям входов-выходов из атомов. Так в газе образуется множество атомов с разными степенями возбуждения, которые будут сталкиваться друг с другом и образовывать волны света всех возможных длин.

Рассмотрим столкновение волны света с возбуждающими волну атомами. Столкнувшиеся атомы вначале приобретают из окружающей среды частицы м<sub>+</sub>, образуется их общее увеличенное поле. При этом возникает полу волна рм<sub>+</sub>, распространяющаяся в Пространство. Обозначим эту полу волну знаком минус вследствие противоположного направления движения рм<sub>+</sub> направлению распространения полу волны. После отражения атомов их общее поле рассеивается в окружающую среду, возникает полу волна, направление движения рм<sub>+</sub> которой согласно с направлением распространения волны, обозначим её знаком плюс. На рис.31 а изображена волна света, состоящая из полу волн - и + , набегающая на сталкивающиеся атомы A<sub>1</sub> и A<sub>2</sub>. Полу волны

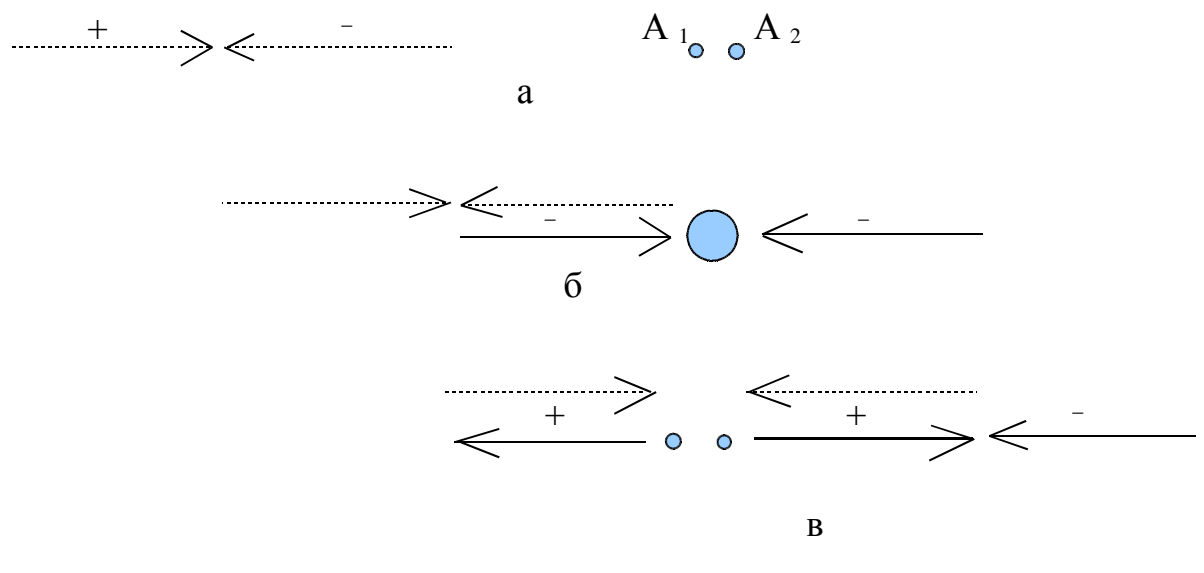


Рис.31

изображены пунктирными стрелками, указывающими направления движения в них рм<sub>+</sub>, общая длина стрелок, допустим, равна длине волны.

На рис. б отрицательная полу волна набежала в область столкнувшихся

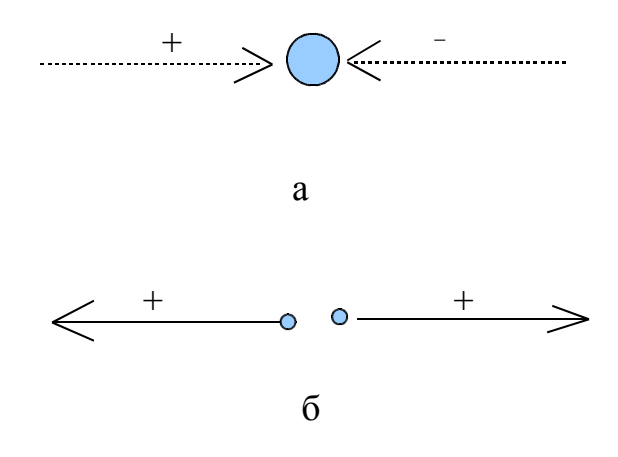


Рис.32

атомов, которые приобретают частицы м<sub>+</sub> из окружающей среды, изображено сплошными стрелками. Длина полу волны, возбуждаемой атомами, допустим равна длине набежавшей полу волны, поэтому длины стрелок изображены равными. На рис.31 в световая волна в области отразившихся атомов, рассеивающих частицы м<sub>+</sub> в окружающую среду. В областях встречных движений частиц естественно сила волн значительно ослабляется. В итоге, после такого набегания световой волны на сталкивающиеся атомы, далее в Пространство распространяется только отрицательная полу волна, возбужденная атомами.

На рис. 32 а световая волна полностью в области столкнувшихся атомов, при этом она соответствует приобретению атомами частиц м<sub>+</sub> из окружающей среды и поглощается ими. После отражения атомов в Пространство распространяется только положительная полу волна, возбужденная атомами, рис. б.

# Лазерный излучатель световых волн, фотолюминесценция.

Действие лазерного излучателя световых волн основано на явлении фотоэффекта. В момент облучения активной среды (кристалла рубина или какого-либо газа) мощным световым импульсом из её атомов вырываются электроны. При потере электрона атом приобретает из окружающей среды частицы м<sub>+</sub>, поэтому образуется ток частиц м<sub>+</sub> из окружающей среды к атомам активной среды, то есть образуются отрицательные полу волны света от множества атомов одновременно. Потерявший электрон атом приобретает его вновь, при этом он рассеивает частицы м<sub>+</sub> в окружающую среду — образуются положительные полу волны света от этих атомов одновременно. Сумма всех отрицательных и положительных полу волн, возбужденных одновременно атомами активной среды, представляет лазерное излучение света.

Для вырывания электрона из атома длина волны облучающего света должна быть близкой длине волны дыхания атома. При этом волна света должна оказаться в области атома в момент его вдоха, когда его электроны удаляются от ядра, а ядро приобретает из окружающей среды частицы м<sub>+</sub>, рис.33. Атом приобретает утерянный электрон синхронно с его дыханием (во время выдоха), когда его электроны движутся к ядру, а ядро рассеивает частицы м<sub>+</sub> в окружающую среду.

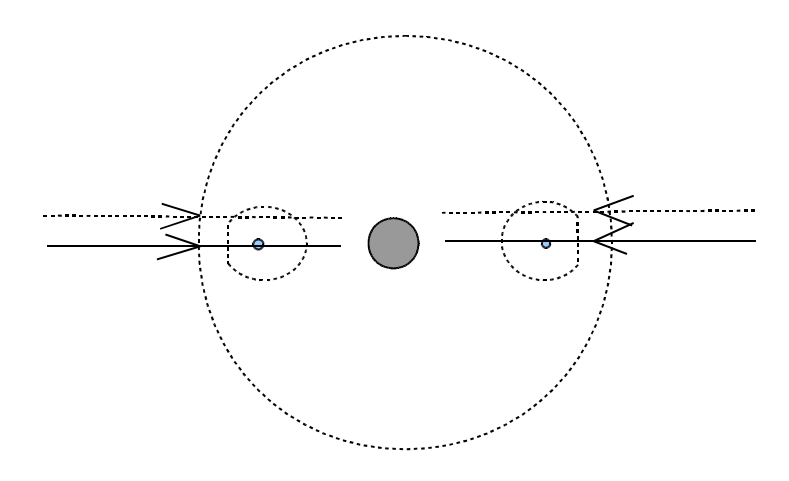


Рис. 33

Частота волны дыхания атома — в пределах частоты гамма-лучей, она не видна. Частота же возбужденных волн, вызванных выходом-входом из атомов электронов, значительно ниже частоты гамма-лучей, это частота света фотолюминесценции.

Повышенная температура вещества означает повышенную скорость движения его атомов. Повышенная скорость атома — это, естественно, и повышенная скорость движения его частиц ядра и электронов поля. Если волна облучающего света оказывается в области атома когда его электроны удаляются от ядра с повышенной скоростью из-за температуры, то и выход электрона из атома произойдёт с повышенной скоростью, то есть частота люминесценции будет повышенной по отношению к частоте облучающего света.

### Поляризация света ~с

Волна света по отношению к набегающему объекту содержит полу волны отливную ( в противоположную сторону распространения волны) и приливную (в сторону распространения) составляющие обще направленного движения молекул (атомов) среды. На рис. 34 изображены волны света  $B_1$  и  $B_2$ , распространяющиеся в указанных стрелками направлениях; прямые линии обозначают вид с торца на плоскость максимальной силы волны, стрелки в них — направление движения частиц. В местах пересечения плоскостей волн  $B_1$  и  $B_2$ , выделенные кругом, направления движения частиц частично совпадают, в них образуются полосы увеличенной силы волны. В местах же, окрашенных серым кругом, направления частично встречны, в них образуются полосы уменьшенной силы волны. Распад световой волны на световые полосы представляет поляризацию света . Волна  $B_1$  представляет фрагмент падающего на отражающую поверхность луча света,  $B_2$  — фрагмент отраженного.

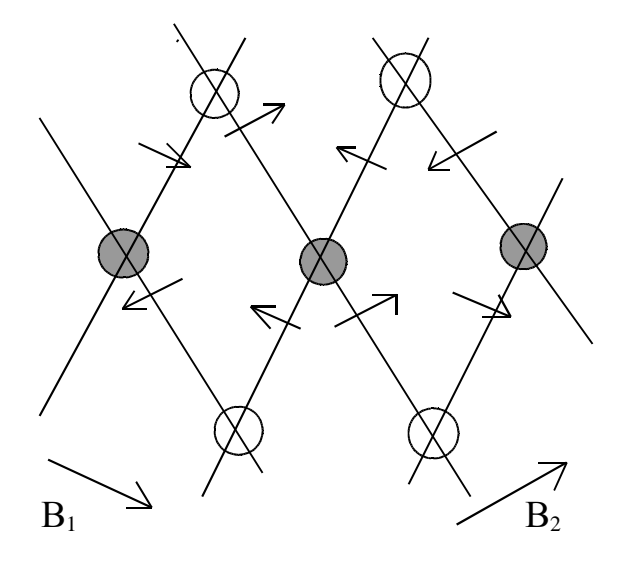


Рис. 34

# Дисперсия света

Итак, молекулы являются не только возбудителями световых волн , но и их носителями, что подтверждается известным опытом А. Физо, 1851 г. Набежав на молекулу , волна ~м+ оказывает на неё давление, приводя её в движение. Естественно, чем дольше длится это давление, тем большую скорость она приобретает . Волны малой частоты оказывают давление на молекулу более длительное время, чем волны большей частоты. Следовательно, волны малой частоты приводят молекулу в колебательное движение с большей скоростью. Поэтому, волны малой частоты распространяются в среде с большей скоростью, волны же большей частоты — с меньшей, что приводит в конечном итоге к дисперсии света при его переходе, например, из воздушной среды в стекло и наоборот. В явлении дисперсии имеет значение соизмеримость длины волны с размером молекулы, атома.

Если вещество состоит из чередующихся молекул разных величин , например, кристалл, то при набегании на его поверхность фронта волны под углом легко объяснить двойное лучепреломление.

На рис. 35 изображено Солнце с околосолнечным Пространством — пунктирная окружность, в пределах которого существует увеличение масс частиц по мере приближения к Солнцу, что закономерно в природе скоплений. В околосолнечное Пространство набегает фронт волны А от звезды и выходит за его пределы —  $A^1$ . Направление на источник света — это перпендикуляр к фронту волны. Кривая сплошная линия от А до  $A^1$  — это линия видимого направления на звезду. Фронты волн А и  $A^1$  параллельны.

По мере увеличения массы частиц несущей свет среды уменьшается скорость распространения света, поэтому происходит постепенное его преломление в отличие от резкого перехода из одной среды в другую, рис. 17 а.

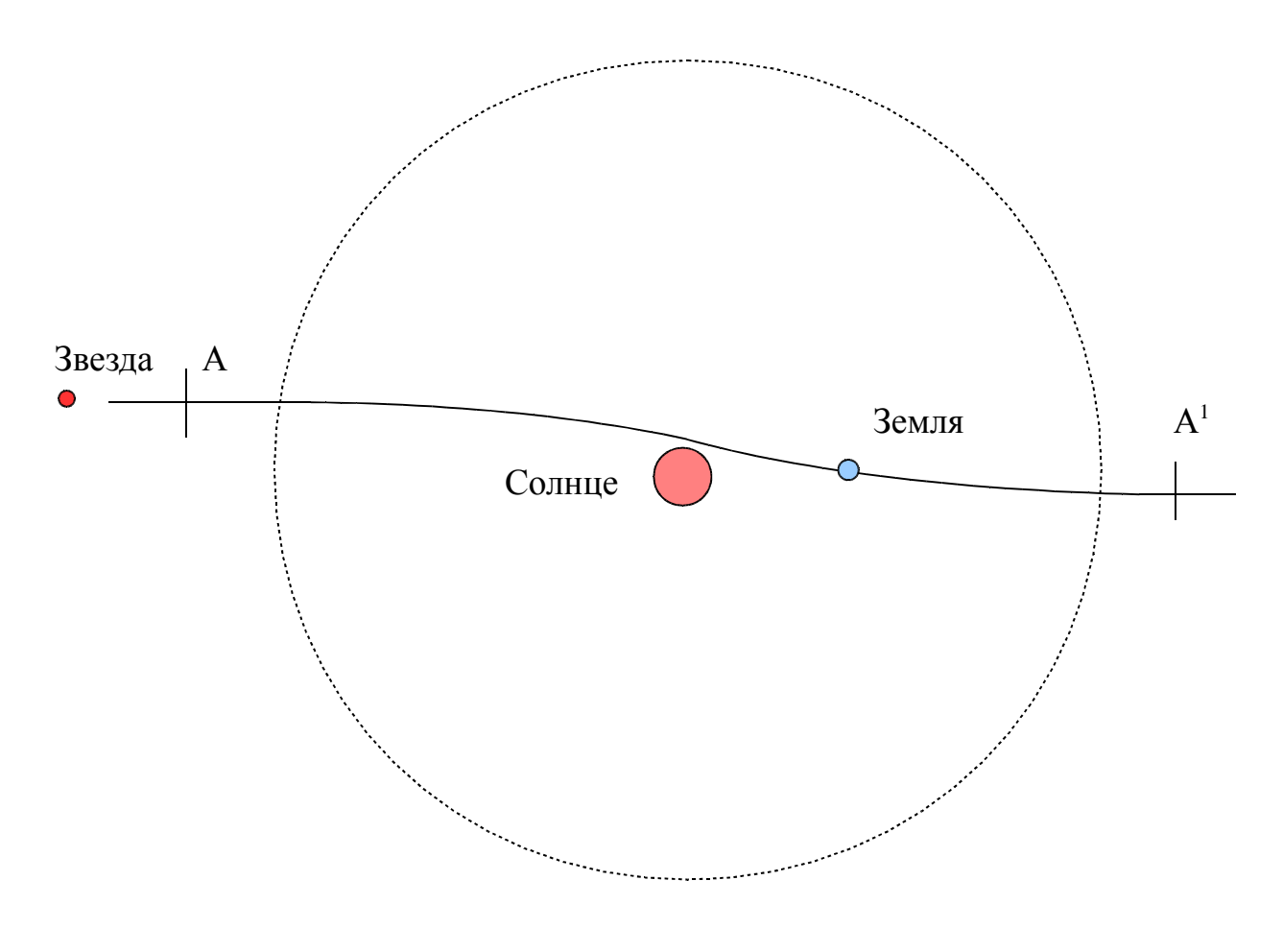


Рис. 35

#### Свет во Вселенной

Волны света возбуждаются сталкивающимися атомами, молекулами. Возбуждение происходит из-за изменения расстояния между ними в пределах взаимного слияния их полей, содержащих частицы м<sub>+</sub>. Волна света за пределами атомов распространяется со скоростью С в среде частиц м<sub>+</sub> так же из-за изменения расстояния между ними в пределах взаимного слияния их полей (размеры полей частиц м<sub>+</sub> в свободном состоянии, в космическом Пространстве, значительно больше полей атомов ). Следовательно, частицы м<sub>+</sub> возбуждают волны в среде частиц м<sub>8.1</sub>, являющихся частицами их оболочек и полей. Скорость движения частиц м<sub>8.1</sub> значительно выше скорости м<sub>+</sub>, поэтому и скорость распространения волн в среде частиц  $M_{8,1}$  (  $C_1$  ) значительно выше скорости распространения волн в среде частиц м<sub>+</sub> . В свою очередь, частицы м<sub>8.1</sub> возбуждают волны в среде частиц м<sub>7.1</sub>, скорость распространения волн которых ещё больше (С2). Таким же образом, согласно оболочной последовательности, частицы м<sub>7.1</sub> возбуждают волны в среде частиц м<sub>6.1</sub>, скорость распространения волн которых  $C_3 >> C_2$ . Далее, согласно оболочной последовательности, волны возбуждаются и в среде частиц м<sub>1.2</sub>  $(C_4)$ , и в среде частиц  $m_1$   $C_5 >> C_4 >> C_3 >> C_2 >> C_1 >> C$ .

В природе скоплений закономерно увеличение величин м частиц по мере приближения к их центру, оно существует в околозвёздном Пространстве и в около галактическом. В таблице 1 приведена возможная последовательность укрупнения частиц от Пространства между скоплениями галактик (мСкГ) до околозвёздного (Зв). За пределами скоплений галактик (мСкГ) частицы  $M_0$ ,  $M_1$ ,  $M_2$  образуют частицы  $M_{1.K1}$ , которые втекают в СкГ. В СкГ частицы  $M_{1.1}$ ,  $M_{1.2}$ ,  $M_{1.3}$  образуют частицы  $M_{6.K6}$ , втекающие в межгалактическое Пространство мГ и далее согласно таблице.

Втекание несущей свет среды в галактику очевидно создаёт красное смещение её света.

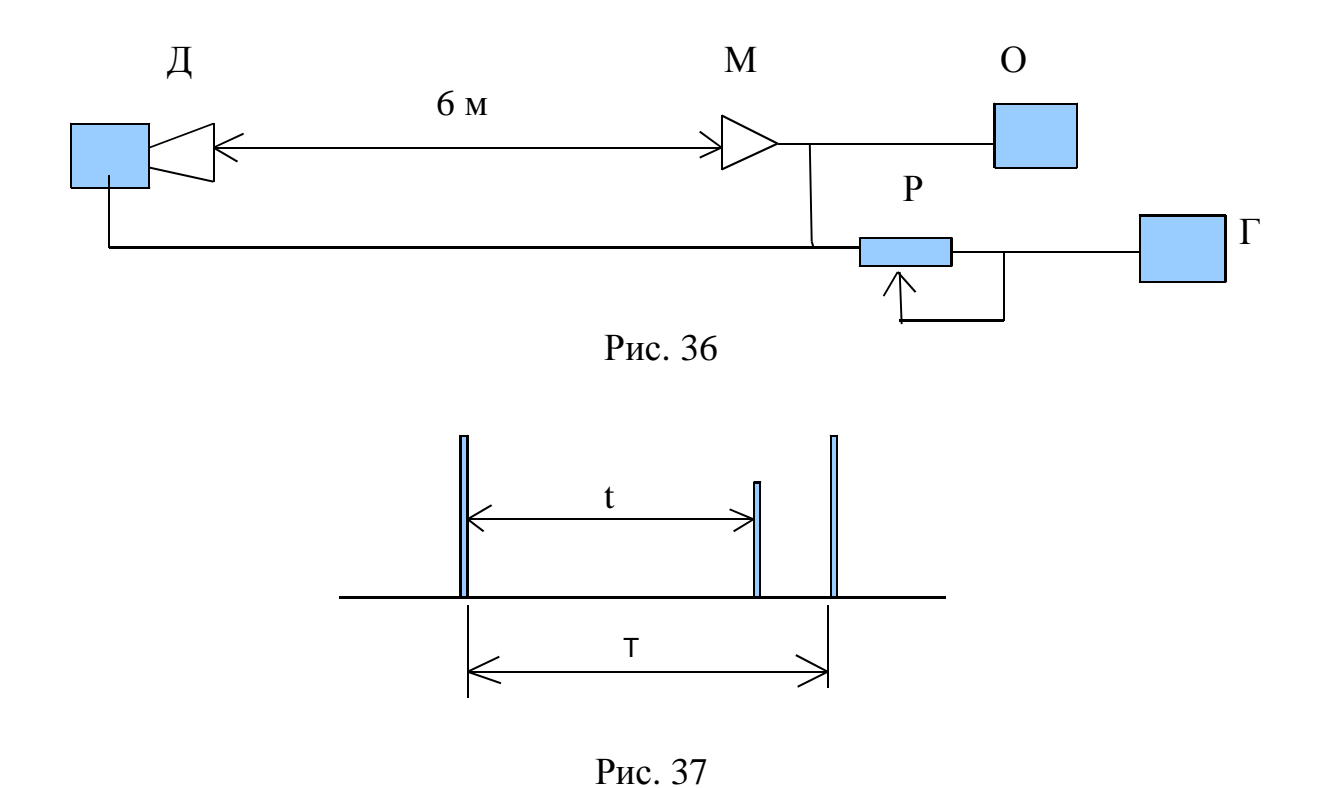
Зависимость скорости распространения волн от их силы

Известно, при приближении к неподвижному наблюдателю быстро движущегося источника звука его частота кажется высокой, а при удалении — низкой, эффект Доплера. При более внимательном восприятии частота приближающегося источника увеличивается, удаляющегося — уменьшается. Это вызвано тем, что скорость распространения волн по мере их усиления увеличивается, по мере ослабления — уменьшается. Звук распространяется в среде, содержащей множество частиц, между которыми существуют силы взаимно отталкивания ( волнами дыхания ) на расстоянии, усиливающиеся по мере приближения их друг к другу. Амплитуда колебания частиц в волне определяет её силу, она так же определяет модуль объёмной упругости среды — чем больше амплитуда, тем больше величина модуля.

Известно, скорость распространения волн в упругой среде прямо пропорциональна корню квадратному из отношения модуля объёмной упругости к плотности среды.

Зависимость скорости распространения волн от их силы можно проверить на установке рис.36 , где Д - динамик, М - микрофон, ГИ - генератор импульсов, О - осциллограф, Р — резистор. На рис. 37 — осциллограмма импульсов ГИ с интервалом Т и импульса от микрофона, t — время

прохождения звукового импульса от динамика до микрофона. Частота генератора импульсов и частота развёртки осциллографа должны быть в пределах 50 Гц. Очевидно, природа распространения световых волн аналогична природе распространения звуковых, то есть красное смещение света галактик вызвано так же уменьшением скорости распространения вследствие ослабления их силы — чем дальше галактика, тем больше красное смещение.



## Электрический заряд и электрическое поле

Электрон является носителем электрического заряда. Все электрические явления основаны в наличии в веществах свободных электронов СЭ и возбуждении ими волн ~рм., представляющих электрическое поле.

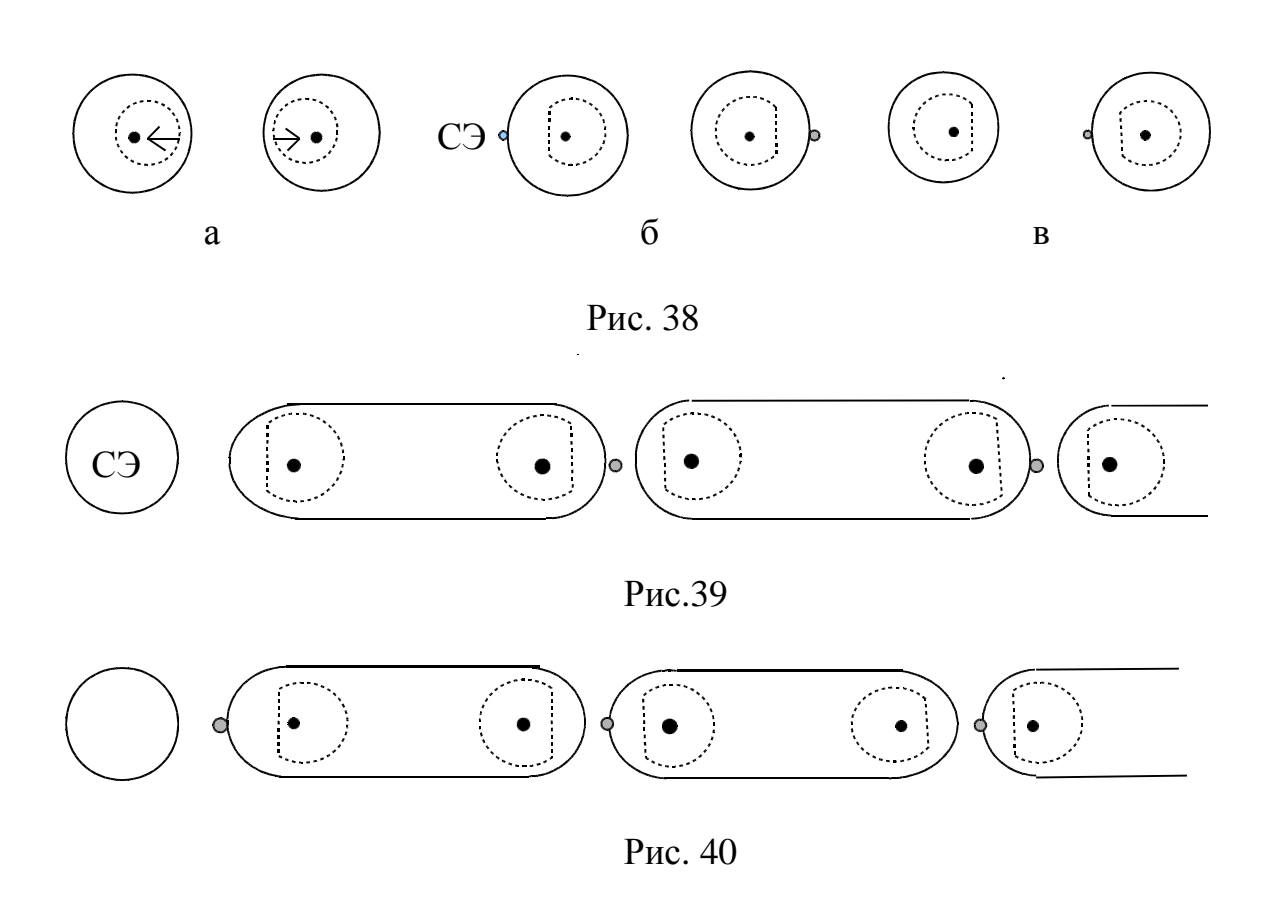
В веществах окружающей нас среды всегда имеются в большем или меньшем количестве свободные электроны . В некоторых веществах СЭ могут находиться в поле атомов в зоне действия сил  $+F_1^{\circ}$   $-F_2^{\circ}$ , в других — на поверхности вещества.

Атомы вещества в процессе дыхания возбуждают волны ~ pм± . Под влиянием этих волн возбуждают волны ~pм\_ и СЭ. Волна ~pм\_ отталкивает электрон, поэтому СЭ испытывают взаимно отталкивающие силы

#### Взаимовлияние тел с СЭ и без СЭ.

На рис.38 а два шара не заряжены, то есть не имеют свободных электронов, следовательно, возбуждают преимущественно волны ~рм+, которые отталкивают атомы (изображены с смещёнными полями) соседнего шара. В итоге шары взаимно отталкиваются. (Влияние волн на атом такое же, какое на протон, рис 12). На рис.38.6 шары заряжены, возбуждают преимущественно волны ~рм., которые перемещают СЭ соседнего шара во внешние стороны. При этом поля атомов несколько рассеяны со стороны свободных электронов, шары взаимно отталкиваются. На рис 38 в один шар заряжен, другой не заряжен; СЭ смещён в сторону незаряженного шара, под действием его волн ~рм. рассеяны поля атомов обоих шаров с внутренней стороны, в итоге шары взаимно притягиваются. Мелкие продолговатые тельца (семена), находящиеся в поле распространения волн ~рм. или ~рм+, создают эффект электрических силовых линий. На рис.39 вблизи заряженного шара ( обозначен СЭ ) находятся продолговатые тельца; изменения, происшедшие в

тельцах, изображены. В результате возникших сил тельца соединятся в цепочку по радиальной линии к шару. На рис. 40 шар не заряжен, возбуждает преимущественно волны ~рм+, притягивающие электроны, отталкивающие атомы. В результате возникших сил в атомах тельца так же соединятся в цепочку радиально к шару. Атом в отдалённой от шара конце тельца испытывает давление волн ~рм+ и рассеивание поля волной ~рм. электрона соседнего тельца. Тельца не заряжены, в них количество СЭ незначительно, поэтому их рассеивание поля атома соседнего тельца так же незначительно.



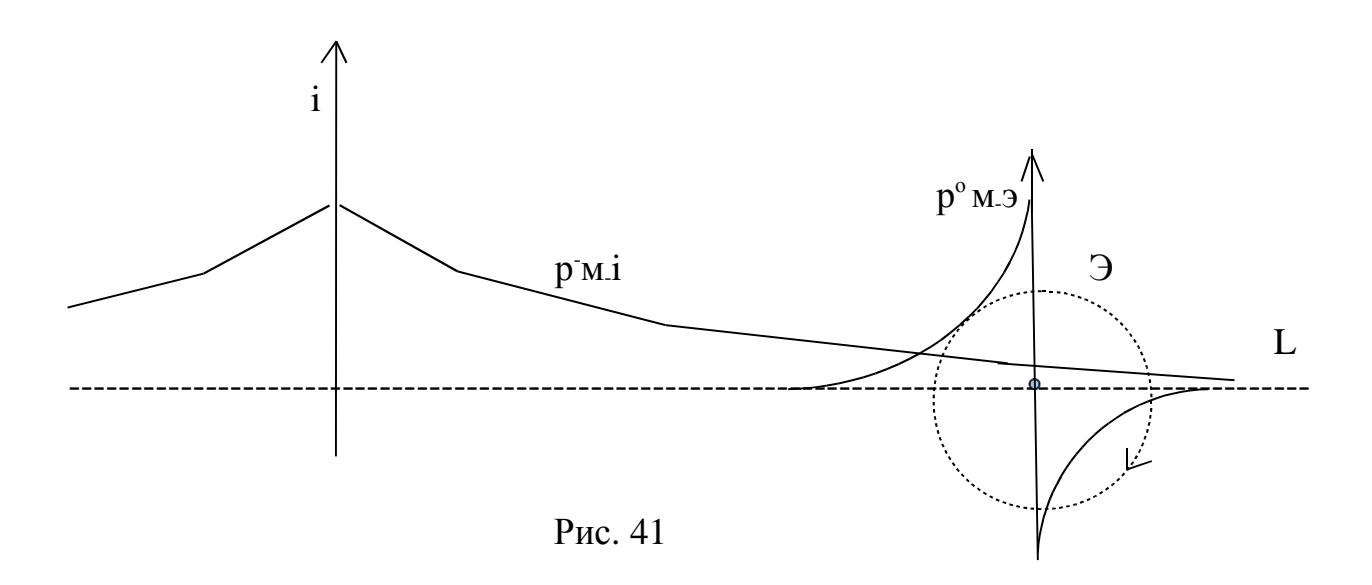
#### Магнитное поле

Магнитное поле возникает, например, при электрическом токе в проводнике — движении электронов, содержащих в своём поле частицы м. . Изза наличия в окружающей среде рм. , ток в проводнике приводит к возникновению попутного с ним обще направленного движения р<sup>-</sup>м. , сила которого, конечно же, по мере удаления от проводника постепенно убывает.

Область Пространства, содержащая дифференциал обще направленного движения частиц  $\mathbf{M}_{-}$ , ( $\mathbf{p}^{\prime}\mathbf{M}_{-}$ ), представляет собой магнитное поле.

## Электрон в магнитном поле.

На рис.41 электрон Э находится в магнитном поле проводника с током, изображённом стрелкой, указывающей направление движения электронов. На рисунке приведена так же диаграмма силы р м. . Так как с одной стороны электрона сила р м. і больше, вокруг его ядра возник вихрь (оболочки и поля), р м. э , направление вращения которого согласно большей силе р м. і . Электрон испытывает давление со стороны встречных токов р м. э и р м. і , стороны большего хаотического движения частиц м. , со стороны меньшей скорости обтекания ядра частицами м. в сторону большей (давление, похожее возникновению подъёмной силы крыла самолёта).



На месте нахождения электрона в поле проводника с током р<sup>-</sup>м. i < р<sup>о</sup>м. э потому, что возникший вихрь усиливается окружающей средой частиц м. . Частицы м. имеют большой размер поля, это определяет высокую степень их сжимаемости. На рис. 42 а изображены частицы м. на расстоянии начала взаимодействия их полей, на рис б — на расстоянии начала взаимодействия оболочек . Объединившееся поле не изображено.

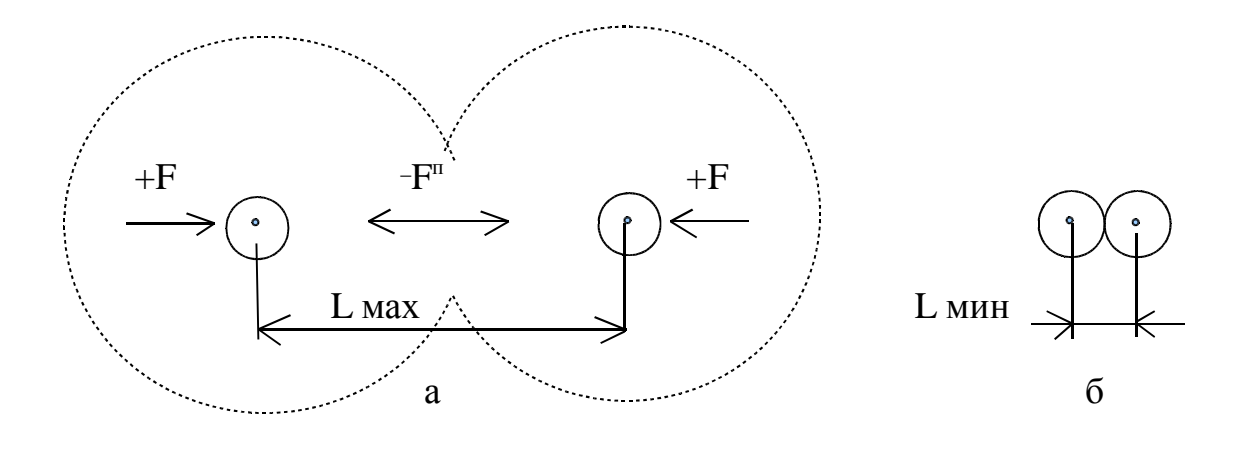


Рис. 42

Все частицы испытывают силу +F ( давление Пространства на частицы друг к другу ), в том числе и частицы м. . Из-за больших размеров полей они находятся в некоторой степени сжатия, поэтому одновременно с силой +F испытывают -F<sup>п</sup>. Под действием +F они сближаются. Степень сближения зависит как от силы +F, так и от времени, в течение которого она действует. Если частицы движутся встречно по параллельным траекториям, то время действия +F кратковременна, частицы могут не успеть сколько-нибудь сблизиться. Если же они движутся согласно по параллельным траекториям, то время действия + F длится большее время, частицы могут сблизиться. Поэтому при возникновении обще направленного движения (тока) частиц происходит поперечное его сжатие, при прекращении — поперечное расширение силой -Г. Возникновение тока частиц приводит так же к тому, что, не участвующая в нём, но близко находящаяся, частица, направление движения которой совпадает с направлением тока, испытывает давление к нему. Если же направление движения не совпадает, встречно току, то испытывает давление в противоположную сторону, так как в противоположной стороне больше согласно с ней движущихся частиц в среде хаотически движущихся частиц окружающей среды. Всё это происходит из-за большего времени действия +F на параллельно движущиеся частицы и меньшего времени давления на параллельно, но встречно движущиеся частицы. Таким образом следует вывод: частица испытывает давление +F Пространства в ту сторону, в которой больше и ближе к ней частицы, направление движения которых совпадают с её направлением; частица испытывает отталкивающее давление -F<sup>n</sup> с той стороны, в которой больше и ближе движущиеся встречно ей частицы. При возникновении вихря электрона частицы м. окружающей среды, направления движения которых согласно направлению движения частиц вихря, вталкиваются Пространством в вихрь. Происходит усиление вихря , его размер становится большим размера поля электрона. При этом в вихре участвуют в основном частицы окружающей среды, которые влетают в вихрь, затем вылетают. Таким образом, окружающая среда хаотически движущихся частиц способствует возникновению и усилению вихря .Так как параллельно движущиеся частицы испытывают давление +F друг к другу, размер вихря электрона имеет не шарообразную форму, а сплюснутую, какую имеют спиралевидные галактики.

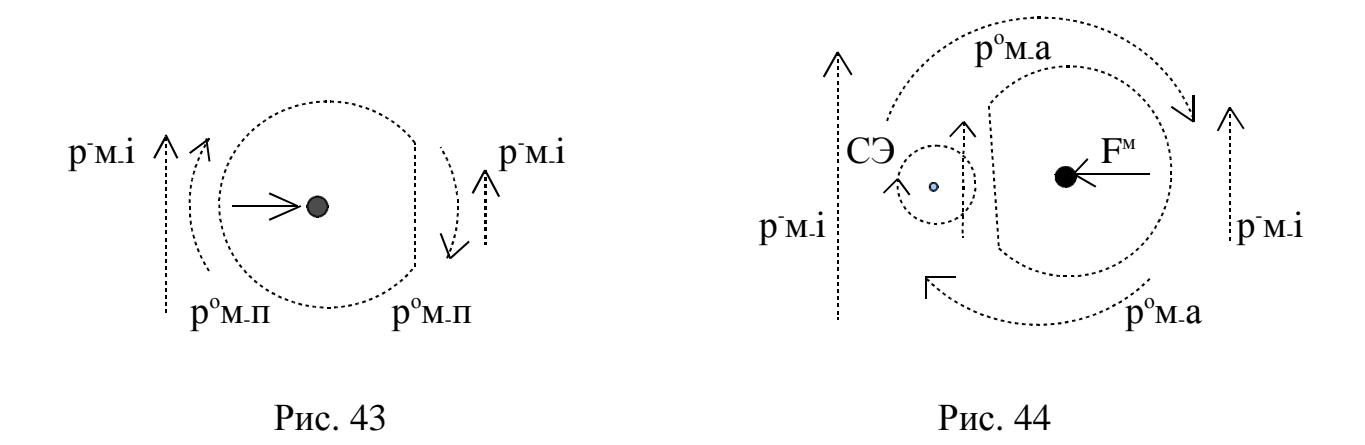
Электрон в магнитном поле испытывает давление в сторону большей силы магнитного поля, на рис.41 в сторону проводника с током. С ближней к проводнику стороны ядра направления р<sup>-</sup>м. і и р<sup>о</sup>м. э совпадают, с противоположной встречны, там больше хаотического движения частиц, больше давление на ядро.

#### Протон в магнитном поле.

На реке вблизи берега, где из воды выступает ствол дерева, можно наблюдать вращение воды вокруг ствола. Направление вращения задаёт быстро текущая часть реки ( середина ). Причина вращения вполне очевидна.

Подобное происходит и в магнитном поле. Если в магнитном поле, рис.43, находится протон, с одной стороны которого р<sup>-</sup>м. і сильнее, чем с другой, то вокруг него возникает вихрь р<sup>о</sup>м. п без участия в нем его частиц оболочки и поля. На стороне встречных токов р<sup>-</sup>м. і и р<sup>о</sup>м. п больше хаотического

движения частиц м., поэтому поле протона рассеяно ; протон испытывает давление  $F^{\scriptscriptstyle{M}}$  в сторону меньшей силы  $p^{\scriptscriptstyle{T}}$ м. i, на выход из магнитного поля.



#### Атом в магнитном поле

Для возникновения и существования вихря частиц м. необходимо: наличие в Пространстве хаотически движущихся частиц м. достаточной плотности; в центре вихря должна находиться не проницаемая для частиц м. среда; вихрь должен замыкаться во вращении. Из этого очевидно, вихрь электрона, находящегося в зоне большой плотности протонного поля, возникнуть не может. Вихрь может возникнуть только у свободных электронов СЭ. Атом без СЭ в магнитном поле подобен протону, рис. 43. Атом , содержащий свободный электрон в зоне  $+F_1^{\circ}$   $-F_2^{\circ}$  и находящийся в магнитном поле, изображён на рис.44. Образовавшийся вихрь СЭ способствует усилению вихря атома  $p^{\circ}$ м. а. Атом, содержащий в своём поле свободный электрон, намагничивается и испытывает давление  $F^{\scriptscriptstyle M}$  в сторону большей силы  $p^{\circ}$ м.і.

Для определения направления силы  $F^{\text{м}}$  в атоме можно использовать упрощенное изображение, рис. 45, где атом изображен без поля — точка , вокруг него вихрь  $p^{\text{o}}$ м.а, образовавшийся в магнитном поле  $p^{\text{f}}$ м. — стрелки  $p^{\text{f}}$ м.і разной длины.  $F^{\text{m}}$  возникает на стороне встречных токов  $p^{\text{o}}$ м.а и  $p^{\text{f}}$ м.і .

Вещество, состоящее из намагнитившихся атомов, представляет собой

естественный магнит N ( рис. 46 ), с суммарным вихрем всех его атомов.

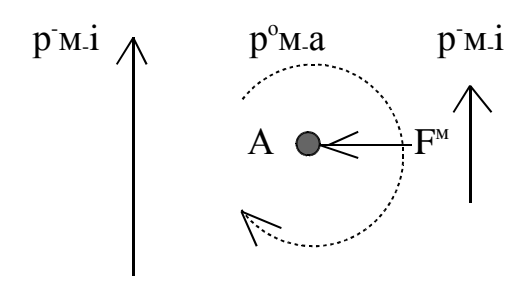


Рис. 45

### Проводник с током в магнитном поле

На рис.46 а изображён проводник с током, находящийся в поле магнита N (цилиндр, изображён торцом). В проводнике изображены атом и СЭ, представляющий ток в указанном стрелкой направлении. Вокруг атома и СЭ возникли вихри, наведённые полем магнита. Электрон испытывает давление в сторону большей силы магнитного поля, поэтому изображён на

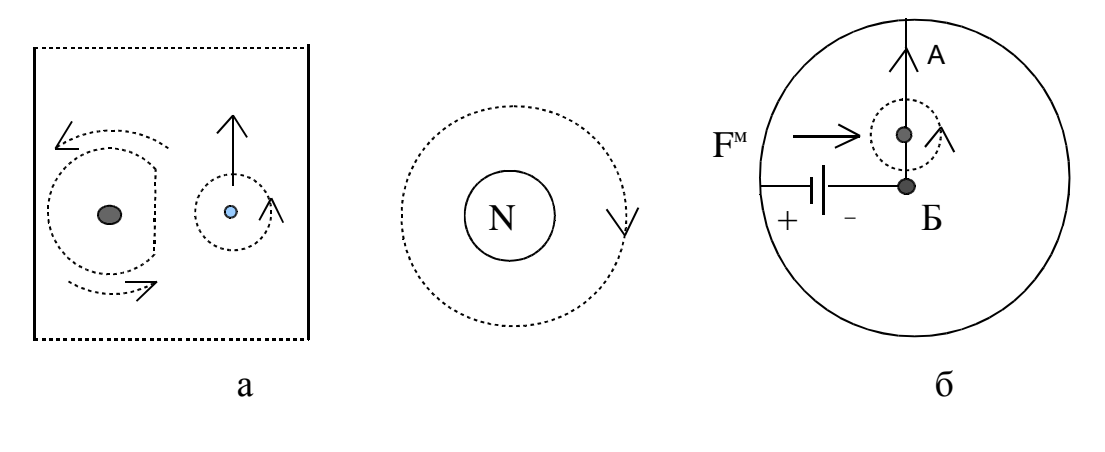
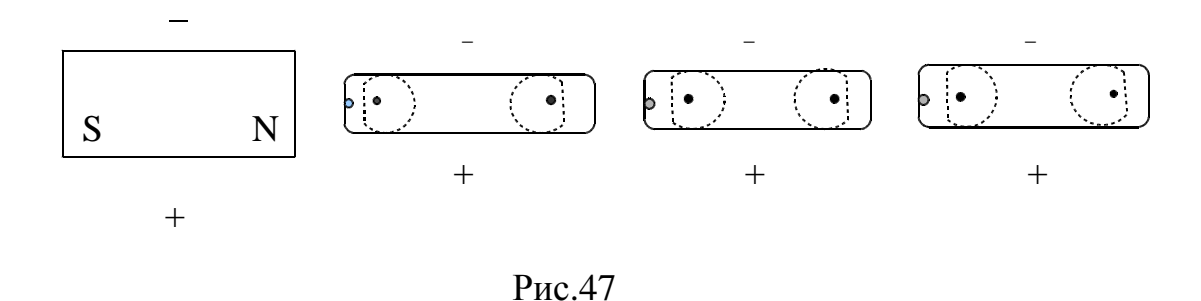


Рис. 46

стороне магнита. Проводник испытывает давление в эту же сторону, в сторону большей силы магнитного поля. На рис.46 б изображён проводник с током в том же поле магнита. Проводник в конце Б подключён к минусу источника тока через шарнирный контакт, а в конце А — скользящим контактом через

проводящий ток кольцо С к плюсу. Проводник АБ под действием силы F<sup>м</sup> вращается по часовой стрелке, что подтверждает отсутствие как таковых магнитных силовых линий, ибо при их наличии проводник должен был бы остановиться в положении, при котором магнитные силовые линии магнита и проводника с током могли бы сомкнуться.

## Эффект магнитных силовых линий



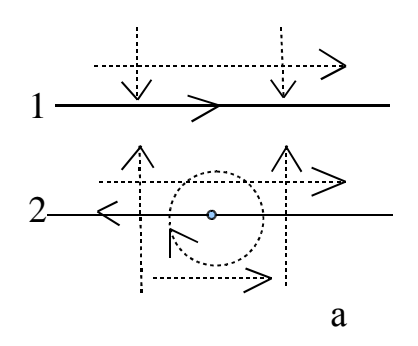
На рис.47 изображён магнит S-N, вблизи него мелкие продолговатые тельца из намагничивающегося металла. Тельца намагнитились, их свободные электроны переместились в сторону большей силы магнитного поля , возникли силы  $F^{\mathsf{M}}$  в атомах, тельца соединились в цепочку. Совершенно очевидно, возможные соседние цепочки будут испытывать взаимно отталкивающие силы и разойдутся веером, создавая эффект магнитных силовых линий.

## Электромагнитная индукция

Возникновение тока в проводнике приводит к возникновению попутного обще направленного движения частиц м. ( р˙м. ) в окружающей проводник среде. Последнее приводит к поперечному сжатию р˙м., и оно, естественно, не может происходить постоянно, а только до определённой плотности и во время нарастания тока. На рис.48 а два параллельно расположенные проводника 1 и 2. В проводнике 1 течёт нарастающий ток. В окружающей среде возникает р′м., из-за чего происходит завихрение полей свободных электронов соседнего

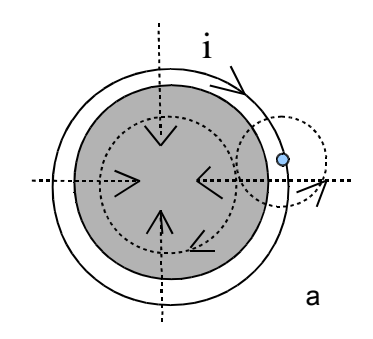
проводника и одновременно поперечное сжатие р<sup>-</sup>м. (изображено стрелками к проводнику 1), которое пронизывает поле электрона проводника 2, вызывая его движение — ток в противоположном току 1 направлении. На рис.б ток в проводнике 1 убывает, происходит поперечное расширение р<sup>-</sup>м. , которое вызывает ток в проводнике 2 в согласном току 1 направлении. Продольное р<sup>-</sup>м. и поперечное р<sup>-</sup>м. представляют собой не что иное, как электромагнитную волну, которая распространится далее в Пространство.

Аналогичное происходит в проводнике, намотанном на магнитопровод, рис.49 а. В проводнике течёт нарастающий ток і, возникает вихрь ром. вокруг и внутри магнитопровода и одновременно его сжатие. Из окружающей среды частицы м. втекают в магнитопровод . При этом электроны проводника испытывают давление против тока і. На рис. б ток в проводнике убывает, происходит расширение вихря, электрон испытывает давление в поддержку убывающему току.



 $\begin{array}{c}
1 \\
2 \\
6
\end{array}$ 

Рис. 48



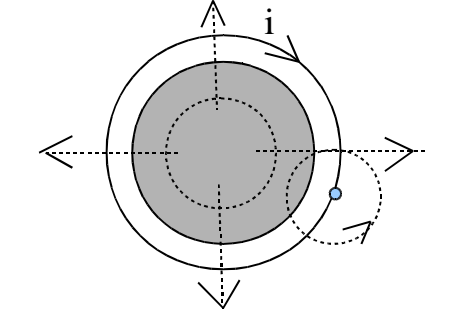


Рис. 49

б

#### Магнитное поле магнита

Вокруг всех атомов магнита существуют вихри, во внутренних его областях казалось бы должно привести к их взаимной компенсации — отсутствии суммарного вихря. Однако суммарный вихрь существует и во внутренней области благодаря частицам м. окружающей среды, большой их проникающей способности и большого расстояния свободного движения. Вихрь магнита возникает вокруг центра общей массы вещества, усиливается и поддерживается частицами м. окружающей среды. На рис. 50 изображена диаграмма силы магнитного поля (обще направленного движения частиц м.) на оси X цилиндрического магнита.

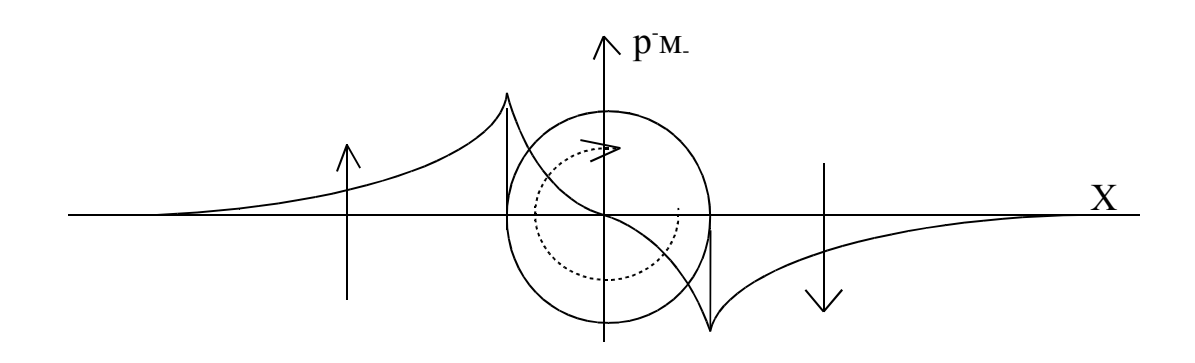


Рис. 50

С левой и правой стороны магнита изображены стрелки, указывающие направление входа частиц м. окружающей среды в магнит и в его поле. Подобная диаграмма на всех осях в пределах  $360^{\circ}$ . Наибольшая величина р $^{\circ}$ м. в магните по его периметру. Из-за наличия общего вихря магнита и вихря атома в последних возникают силы  $F^{\text{м}}$ , рис. 53 а.

Магнит, например прямоугольной формы, рис. 51 а, можно изобразить в виде прямоугольника — рамки, рис. 51 б. Если магнит окажется в поле другого магнита, то вокруг его атомов образуются наведённые вихри. На рис. 52 изображены в виде рамок два магнита, расположенные взаимно

перпендикулярно. На сторонах рамок точками изображены атомы, вокруг них наведённые вихри от поля соседнего магнита.  $F^{\text{M}}$  возникает на стороне встречных р $^{\text{M}}$  магнита и наведённого вихря. На сторонах, где ось наведённого вихря атома параллельна р $^{\text{M}}$  магнита,  $F^{\text{M}}$  не возникает. В изображённом положении магниты не испытывают взаимного притяжения, испытывают только взаимно разворачивающие силы.

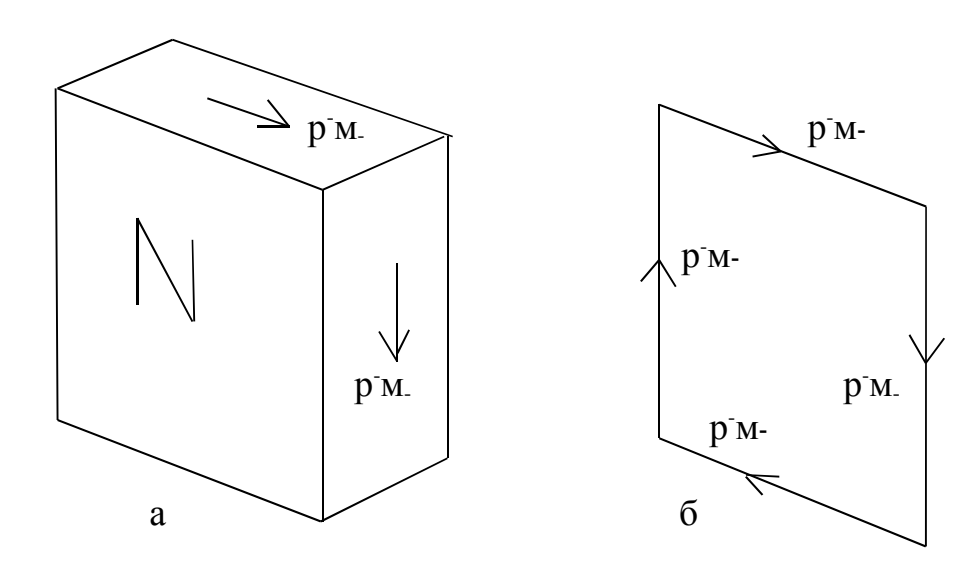


Рис. 51

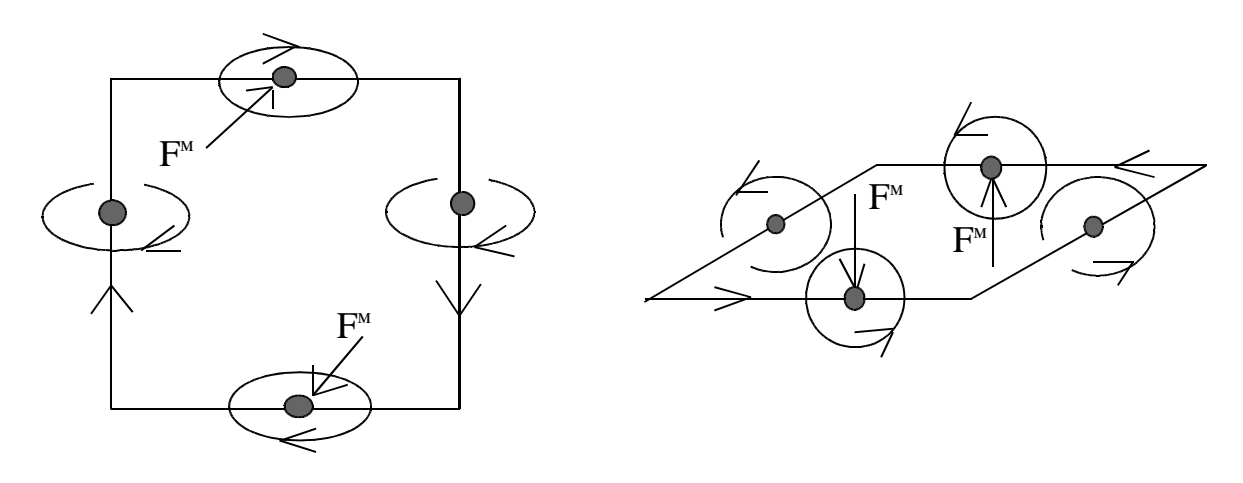
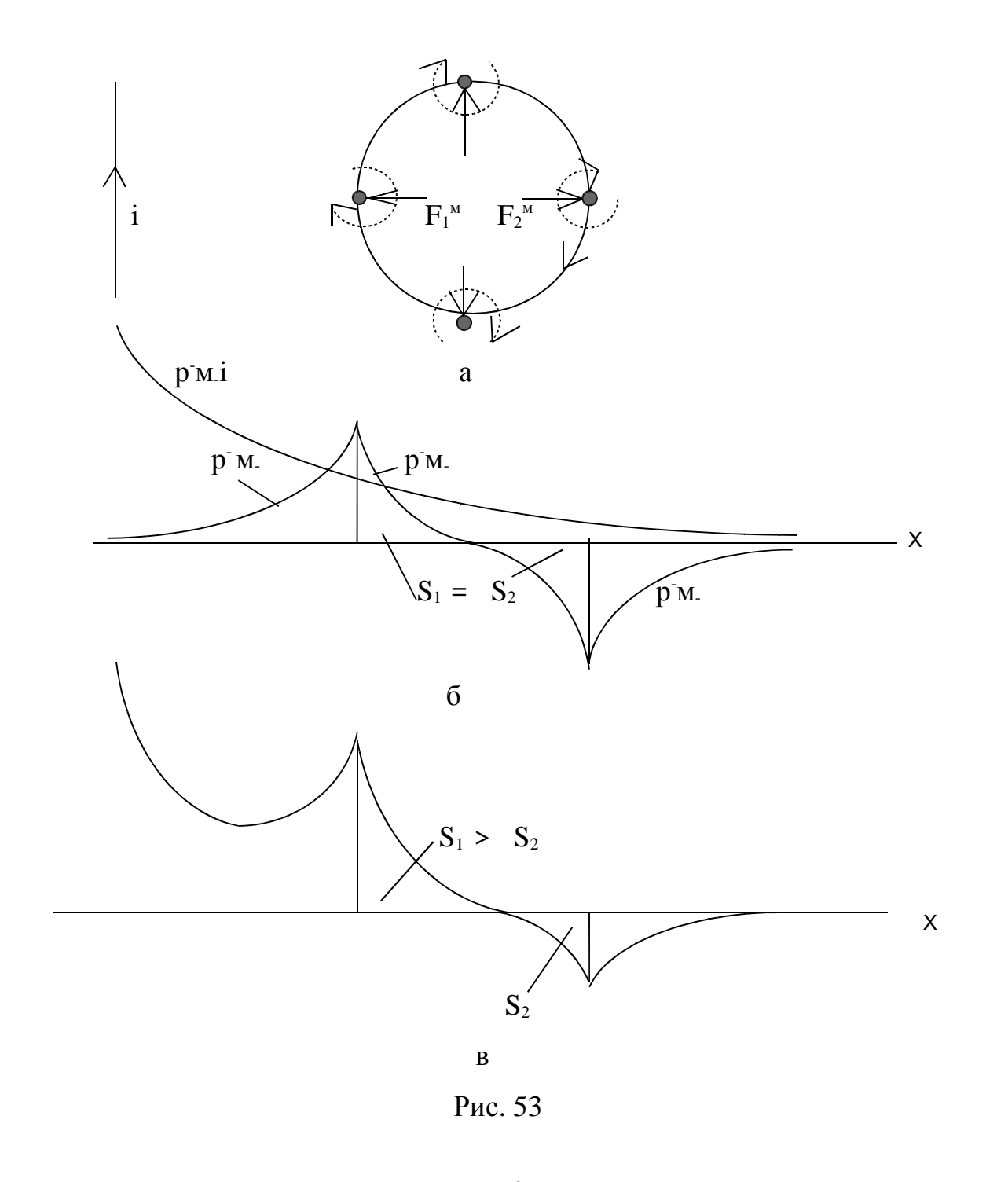


Рис. 52

Силу  $F^{\text{м}}$  испытывают не только атомы, находящиеся по периметру, но и атомы, находящиеся во внутренних его областях.  $F^{\text{м}}$  действует в сторону большей силы  $p^{\text{-}}$ м по радиальной линии, и чем ближе к периметру, тем с

большей силой — пропорционально силе  $p^* M$  на месте нахождения атома. На рис. 53 а изображены силы  $F^M$ , действующие только на атомы, находящиеся по периметру магнита. Суммарная сила  $F^M$ , действующие на все атомы в направлении  $F_1^M$ , пропорциональна площади  $S_1$ , суммарная сила в направлении  $F_2^M$  пропорциональна площади  $S_2$ , рис. 53 б . Кривые  $p^* M$  — сила обще направленного движения частиц M поля магнита на оси X .



Кривая р м.і — диаграмма силы обще направленного движения частиц м. на оси X тока і , протекающего в проводнике, находящегося вблизи магнита. р м.і накладывается на поле магнита — образуется суммарное поле, рис. 53 в, нарушающее симметрию поля магнита так что  $S_1 > S_2$ , что приводит к давлению магнита в сторону проводника с током.

## Магнит в магнитном поле проводника с током

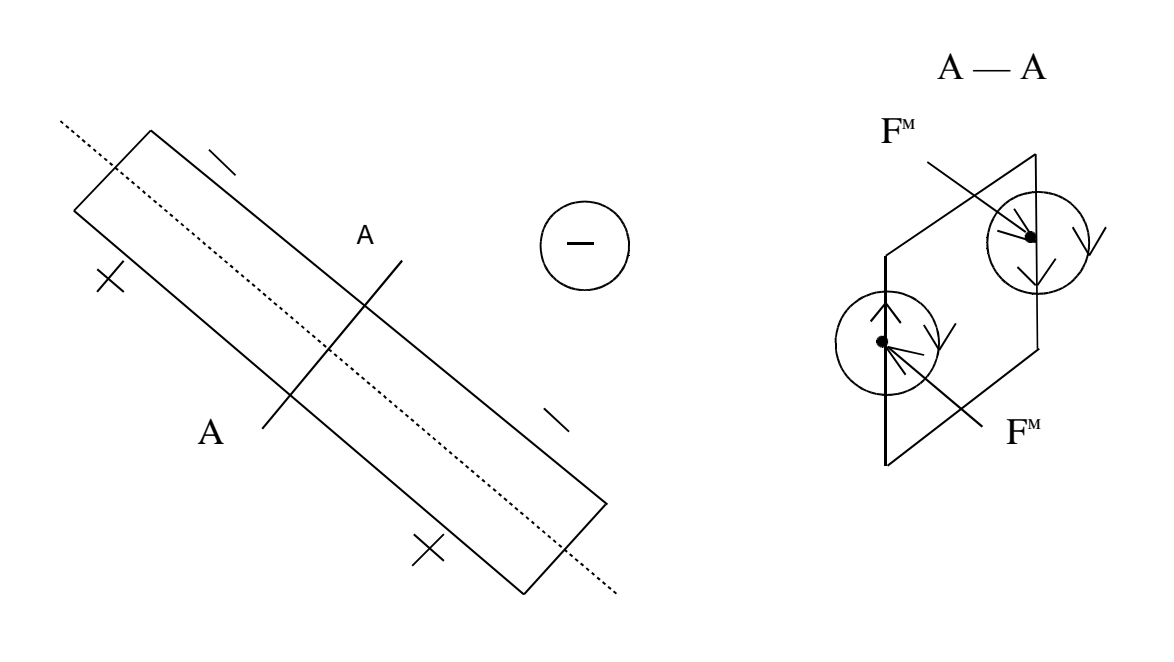


Рис. 54

На рис. 54 изображен магнит, находящийся в магнитном поле проводника с током — окружность со знаком минус, означающим, что ток (электроны) течет от нас. Магнит изображен в виде прямоугольника со знаками плюс и минус, означающими направление вращения вихря  $p^{o}$ м. , движение  $p^{r}$ м. — минус от нас, плюс к нам. Вокруг атомов магнита (изображены только на вертикальных линиях сечения А — А) возникли вихри, наведенные полем проводника с током, и силы  $F^{m}$ , аналогичные рассмотренным на рисунке 52. Магнит испытывает разворачивающую силу до тех пор, пока плоскость сечения А — А не станет продольно перпендикулярной оси проводника.

На рис. 55 изображено слабо намагничивающееся вещество, находящееся в поле внешнего магнита. Вокруг вещества и его атомов возникли вихри р°м., изображены пунктирными стрелками. Над рисунком изображена упрощенная диаграмма силы р⁻м. на оси A-A вещества.

Вокруг атома, содержащего свободный электрон, находящегося в магнитном поле, возникает достаточно сильный вихрь р<sup>о</sup>м. Степень свободности электрона определяется плотностью поля ядра атома на месте

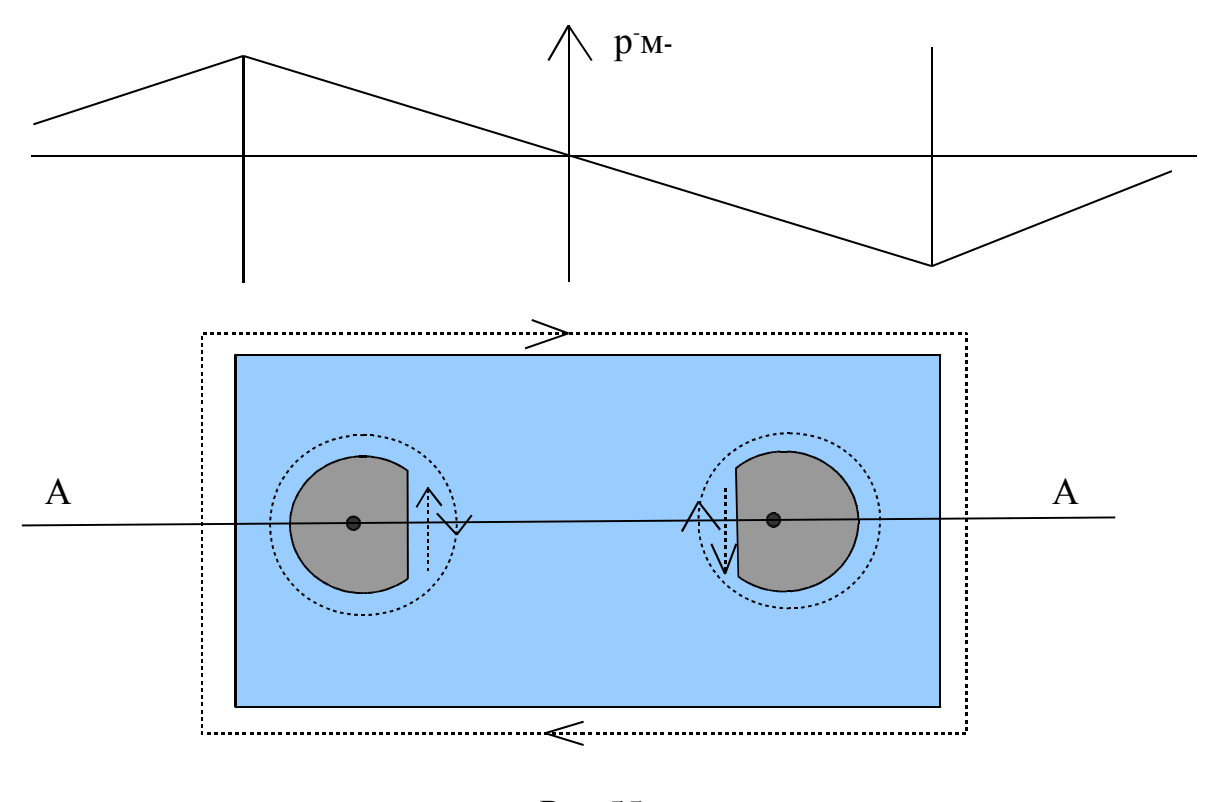


Рис.55

нахождения электрона. Естественно существуют атомы, в которых электроны находятся в зоне средней свободы, вокруг них и следовательно вокруг атомов могут возникать не очень сильные вихри  $p^{o}$ м. , то есть вещество слабо намагничивается.

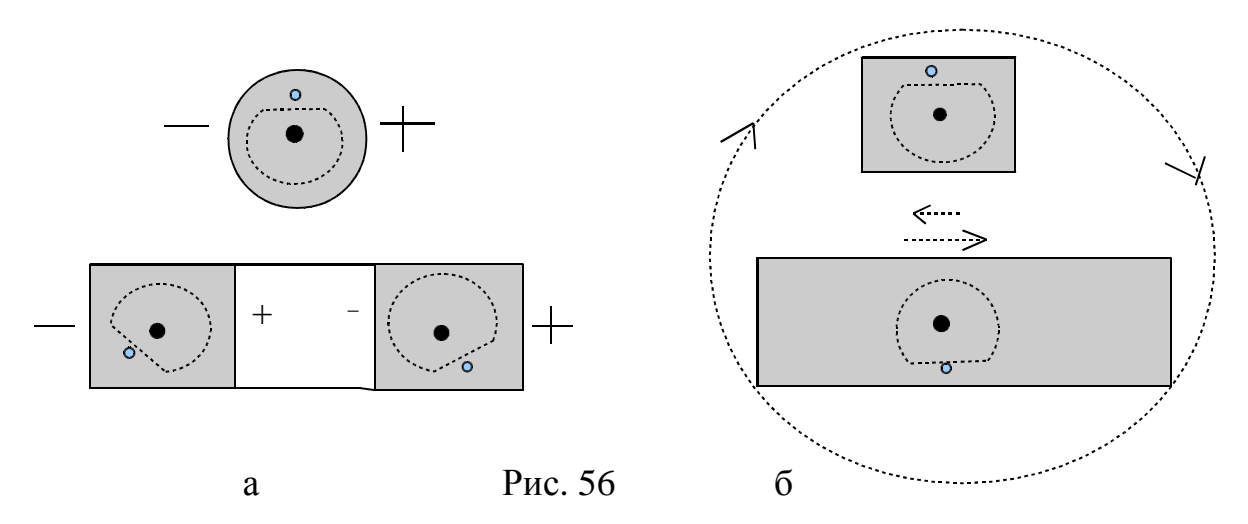
Из рисунка очевидно, слабо намагничивающееся вещество в магнитном поле сжимается- уплотняется, при этом его температура увеличивается; вне поля плотность вещества восстанавливается — температура уменьшается.

## Сопротивление электрическому току.

При движении электрона в проводнике происходит его столкновение с атомом, ( его вход и выход из атома ), что представляет сопротивление его продвижению и приводит к увеличению скорости движения атома, то есть нагреву проводника. Входу электрона в атом способствуют его преимущественные волны ~рм<sub>+</sub>, волны ~рм<sub>-</sub> отталкивают электрон. Вещество, атомы которого излучают преимущественно ~рм<sub>+</sub>, оказывает большое сопротивление электрическому току; вещество с атомами, излучающими преимущественно волны ~рм<sub>-</sub>, являются хорошими проводниками тока.

Сильно охлаждённое вещество характеризуется малой скоростью движения атомов. При этом атомы больше сближаются друг к другу, что приводит к увеличению и уплотнению их полей. Если столкновение атома с другим атомом совпало с его вдохом, то приливная волна ~рм+ может оказаться достаточно сильной, чтоб вытолкнуть электроны из зоны действия сил  $+F_3^{\circ}$   $-F_4^{\circ}$  во внешнюю зону  $+F_1^{\circ}$   $-F_2^{\circ}$ . Это приводит к ещё большей приливной волне ~рм+ к этому атому и она может способствовать к возникновению сильной приливной волны в другом атоме и переход его электронов из внутренней зоны во внешнюю. Этот процесс произойдёт лавинообразно во всех атомах сильно охлаждённого вещества — переход вещества в сверхпроводящее состояние. Так как электроны атомов оказываются во внешних зонах, атомы будут излучать преимущественно волны ~рм. и являться отличными проводниками тока. Сила дыхания атома по мере охлаждения, естественно, слабеет; слабыми становятся и волны ~рм.. Считавшаяся до настоящего времени возможность существования бесконечно долгое время индуцированного тока в кольце из металла, находящегося в сверхпроводящем состоянии (Коллинз, 1957 г.), не реальна. В кольце течёт ток только в момент индуцирования, затем он

прекращается, как и в любом проводнике, но остаётся возникшее магнитное поле — вихрь, чему способствует окружающая среда хаотически движущихся частиц м. и непроницаемая для них среда сверх охлаждённого вещества. На рис. 56 а изображены это кольцо и над ним шар из металла в сверхпроводящем состоянии. Вокруг кольца магнитное поле — вихрь, обозначен знаками плюс и минус. Внутри кольца вращение вихря,



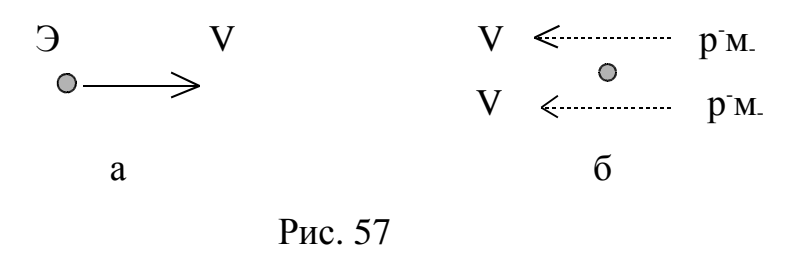
естественно, противоположно внешнему. Вокруг шара наведен вихрь магнитным полем кольца. Между шаром и кольцом магнитного поля ( вихря ) нет, там хаотическое движение частиц м., из-за встречных вихрей шара и внутренней зоны кольца . Электроны в атомах кольца и шара сместились в сторону от этой зоны; шар и кольцо испытывают взаимно отталкивающие силы.

На рис. б магнит (изображён торцом) находится над бруском из металла в сверхпроводящем состоянии. Вихрь магнита охватывает брусок, превращая его в магнит той же полярности, поэтому испытывают взаимно отталкивающие силы.

# Движение электрона в магнитном поле

Частицами м., являющимися частицами оболочки и поля электронов, густо заполнены вся окружающая нас среда и все материальные объекты. Эта среда подобна воздушной, относительно неё движутся материальные объекты,

в том числе и электроны. Материальные объекты для неё — достаточно редкое скопление электронов и протонов. Для движущегося электрона относительно этой среды, рис. 57 а — это движение-ток среды относительно него, рис. б.



На рисунке 58 изображён проводник АБ, с электроном Э, движущийся в указанном стрелкой направлении в магнитном поле магнита, изображенном кружком — вид с торца на северный плюс. Пунктирная окружность со стрелкой — направление вращения вихря магнита, согласно часовой стрелке. При нахождении проводника в левой половине поля магнита, вокруг электрона возникает вихрь против часовой стрелке — электрон испытывает давление в сторону конца А проводника, со стороны встречных токов его вихра и ръм. среды. При движении проводника в правой половине магнита, вокруг электрона вихрь сохраняется в том же направлении — электрон испытывает давление в ту же сторону, к концу А проводника.

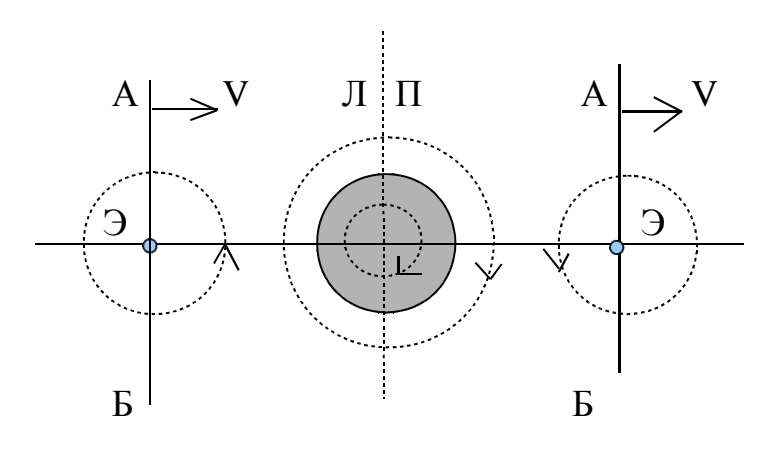


Рис. 58

Из рассмотренного очевидна возможная траектория (известная) движения свободного (вне проводника) электрона в магнитном поле. Вокруг протона, находящегося в магнитном поле, так же образуется вихрь. Так как оболочка и поле протона из частиц м<sub>+</sub>, вихрь образуется вокруг его поля. Если бы протон находился на месте электрона в левой половине поля магнита (рис. 58), но вне проводника и двигался в том же направлении, то его состояние было бы таким, какое на рис. 59. Протон испытывал бы давление в противоположном, чем электрон, направлении.

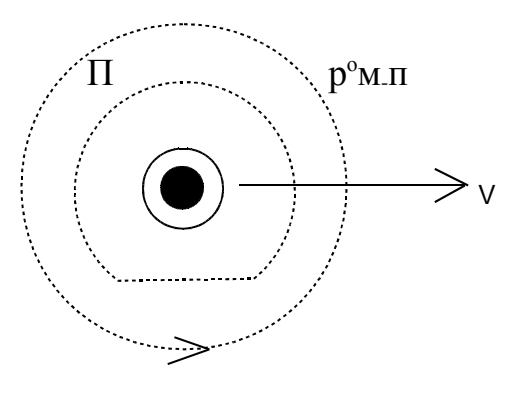


Рис. 59

Взаимовлияние проводников с током.

На рис. 60 изображены два параллельно расположенных проводника 1 и 2 , по которым течёт ток в указанном стрелкой направлении. Вокруг

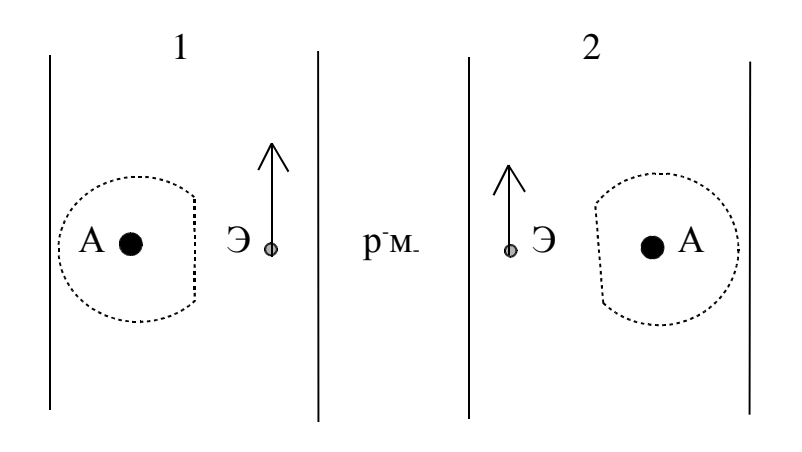


Рис. 60

электронов и атомов вихри не образуются — атом находится в поле равной силы тока р<sup>-</sup>м<sub>-</sub>, а электроны сами создают магнитное поле, при этом смещаются в сторону соседнего проводника, в сторону более сильного тока р<sup>-</sup>м<sub>-</sub>. Атомы испытывают давление в сторону электронов.

На рис. 61 в тех же проводниках течет ток в противоположных направлениях, электроны соседних проводников испытывают давления в противоположные друг от друга стороны, так как между проводниками

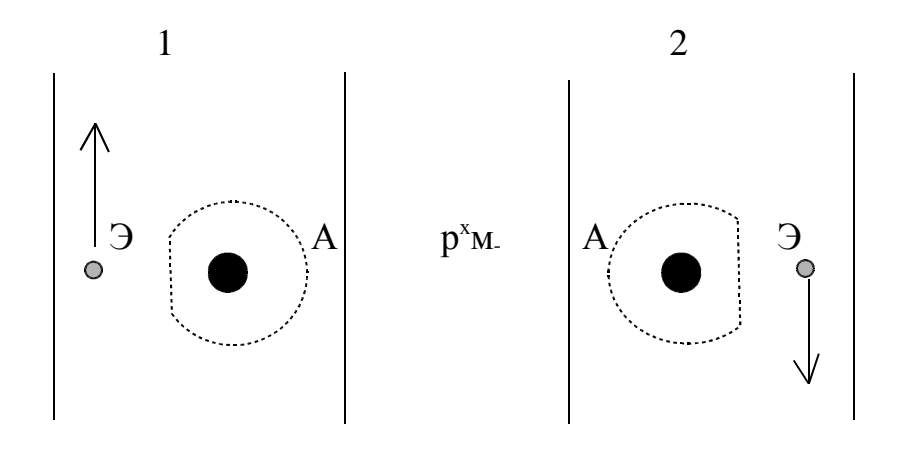


Рис. 61

направления движения р м встречны, создаётся их хаотическое движение.

#### Вещество

Между атомами, молекулами существуют взаимовлияния как волнами  $\sim$ рм $\pm$ , рис. 16, так и силами  $F^{\circ}$ , возникающими в их протонах и электронах. Наибольшее влияние оказывают электроны (они раньше реагируют на затенение), атомы движутся в сторону большего их количества. По мере приближения атомов друг к другу их электроны перемещаются в ту или иную сторону относительно ядер, создавая силы взаимовлияния атомов  $\pm F^{a}$ , аналогичные рис. 8, от  $+F_{1}^{a}$  до  $-F_{6}^{a}$ . Например, при возникновении сил  $+F_{1}^{o}$ , в электронах сблизившихся атомов, электроны смещаются во внутренние

стороны — атомы испытывают  $+F_1{}^a$ . При возникновении сил  $-F_2{}^o{}_3$ , атомы отталкиваются друг от друга силой  $-F_2{}^a$  и так далее.

Очевидно, под действием сил  $F^a$  атомы могут соединиться друг с другом, образуя молекулу, в которой атомы могут находиться в зонах действия сил  $+F_3{}^a$   $-F_4{}^a$  или  $+F_5{}^a$   $-F_6{}^a$  в зависимости от скорости их столкновения.

Взаимовлияние молекул, очевидно, определяется силами  $\pm F^{\,{}^{\,{}^{\,{}}}}$ , диаграмма которых также подобна диаграмме сил  $\pm F^{\,{}^{\,{}}}$ , рис. 8.

Соединившиеся молекулы, находящиеся в зоне действия сил  $+F_3^{\text{M}} -F_4^{\text{M}}$ , представляют очевидно жидкость, а находящиеся в зоне действия  $+F_5^{\text{M}} -F_6^{\text{M}}$  — твёрдое вещество. В молекуле атомы находятся в колебательном состоянии относительно друг друга, следовательно, молекулы излучают волны  $\sim p_{\text{M}_+}$ , оказывающие взаимно отталкивающее действие  $-F_+^{\sim}$ . Поэтому для соединения молекул силами  $\pm F^{\text{M}}$  им необходимо преодолевать  $-F_+^{\sim}$ .

Атомы, молекулы в веществе постоянно находятся в состоянии движения. Направление движения задают их электроны. Электрон в атоме смещается в ту сторону, откуда идёт наименьшей силы излучение волн ~рм. . Атом движется в эту сторону до тех пор, пока не изменится сторона наименьшей силы ~рм., и так постоянно.

#### Возможность существования вещества

Согласно оболочной последовательности существование электронов обязано наличию частиц пространства: м<sub>4.2</sub>, м<sub>3.2</sub>, м<sub>2.2</sub>, м<sub>1.1</sub>, м<sub>0</sub>; их отсутствие приводит к распаду электронов. Аналогично, очевидно, и у протонов. Естественно, в центральной части большой массы вещества ограничен доступ частиц Пространства к электронам и протонам, там происходит их распад, поэтому из глубин звёзд и планет дует эфирный-космический ветер (известный красным смещением света в гравитационном поле Земли) в межгалактическое Пространство, возможно и в Пространство между СкГ. Таким образом во

Вселенной происходит кругооборот. В межгалактическом Пространстве первичные малые частицы, соединяясь в структурные скопления, рис.5, укрупняются и втекают в галактику; образуются электроны, протоны, нейтроны, атомы, молекулы, вещество, звёзды.

Закономерность уменьшения величин м частиц по мере удаления от звезды, галактики создаёт условия отсутствия возможности существования вещества в межзвёздном, межгалактическом Пространстве. Для существования электрона, например в межзвездном Пространстве, необходимы частицы м<sub>4.2</sub> достаточной плотностью. Возможно, достаточная их плотность образуется только в околозвёздном Пространстве.

## Сверхтекучесть

Электрон в атоме перемещается в сторону, откуда идёт более слабая сила излучения волн ~рм. Сверх охлаждённый атом излучает волны ~рм. слабой силы, поэтому в окружающих его не охлаждённых атомах электроны смещаются в его сторону. Если сверх охлаждённая жидкость находится в сосуде из не охлаждённого вещества, то её атомы будут испытывать влияние волн ~рм. и от несколько отдалённых атомов вещества, рис.62, что приводит к (втягиванию) течи жидкости по стенке сосуда.

Близко сблизившиеся атомы жидкости и вещества взаимно отталкиваются — электроны смещаются в противоположные стороны из-за возникновения в них сил  $-F_2^{\ o}$ .

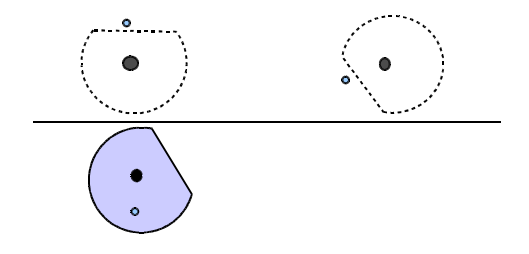


Рис. 62

# Опыт Д. Франка и Г. Герца 1913 г.

Свободный электрон в электрическом поле движется ускоренно. На рис. 63, в газовой среде на расстоянии 5 L создаётся электрическое поле до 5 в. Серыми кругами обозначены атомы газа, ломанными стрелками — траектории движения электронов. Движущийся электрон при определённой скорости, допустим V<sub>1</sub>, может столкнуться с атомом, войти и выйти из него ( атом может содержать только определённое их количество ), при меньших же скоростях не сталкивается, обходит его. Допустим: электрон приобретает скорость V<sub>1</sub> на расстоянии 5 L при напряжении 1 в, ( рис. а ), при напряжении 2 в — на расстоянии 4 L, ( рис. б ), при напряжении 3 в — на расстоянии 3 L, ( рис. в ), при напряжении 4 в — на расстоянии 2L (рис. г), при напряжении 5 в — на расстоянии 1 L ( рис. д ). На рисунке пунктирные линии траекторий

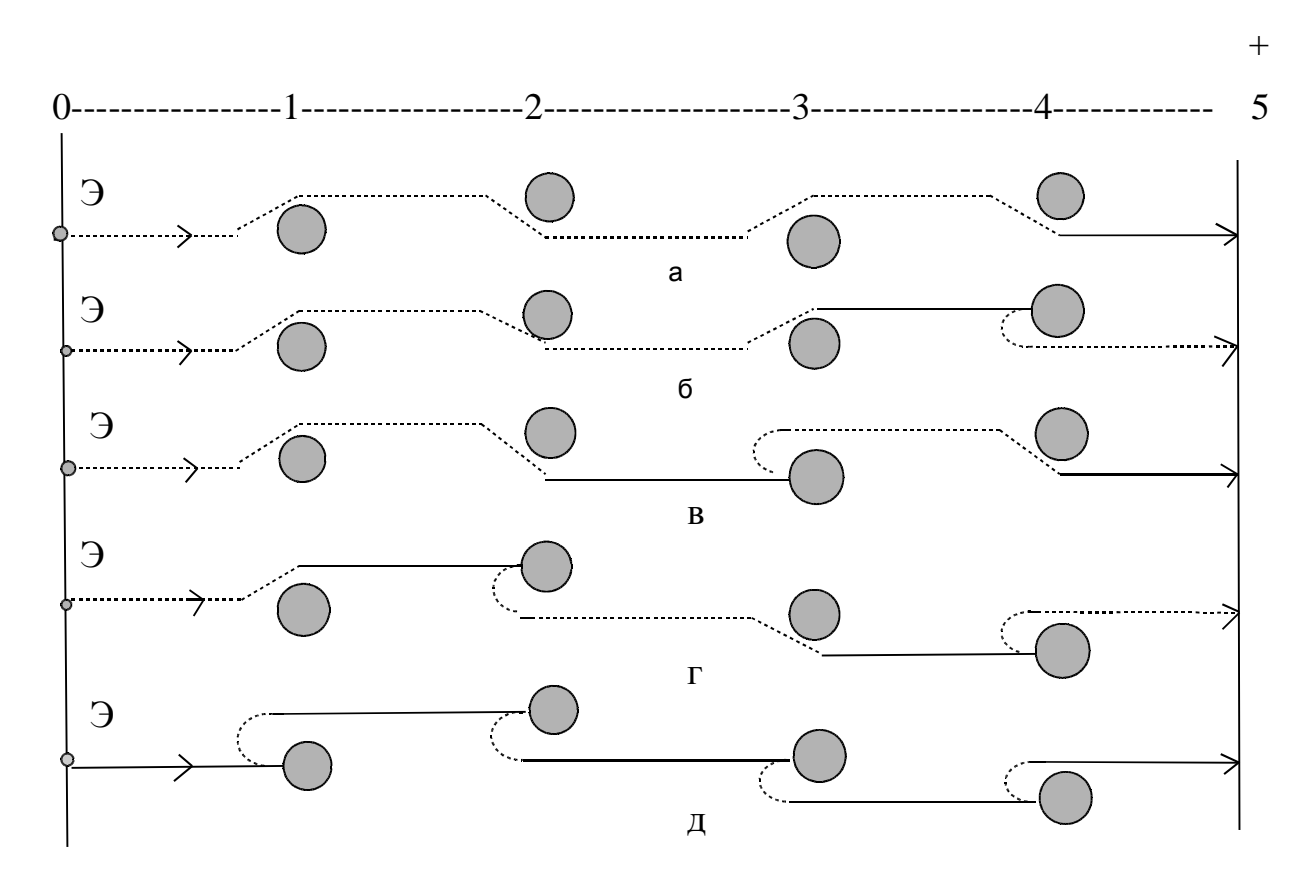


Рис. 63

движения электронов означают движение с меньшей, чем  $V_1$  скоростью, сплошные линии — движение с большей скоростью.

Движение атома в магнитном поле Опыт О. Штерна и В. Герлаха, 1921 г.

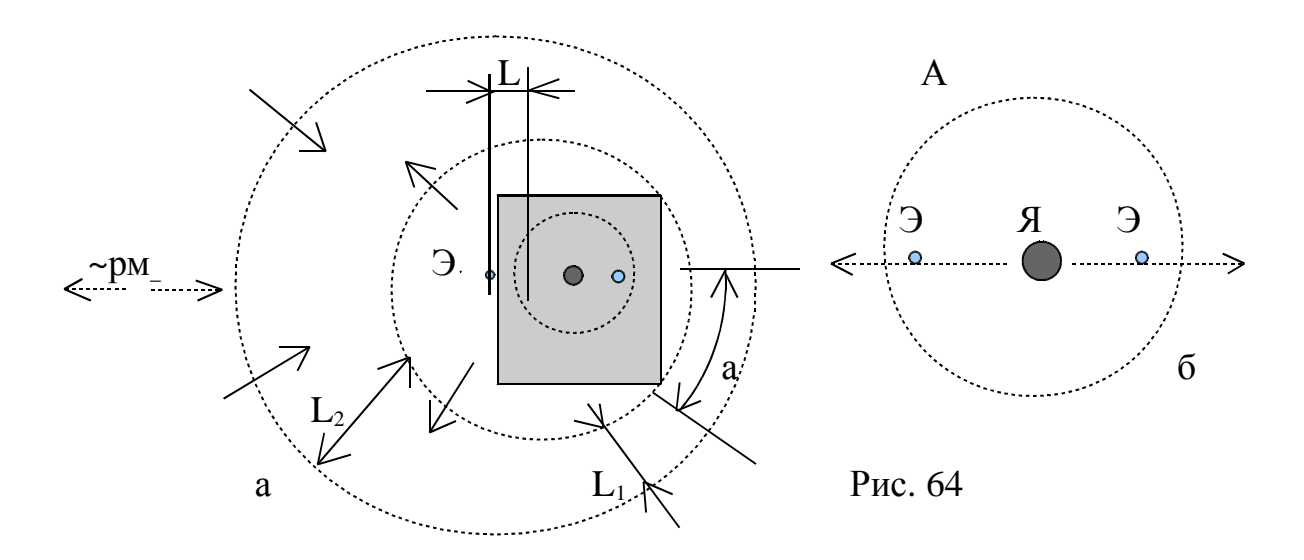
В веществах окружающей нас среды всегда имеются свободные электроны, которые находятся вне поля атомов, но находятся вблизи них под действием силы  $+F_1^{\circ}$ . Ранее выяснили, не намагничивающиеся атомы испытывают давление в сторону меньшей силы магнитного поля , намагничивающиеся (имеющие свободные электроны) — в сторону большей силы. В опыте О. Штерна одни атомы вылетали из серебряного шарика с свободным электроном, другие без, поэтому отклонялись в разные стороны.

Рассеяние рентгеновских лучей. Эффект Комптона, 1923 г.

Рентгеновские ( лучи ) волны возникают при скоростном столкновении свободных электронов СЭ с веществом. В свободном состоянии СЭ имеют максимальный размер поля. При столкновении с веществом он входят в него и значительно ( возможно полностью ) теряют своё поле, возбуждая отливную полу волну ~рм. . СЭ в веществе взаимно отталкиваются, поэтому после входа в вещество выталкиваются из него и вновь приобретают максимальный размер поля, возбуждая приливную полу волну ~рм. . Отливная и приливная полу волны представляют рентгеновскую волну. Волны электрического поля представляют так же ~рм. , но возбужденные без входа-выхода из вещества, поэтому слабее. Рентгеновская волна ~рм. , набежав в вещество и оказавшись в области ближайшего к краю атома, рис. 64 б, выталкивает его электрон из вещества , рис. а. ( р м. оказывает на электрон давление в сторону

обще направленного движения ). Электрон, оказавшись в менее плотной среде частиц м<sub>+</sub> , приобретает из окружающей среды частицы м<sub>-</sub> , увеличивая размер поля и создавая этим приливную полу волну ~рм<sub>-</sub>. Затем электрон вновь приобретается атомом, входит в вещество и оказавшись в более плотной среде частиц м<sub>+</sub> , рассеивает частицы своего поля, возбуждая отливную полу волну ~рм<sub>-</sub>. Центр приливной полу волны оказывается вне вещества, а центр отливной — внутри вещества.

Совершенно очевидно, длина волны, возбуждаемая электроном различна в зависимости от угла наблюдения а,  $L_2 > L_1$ , причем разность  $L_2$ -  $L_1$ ,



согласно рисунку , увеличивается пропорционально углу а  $\,$  от  $\,$  О $^{o}$  до  $\,$  180 $^{o}$  .

$$L_2 - L_1 = 2 L \times a / 180$$

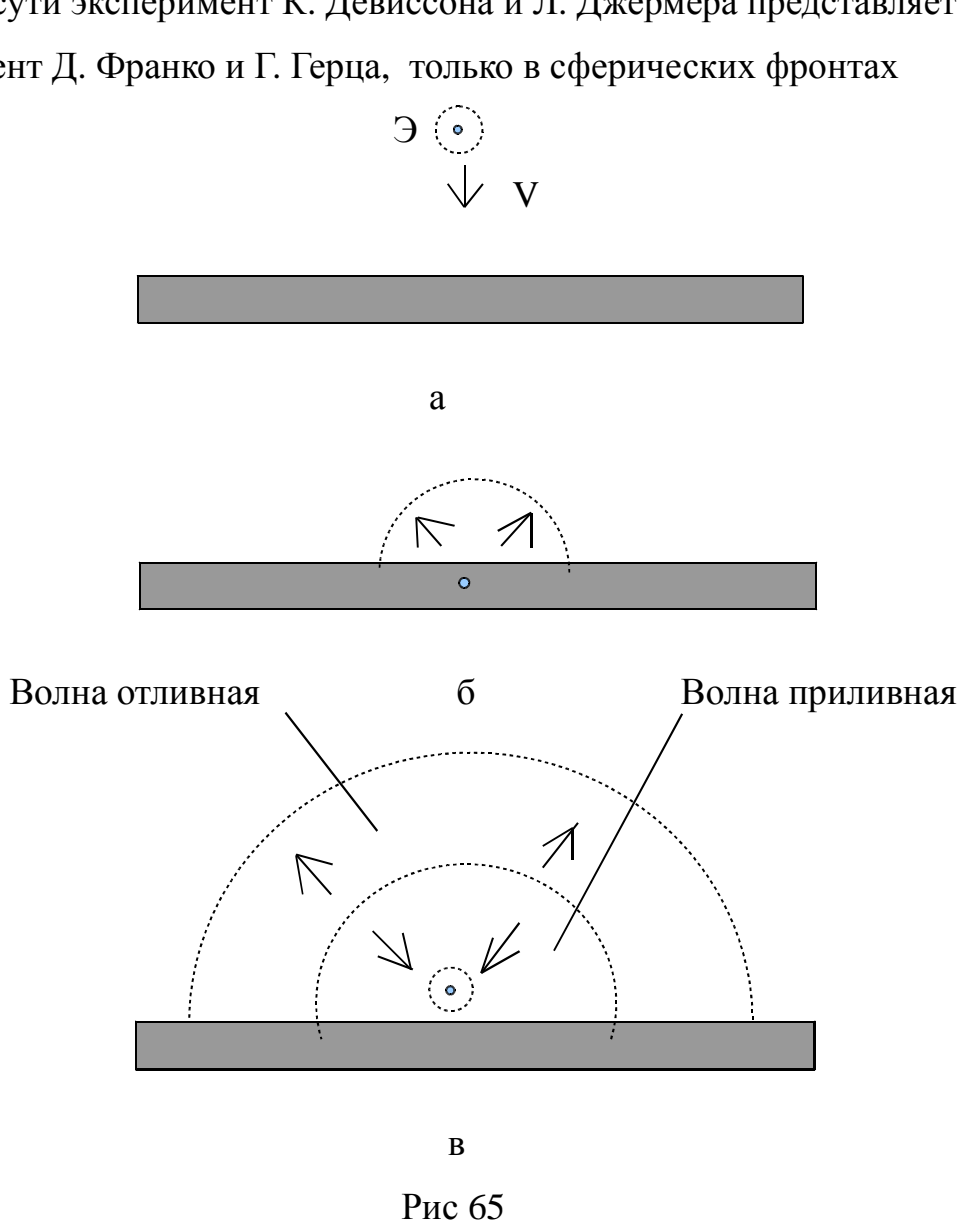
Эксперимент К. Девиссона и Л. Джермера. 1927 г. «Рассеяние электронов монокристаллом никеля»

В разделе «Рассеяние рентгеновских лучей, эффект Комптона» описан механизм возникновения волн ~рм., названных в современной физике рентгеновскими лучами, согласно данного исследования — волны сильного

электрического поля. Для пояснения этого механизма на рис.65 а, б, в последовательно изображен этот процесс. Для упрощения изображены только полусферы (полуокружности) фронтов волн, естественно они сферические.

Волны электрического поля оказывают давление в сторону их распространения на электроны, согласно 7, поэтому в электрическом поле электроны движутся ускоренно. При движении в газовой среде происходят их столкновения с атомами, в том числе вход-выход из них подобно рассмотренному на рис.63.

По сути эксперимент К. Девиссона и Л. Джермера представляет эксперимент Д. Франко и Г. Герца, только в сферических фронтах



электрического поля и разной его частоты ~рм. . Из эксперимента очевидно зависимость рассеивания сталкивающихся с монокристаллом никеля электронов от их скорости. По мере увеличения скорости электроны глубже входят в кристалл затягивая время их выхода из него, вследствие этого приливная полу волна запаздывает от отливной, длина волны увеличивается, либо вообще нарушается целостность волны, как таковой, что приводит к уменьшению интенсивности электронного пучка в приемнике.

# Закон Авогадро

Процесс столкновения-отражения молекул отличается от процесса столкновения-отражения элементарных частиц. Молекулы испытывают взаимовлияние их волнами дыхания на значительном расстоянии друг от друга. Если состав волн молекул на содержание в них составляющих  $p_{M_+}$  и  $p_{M_-}$  одинаков, то волны оказывают на них только взаимно отталкивающее действие, усиливающееся по мере приближения друг к другу. Атомы в молекуле не содержат в своем поле электроны, они переходят в их общее увеличенное поле — поле молекулы. Молекула, так же как и атом, движется в сторону большего количества электронов в ее поле, в сторону меньшей плотности частиц  $m_+$ . Ядра атомов состоят из частиц  $N_1$  и  $N_2$ , их колебания возбуждают волны , которые определяют энергетическое состояние молекулы — силу волн  $\sim p_{M_+}$ . Эти волны взаимно пронизывают ядра атомов соседних молекул, приводя к выравниванию силы колебаний их частиц  $N_1$  и  $N_2$ . Таким образом выравнивается энергетическое состояние всех атомов соседних молекул.

Во время вдоха, в процессе дыхания, атом приобретает частицы  $M_+$  с повышенной скоростью  $V_1$  (из-за давления Пространства), при выдохе теряет со скоростью  $V_1$  вследствие этого атом, в конечном итоге молекула испытывает давление  $F_2$  со стороны большей плотности ее поля.  $F_2$  действует на молекулы разных масс с одинаковой силой, пропорциональной величине  $V_1$   $V_2$   $V_3$  поэтому

молекулы меньшей массы приобретают большую скорость движения, чем молекулы большей массы, то есть энергетическое состояние молекул определяет скорость их движения — кинетическую энергию.

## Радиоактивный альфа-распад

Согласно 8 образовавшееся скопление  $N_2$  имеют симметричную компоновку частиц и представляет не что иное, как альфа-частицу. Она

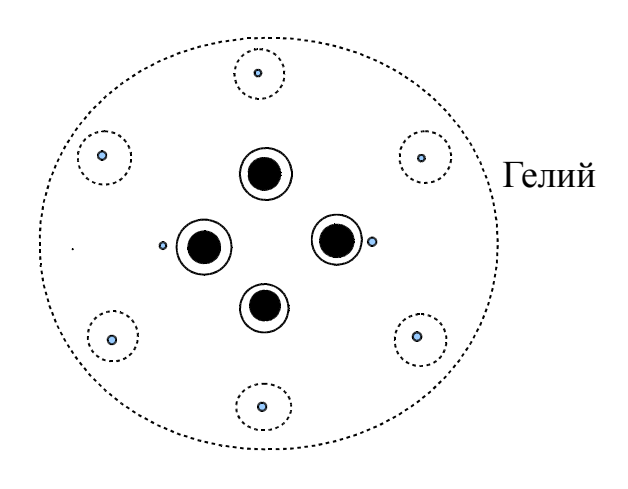


Рис. 66

может приобрести электроны в поле и превратиться в атом гелия, рис. 66. На рисунке изображены электроны, находящиеся, допустим, в зоне действующих в них сил  $-F_6^{\circ}_{\phantom{0}3}$  + $F_5^{\circ}_{\phantom{0}9}$  от затенения альфа-частицей. В поле вблизи протонов электроны так же могут находиться в зоне действия их сил  $-F_6^{\circ}_{\phantom{0}9}$  + $F_5^{\circ}_{\phantom{0}9}$  от затенения протоном, из-за нахождения в плотном рм<sub>+</sub> их поля отсутствуют.

Частицы  $N_1$  и  $N_2$  в ядре атома находятся в колебательном движении относительно друг друга, причем не хаотично, а синхронно — одновременно удаляются друг от друга, одновременно сближаются. При одновременном удалении друг о друга происходит рассеивание поля атома в окружающее Пространство — это выдох атома, при одновременном сближении — приобретение поля — вдох .Частота этих колебаний — частота дыхания

атома, в пределах частоты гамма-лучей.

В частицах  $N_1$  и  $N_2$  также происходят колебания и очевидно синхронно с дыханием атома. В нормальном состоянии сила волн дыхания атома слабая, но при его возбуждении, например, при выходе частицы из ядра, усиливается.

Амплитуда колебания частиц в ядре атома разная. Амплитуда частиц, находящихся в центре ядра будет меньшей, чем у частиц находящихся в периферии, наибольшая у крайних. В центре ядра конечно же будут в основном частицы, находящиеся в зонах  $-F_6{}^o{}_n$   $+F_5{}^o{}_n$  , крайние — в зонах  $-F_4{}^o{}_n$   $+F_3{}^o{}_n$  . В процессе выдоха атома ядро вздувается, его крайняя частица  $N_1$  или  $N_2$  может оказаться в зоне  $-F_2{}^o{}_n$  , так как за время движения с большей амплитудой она приобретает дополнительно инерцию. В этой зоне у его электрона может возникнуть сила  $-F_4{}^o{}_3$  ( рис. 67 ) и он переместится в сторону от ядра, что увеличит выталкивающую силу на N. На рисунке горизонтальными пунктирными линиями выделены зоны действия сил  $F^o{}_n$  и  $F^o{}_3$  и их величины в цифрах со знаками + и - , означающими притяжение или отталкивание от

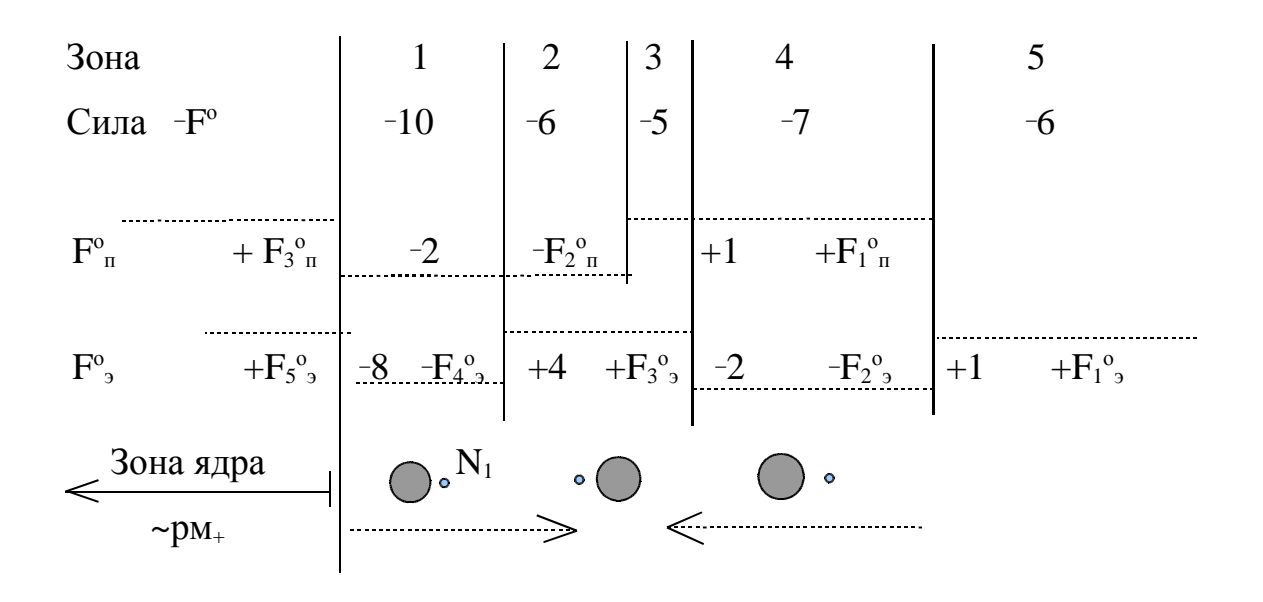


Рис. 67

ядра. Величины взяты произвольно : -8, +4, -2, +1, причем для упрощения

одинаковы для протона и для электрона с учетом их уменьшения по мере удаления от ядра в соответствии с диаграммой 8.

Вертикальными сплошными линиями выделены зоны, где происходит суммирование сил  $F_{n}^{o}$  и  $F_{n}^{o}$  равна -10, она выталкивает  $N_{n}$  или  $N_{n}$  из ядра. Далее, в процессе движения частицы, происходят изменения суммарных сил, указаны на рисунке. В зоне 5 частица покидает ядро при действии на нее силы равной -6, определяющей скорость ее вылета из атома.

Выход частицы N из ядра атома нарушает уравновешенное его состояние, приводя к возмущенному состоянию, при этом ядро возбуждает волны большей силы в пределах частоты гамма-лучей.

Во время вдоха атома, электрон частицы  $N_1$ , вошедшей в зону 4, может отделиться от нее под действием отрицательной полу волны  $\sim p M_+$ , так как она оказывает давление на протоны в сторону ядра, а на электрон — от ядра. Далее  $N_1$  и  $\Theta$  раздельно выходят из атома,  $N_1$  очевидно распадется на два протона.

Во время вдоха атома электроны частицы  $N_2$ , вошедшей в зону 4, не могут покинуть ее, они находятся в более плотной среде  $p_{M_+}$ , чем у частицы  $N_1$ .

# Резонансное излучение гамма-лучей ядром атома Эффект Мёссбауэра

Частота колебаний  $N_2$  и  $N_1$  ( далее частицы) в ядре атома зависит от их температуры, то есть от их скорости движения. Частицы в ядре движутся колебательно в пределах возникающих в них сил  $-F^\circ$  и  $+F^\circ$ . Их колебание похоже на колебание падающего с некоторой высоты на поверхность стола

упругого шарика. После каждого отражения от стола скорость шарика уменьшается и частота его колебания увеличивается. Скорость же частиц не меняется, они абсолютно упруги, поэтому и частота колебания не уменьшается. Уменьшить их скорость движения можно уменьшив температуру вещества.

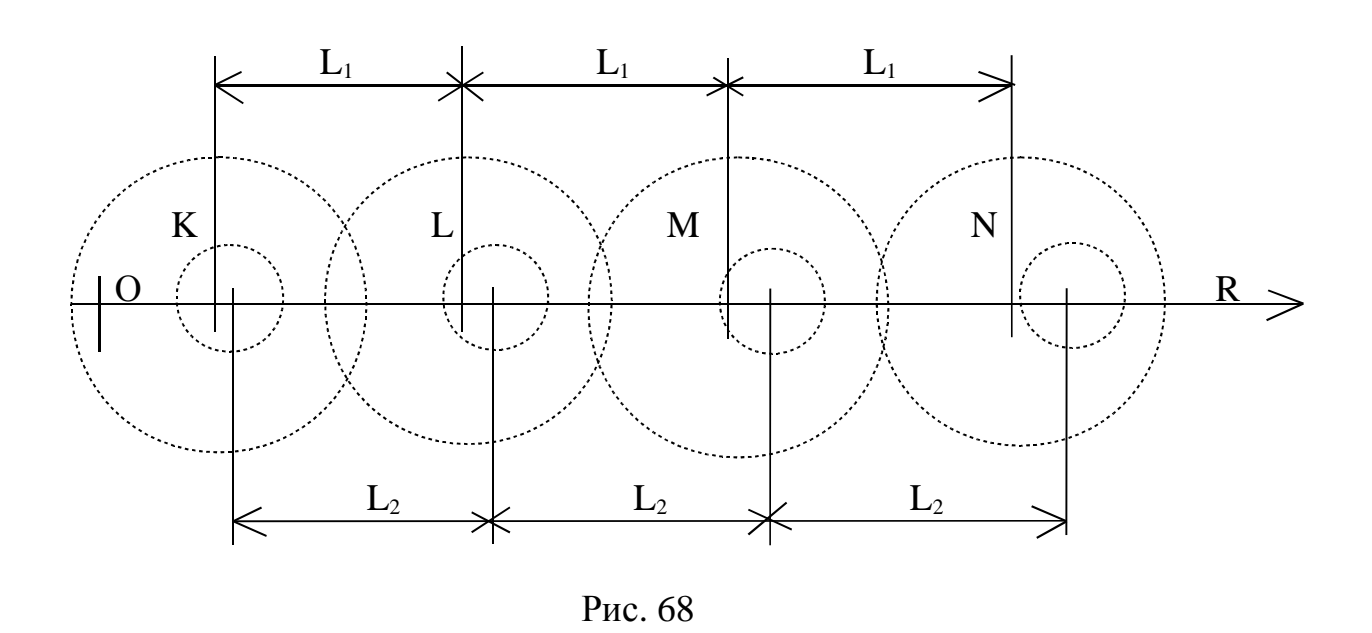
Для резонансного излучения гамма-лучей ядром атома необходимо равенство частот облучающего луча с частотой колебания частиц ядра — частотой дыхания атома. Если частоты несколько отличаются, излучение будет, но слабое и иметь частоту близкую к частоте дыхания. При заниженной частоте излучаемого луча по отношению к облучаемому, можно понизить температуру вещества, что повысит частоту колебаний частиц ядра, при которой наступит резонансное излучение.

## Эффект возбуждения волн разной длины ядром атома

Ядро атома представляет собой шарообразное скопление множества частиц  $N_2$  и  $N_1$ , находящихся в пределах взаимовлияния силами  $\pm F^\circ_{\pi}$  и  $-F_+^{\sim}$ . Частицы, естественно, упаковываются слоями, подобно шарообразной упаковки бильярдных шаров с увеличением их возможного количества от слоя к слою. Во внутренних слоях расположатся, конечно же, частицы силами взаимовлияния  $-F_6{}^\circ_{\pi}$   $+F_5{}^\circ_{\pi}$ , в следующих слоях частицы силами взаимовлияния  $-F_4{}^\circ_{\pi}$   $+F_3{}^\circ_{\pi}$ . Частицы в ядре находятся в состоянии постоянного синхронного колебательного движения — одновременно удаляются друг о друга, одновременно сближаются — ядро вздувается-раздувается — выдохвдох атома. При этом амплитуда колебаний частиц разная , чем ближе частица к краю скопления, тем больше амплитуда. В нормальном состоянии ядро возбуждает слабые волны  $\sim$ рм $\pm$  с частотой в пределах частоты гамма-лучей.

Если атом подвергся входу-выходу СЭ, то его ядро переходит в возбужденное состояние, то есть усиливается его колебание, усиливаются и

волны ~рм $\pm$ , причем каждая частица N и их электроны возбуждают свою волну, при этом центры приливной и отливной волн оказываются смещенными относительно друг друга и тем больше, чем ближе частица к краю скопления. На рис. 68 на радиальной линии R ядра , допустим, в точках пересечения вертикальных линий на расстоянии  $L_1$  друг от друга находились частицы в момент вдоха атома, расстоянии соответствующей возникновению сил  $-F_6{}^o{}_n$  или  $-F_4{}^o{}_n$ . В точках же пересечения вертикальных линий с расстояниями  $L_2$  друг от друга, допустим, частицы находились в момент выдоха атома, расстоянии соответствующей возникновению сил  $+F_5{}^o{}_n$  или  $+F_3{}^o{}_n$ .



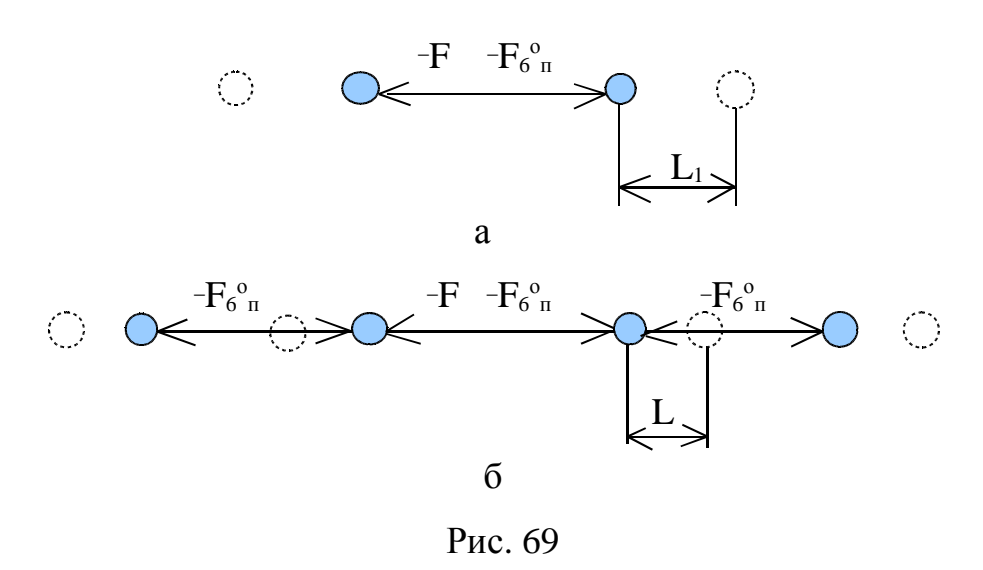
Ядро на расстояниях  $L_1$  его частиц приобретают из окружающей среды увеличенное поле  $pm_-$  — вдох атома, на расстояниях  $L_2$  рассеивает поле — выдох атома. Волны ~ $pm_-$ , возбужденные электронами в  $N_2$  и  $N_1$  так же оказываются с смещенными центрами приливной и отливной полу волн по выше обрисованной причине.

Возбужденные частицами разных слоев волны будут восприниматься регистрирующим устройством волнами разной длины в зависимости от угла

восприятия, см. рис.64.

Допустим, на рис. 68, в первом слое от центра O две  $N_2$ , во втором и третьем слоях по восемь, в четвертом слое один  $N_1$ , при этом в рентгеновском спектре в сериях K L M N, будут линии в количестве 2, 8, 8, 1 соответственно.

Величина смещения центров приливной и отливной полу волн, возбуждаемых частицами, зависит от количества слоев. Возбужденное состояние ядра от входа-выхода СЭ из атома проявляется возникновением силы -F, расталкивающей частицы. На рис. 69 а изображено ядро атома состоящее



только из двух частиц в момент вдоха. Допустим, что в этот момент атом подвергся входу-выходу СЭ, вследствие чего возникла сила -F, под действием которой частицы раздвинулись относительного первоначального положения на расстояние  $L_1$ .

На рис. 69 б изображено ядро атома, содержащего два слоя частиц. После возникновения силы -F частицы первого слоя раздвинулись относительно первоначального положения на расстояние L,  $L < L_1$ , так как масса частиц подлежащих раздвиганию увеличилась. Дальнейшее увеличение количества слоев совершенно очевидно приведет к еще большему уменьшению

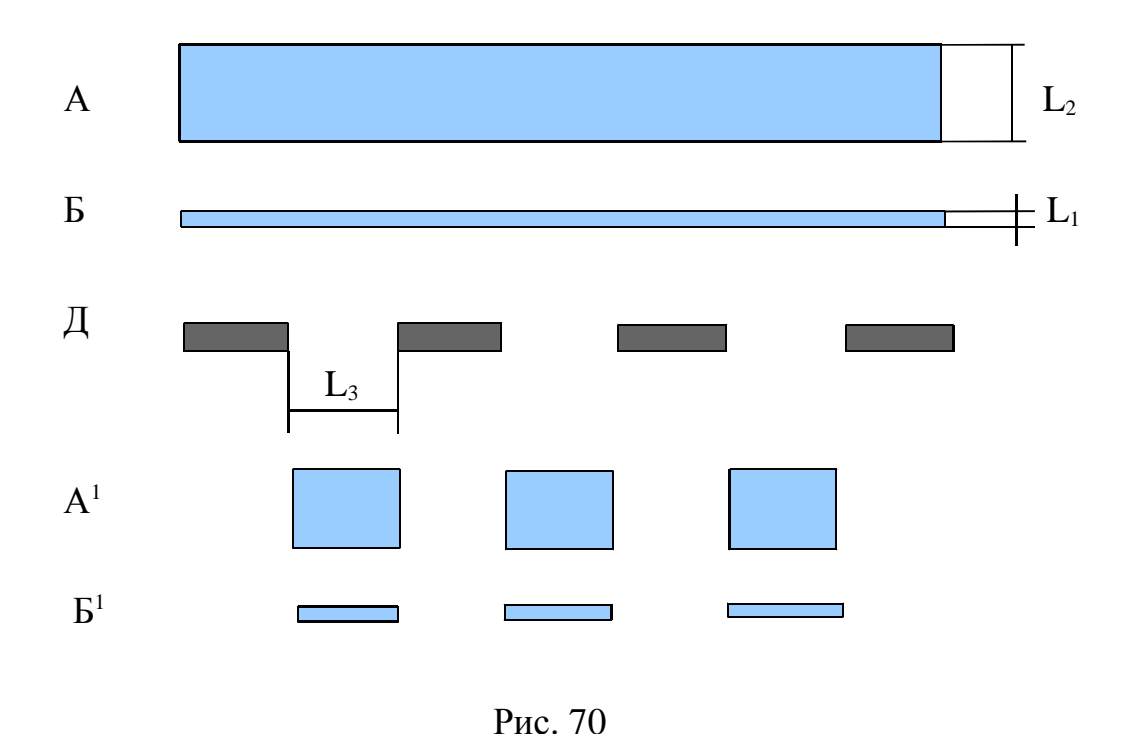
величины L, то есть уменьшению длин волн спектра.

L = v t, v — скорость расхождения частиц, t — время расхождения. Естественно скорость v обратно пропорциональна количеству частиц в ядре — их общей массе, время t так же обратно пропорциональна общей массе частиц ядра. Следовательно уменьшение длин волн спектра обратно пропорционально квадрату порядкового номера элемента в периодической таблице Менделеева.

$$L=1:M^2$$

# Дисперсия волн в дифракционной решетке

При прохождении фронта волны через дифракционную решетку (Д) она распадается на фрагменты. На рис. 70 изображено прохождение через нее



фронта ( A ) длинной волны (  $L_2$  ) и фронта ( B ) короткой (  $L_1$  ). Отношение длины фронта (  $L_3$  ) в фрагменте к длине волны L определяет степень

ослабления силы волны — чем меньше величина отношения, тем больше ослабление. Скорость распространения волны зависит от ее силы, поэтому после прохождения луча света через наклонно к нему расположенную дифракционную решетку происходит дисперсия.

#### Процесс образования ядра атома

В процессе образования ядра — соединения частиц  $N_1$  и  $N_2$  действуют силы:  $\pm F^{o}_{_{_{^{^{0}}}}}$ ,  $\pm F^{_{_{^{^{0}}}}}$ ;  $+F^{_{^{1}}}$  и  $-F_{_{^{+}}}$ . Частицы в процессе дыхания возбуждают волны ~рм± с преимуществом ~рм+, поэтому испытывают взаимно отталкивающие силы  $-F_{+}^{\sim}$ , проявляющиеся на достаточно больших расстояниях до возникновения в них сил  $+F_{1}^{o}$ , но в их электронах силы  $+F_{1}^{o}$  возникают раньше, на еще больших расстояниях. Электроны в их полях смещаются в сторону затенения, возникает сила  $+F^n$ , принуждающая к движению сблизившихся частиц друг к другу (рис. 15) до возникновения в них сил  $+F_{1}^{o}{}_{n}$ . Сумма сил  $+F^{\scriptscriptstyle \Pi}$  и  $+F_{\scriptscriptstyle 1}{}^{\scriptscriptstyle 0}{}_{\scriptscriptstyle \Pi}$  могут преодолеть  $-F_{\scriptscriptstyle 2}{}^{\scriptscriptstyle 0}{}_{\scriptscriptstyle \Pi}$  , так что частицы соединятся и будут совершать колебательные движения на среднем расстоянии  $L_{\rm o}$  друг от друга в пределах действия сил  $+F_{3}^{o}$  и  $-F_{4}^{o}$  . Далее, с двумя соединившимися аналогичным образом соединятся следующие, скапливаясь слоем (сферой) вокруг них (центра сферы) на расстоянии  $L_1 > L_0$ , так как в них затенение создается двумя частицами, на большем расстоянии. При достижении К = 8 — количество частиц в слое, установится равновесное состояние, рис. 71, частицы располагаются в углах куба на равных расстояниях  $L_{\rm B}$  как от центра, так и от соседних, такое возможно только при восьми частицах в слое. Равное расстояние между частицами означает равное волновое расстояние между ними, то есть между ними укладывается равное количество волн, что способствует резонансному возбуждению волн частицами слоя и ядра.

Две частицы в центре ядра находятся в состоянии колебания относительно друг друга — возбуждении волн. Эти волны приводят в

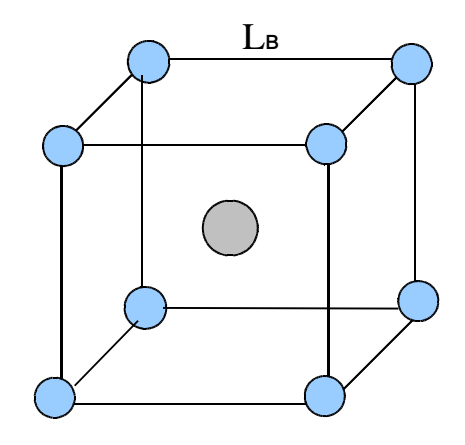


Рис. 71

колебательное движение и частицы , находящиеся в слое, одновременного удаления от центра, одновременного приближения к центру. При этом происходит изменение расстояния между ними, что приводит также к возбуждению ими волн, так что скопление находится в состоянии синхронного колебания — возбуждении волн, сопровождаемое приобретением частиц  $\mathbf{M}_{\pm}$  из окружающей среды, затем их рассеиванием — это дыхание скопления.

Итак, частицы в скоплении в виде куба удерживаются на равных расстояниях равенством действующих между ними сил  $+F_{\pi}^{\circ}$  и  $-F_{+}^{\circ}$ .

Естественно с образовавшимся скоплением с одним слоем могут соединяться следующие частицы , при этом затенение ( $3^{10}$ ) в них будет создаваться десятью частицами, так что их расстояния от центра  $L_2 > L_1$ . Вновь соединившиеся частицы так же образуют равновесное состояние, аналогичное предыдущему в виде куба, рис. 72 — это скопление со вторым слоем.

Дальнейшее соединение частиц с скоплением происходит их затенением ( $3^{18}$ ) восемнадцатью частицами, поэтому сумма сил  $+F^n$  и  $+F_1^o{}_n$  возникает на большем расстоянии и может разогнать частицу так, что она может проскочить  $-F_4{}^o{}_n$  зоны  $3^{18}$  и войти в зону  $3^{10}$  второго слоя. Некоторые частицы, не приобретя достаточную скорость для преодоления  $-F_4{}^o{}_n$ , могут остаться в зоне  $3^{18}$  — это третий слой , его расстояние от центра  $L_3 > L_2$ . Во втором же слое

количество частиц может увеличиться до предельного восемнадцати, при котором слой представляет сферу, возможно, с пятиугольными гранями, в углах

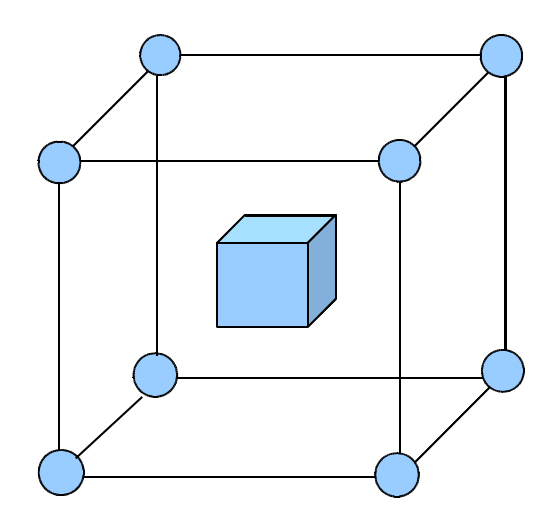


Рис. 72

которой находятся частицы. Большего количества частиц второй слой принять не может, так как достаточно сильными становятся силы  $-F^-$  и из-за равно близкого расстояния между ними.

Аналогичным образом происходит дальнейшее увеличение скопления до образования известных третьего слоя с предельно возможными тридцатью двумя частицами в слое и далее четвертого, пятого, шестого — согласно ныне существующей теории распределения электронов в атомах. Согласно данного исследования рассмотренное скопление — это ядро атома.

Все частицы в ядре атома возбуждают в основном волны  $\sim p M_+$ , от которых возникают силы  $-F_+^-$ . Эти силы от частиц слоев, направленные к центру ядра, суммируясь усиливаются, направленные же от центра — рассеиваются. По мере увеличения количества слоев ядра, силы направленные к центру значительно усиливаются, что приводит к переходу частиц внутренних слоев из зоны взаимовлияния  $-F_4^0_{\pi}$   $+F_3^0_{\pi}$  в зону  $-F_6^0_{\pi}$   $+F_5^0_{\pi}$ .

Атом с восемью частицами во внешнем слое ядра является инертным, так как частицы внешнего слоя размещены относительно друг друга и центра ядра

на равных расстояниях, что создает условия возбуждения им сильных волн дыхания  $\sim$ pм $_+$ и приобретения атомом плотной упаковки слоя электронов, исключающей возможность их смещения в какую либо сторону.

Выясним причину возбуждения слабых волн ~рм<sub>+</sub> атомом на примере ядра кислорода, у которого во внешнем слое шесть частиц вполне симметричным их расположением, рис. 73. Центральная частица ядра, находящаяся за частицей слоя, изображена кружком.

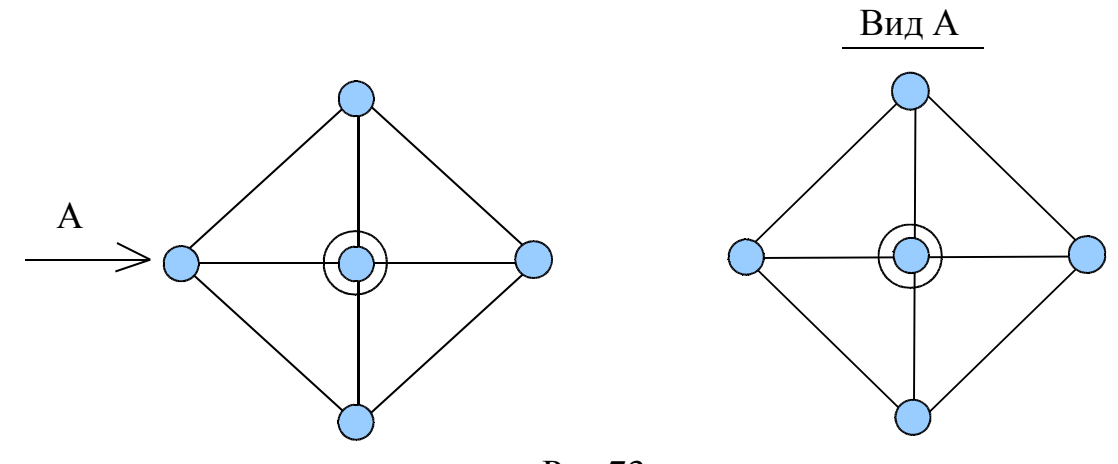


Рис.73

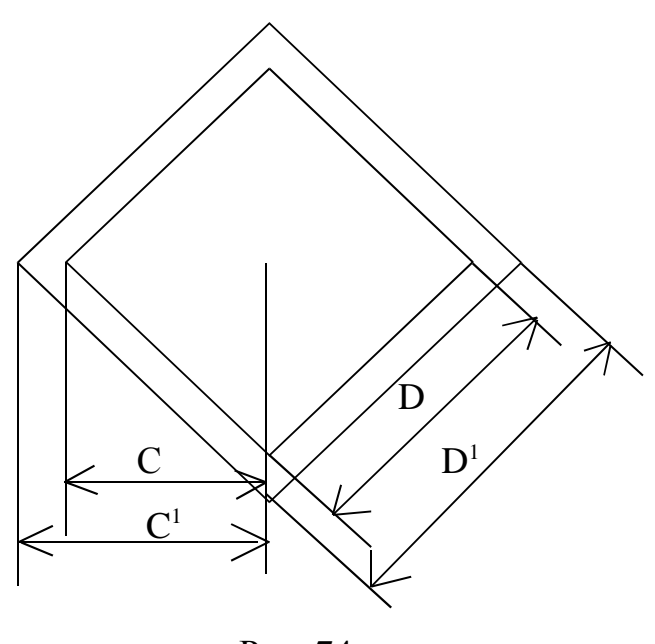


Рис. 74

Расстояния C частиц слоя от центра ядра не равна расстоянию D между

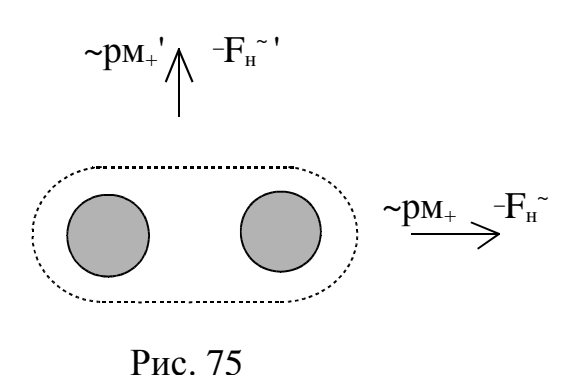
частицами в слое. В случае вздоха ядра изменение расстояний частиц от центра и относительно друг друга также различны,  $D^1 - D > C^1 - C$ , рис.74 Частота волны, возбуждаемая частицами при изменении расстояния между ними определяется скоростью их движения и скоростью распространения волны. Следовательно частицы возбуждают волны, содержащие две наложившиеся частоты, они естественно слабее, чем волны без накладки — в слое с восемью частицами, и эта слабость увеличивается по мере уменьшения количества частиц во внешнем слое. Частицы внешнего слоя наиболее близки к окружающей среде, поэтому их волны определяют взаимовлияние атомов.

# Процесс образования молекул.

Образовавшиеся ядра атомов возбуждают преимущественно волны ~рм<sub>+</sub>, поэтому приобретают электроны в свое поле до уравновешивания составляющих ~рм. и ~рм., при котором вход электронов прекращается. Расстояние электронов от ядра зависит от его массы — чем больше масса, тем дальше, а количество зависит от силы  $\sim p M_+$  — чем больше сила, тем больше. Ядро с восемью частицами во внешнем слое обзаводится наибольшим количеством электронов, образующим плотно (в пределах равенства сил  $-F^{-}$  и  $\pm F^{\circ}_{,0}$ ) заполненную сферу вокруг ядра; ядро с меньшим количеством обзаводится с недостаточным количеством для образования заполненной сферы. Поэтому при сближении атомов с не полностью заполненными электронными сферами их электроны смещаются в сторону затенения, возникает сила  $+F^{\Pi}$ , атомы сближаются до возникновения в них сил  $+F_{1}^{a}$ , которые совместно преодолевают  ${}^{-}\!F_{2}{}^{a}$ , возможно и  ${}^{-}\!F_{4}{}^{a}$  — атомы соединяются, совершая колебательные движения в пределах  $-F_4^a + F_3^a$ , или в пределах  $-F_6^a$ +F<sub>5</sub><sup>a</sup>. Атомы с плотно заполненными электронными сферами таким образом не соединяются, ибо их сферы сместиться в какую либо сторону не могут.

После соединения двух атомов образуется их общее увеличенное поле

рм<sub>+</sub> и возбуждаются волны ~рм<sub>+</sub> более низкой частоты (чем частота ядра) из-за колебания атомов относительно друг друга. Волны ~рм<sub>+</sub> низкой частоты создают на следующий атом отталкивающее действие  ${}^-F_{\text{H}}^{\sim}$ . Волны высокой  ${}^\sim F_{\text{B}}^{\sim}$  частоты могут действовать отталкивающе на частицу малого размера, на частицу большего размера не могут. Размер частицы должен быть в пределах длины волны. В третьем атоме конечно же электроны сместятся в сторону двух соединившихся атомов, и в нем возникнет сила  ${}^+F^{\text{n}}_{\text{n}}$ , но на него будет действовать  ${}^-F_{\text{H}}^{\sim}$ , что может превысить  ${}^+F^{\text{n}}_{\text{n}}$  и соединение третьего атома не произойдет. Волны  ${}^-\text{рм}_{\text{+}}$  низкой частоты от двух соединившихся частиц распространяются в окружающее пространство не во всех направлениях с одинаковой силой, рис. 75 :  ${}^-\text{рм}_{\text{+}}^{\text{+}} > {}^-\text{рм}_{\text{+}}$  , следовательно и  ${}^-\text{F}_{\text{H}}^{\sim}$  !  ${}^-\text{F}_{\text{H}}^{\sim}$  .



Поэтому с крайним атомом, при условии что  $-F_{\scriptscriptstyle H}{}^{\scriptscriptstyle \sim}$  окажется меньше  $+F^{\scriptscriptstyle \Pi}$  , третий атом может соединиться со стороны меньшей силы  $-F_{\scriptscriptstyle H}{}^{\scriptscriptstyle \sim}$  .

На рис. 76 изображена молекула водорода вблизи атома A большей массы. B электронах водорода возникли  $+F_1^{\circ}$  и они сместились в сторону

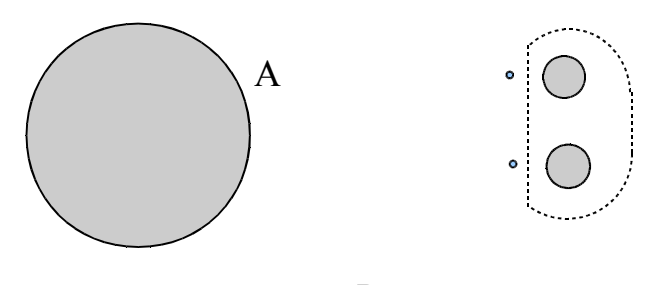


Рис.76

затеняющего атома. Поле молекулы на сторонах нахождения электронов

рассеяно, так что она движется в сторону A до возникновения в ее протонах сил  $+F_1{}^o{}_n$ . По мере приближения к A она входит в зону более сильных волн его дыхания, что приводит протоны к колебаниям и возбуждению волн частотой дыхания A. При этом между атомами молекулы возникает сила  $-F_8{}^{\sim}$ , которая разделит молекулу на два атома водорода. Разделившийся атом, под давлением сил  $+F_1{}^o{}_n$  и  $+F^n{}^o{}$ , преодолевает  $-F_2{}^o{}_n$ , возможно и  $-F_4{}^o{}_n$  и соединится с A, совершая колебания в пределах действия сил  $-F_6{}^a{}^a{} +F_5{}^a{}^a{}$ , или в пределах сил  $-F_4{}^a{}^a{} +F_3{}^a{}^a{}$ . Так как ядро атома водорода — протон, то его частота колебания будет равной частоте дыхания A, при этом он будет испытывать и действовать силой  $-F_8{}^\sim{}$  на частицы внешнего слоя ядра A. Вследствие этого атом водорода установится напротив места недостающей частицы слоя . Если ядро A во внешнем слое содержит семь частиц, то водород , возбуждая волны той же частоты, усиливает исходящие от A волны. А приобретает дополнительно электроны, которые образуют плотно упакованную сферу вокруг него. Так что второй атом водорода не соединиться с A.

Подобное произойдет и с атомами, во внешнем слое ядер которых 6, 5, 4 частиц, соединившимися с 2, 3, 4 атомами водорода соответственно.

На рис. 77 изображено соединение атома натрия H с молекулой воды B. Около атома кислорода (большой круг) расположены два атома водорода

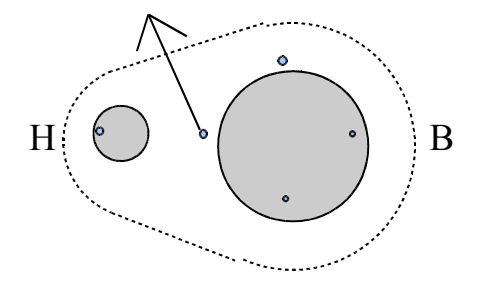


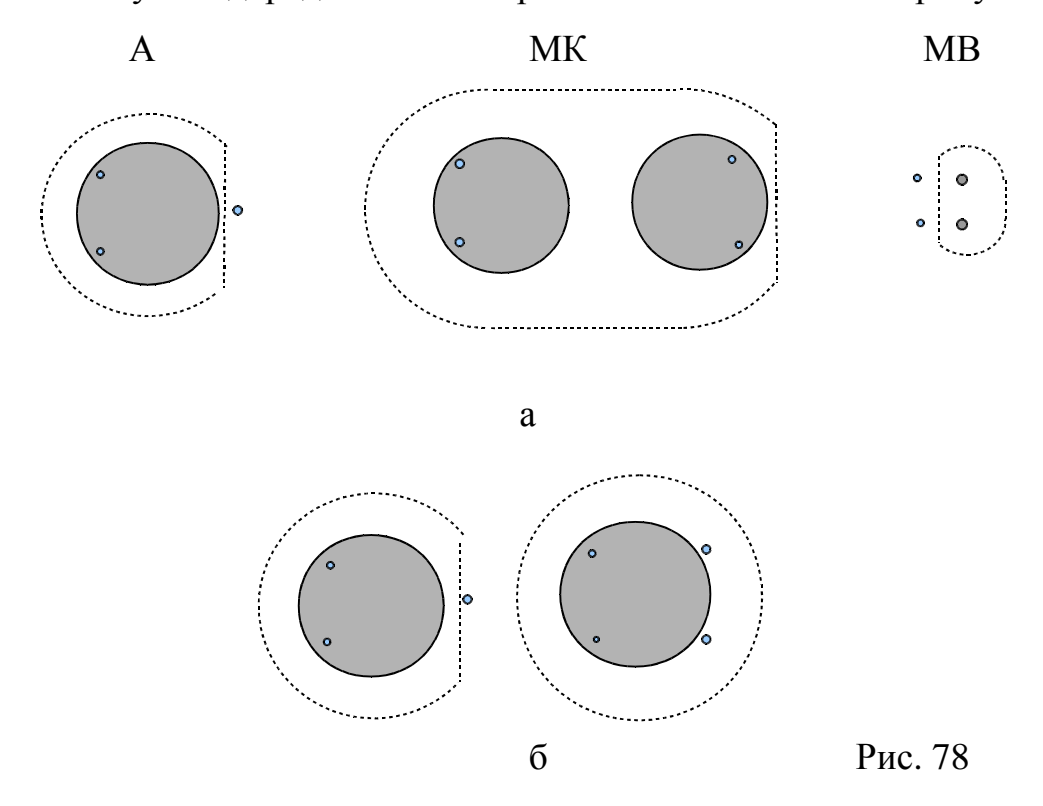
Рис. 77

напротив двух отсутствующих частиц внешнего слоя ядра, внутри круга — две частицы слоя. Частицы ядер испытывают силы  $-F_B^-$  (единственная частица натрия смещена в сторону от атома воды) в том числе и протон атома водорода.

Атом водорода, оказавшийся в зоне сильных волн  $\sim F_{\text{в}}^{\sim}$ , выталкивается из соединения H и B, изображено стрелкой.

Итак, атом, содержащий во внешнем слое ядра менее восьми частиц, не устойчив, возбуждает более слабые волны ~рм+, приобретает меньшее количество электронов в свое поле, которые перемещаются в сторону другого сблизившегося атома и приводят к их соединению — образованию молекулы. Молекула начинает возбуждать более сильные ~рм-, приобретает дополнительно электроны в общее для атомов поле и становится достаточно устойчивым.

На рис. 78а изображена молекула кислорода МК, слева от нее атом A, а справа молекула водорода МВ. Электроны A сместились в сторону МК, A



испытывает силы  $+F^n$  к МК и  $-F_+^{\sim}$  от нее.  $+F^n < -F_+^{\sim}$ , так как МК возбуждает сильные  $\sim$ рм., поэтому А не может соединиться с МК. Молекула водорода возбуждает преимущественно  $\sim$ рм., поэтому она склонна соединяться с атомами и молекулами, вследствие чего встречается в природе лишь в

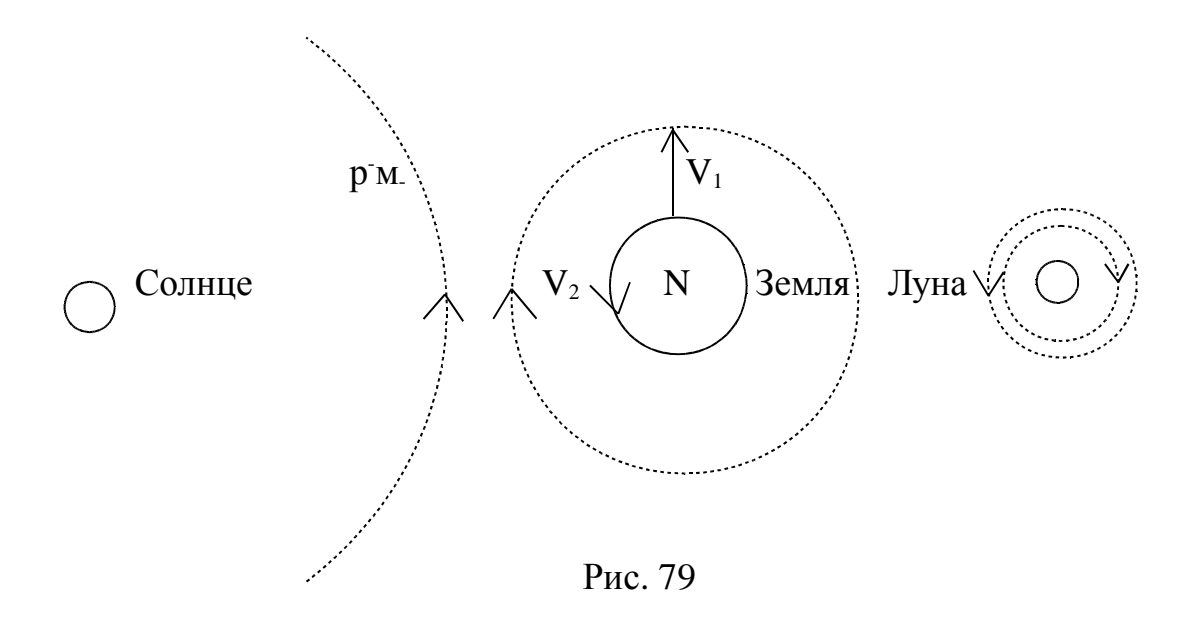
незначительных количествах, в основном в верхних слоях атмосферы. МВ рассеивает поле МК на стороне более слабой  $\sim pm_+$ , так что атом кислорода и МВ испытывают  $+F^{\pi}$  друг к другу и соединяются, рис. б. После соединения атома кислорода с МВ — образования молекулы воды, усиливается ее  $\sim pm_-$ , приобретаются дополнительно электроны, молекула становится достаточно устойчивой, второй же атом отделяется .

# Магнитное поле Солнца

Пространство содержит множество всевозможных частиц, в том числе и м., имеющих свойство образовывать вихри вокруг более крупных, непроницаемых для них, частиц, что привело очевидно к возникновению вихря-вращения р°м. вокруг Солнца, представляющего его магнитное поле.

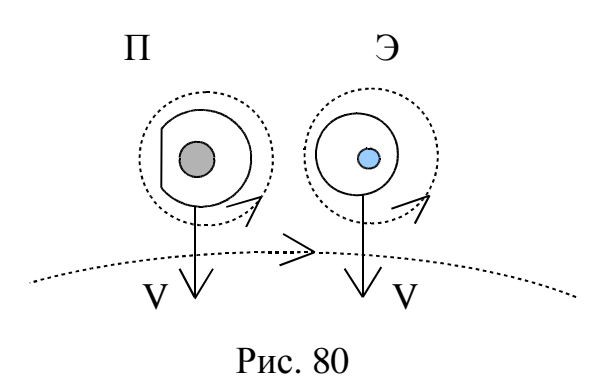
Плотность потока р $^{\cdot}$ м. во вращении вокруг Солнца, естественно, по мере удаления от него убывает, то есть имеет место р $^{\prime}$ м., вследствие этого вокруг планет возникают наведенные вихри (магнитные поля), направления вращения которых согласны стороне большей силы р $^{\cdot}$ м. Возникшие вихри, ранее установили, усиливаются окружающей средой частиц м. Для возникновения достаточно сильного магнитного поля планеты необходимо наличие в ней достаточно большой массы вещества из намагничивающихся атомов. На рис.79 изображена Земля с (наведенным магнитным полем Солнца) вихрем — пунктирная окружность со стрелкой, указывающей направление вращения. На изображении Земли (вид на северный полюс  $^{\cdot}$ N) стрелка  $^{\cdot}$ V $_{1}$  — направление ее движения,  $^{\cdot}$ V $_{2}$  — направление вращения вокруг своей оси.

Луна находится под влиянием двух магнитных полей: Солнца и Земли, на рисунке изображены два вихря, возбужденные их полями, они встречны. Сила магнитного поля луны определяется разностью сил вихрей, наведенных Солнцем и Землей.



Восточно-западный эффект

Известно, космические лучи, падающие из мирового Пространства, испытывают отклонение в магнитном поле Земли: положительные частицы, входящие в их состав, отклоняются к востоку, а отрицательные — к западу. На рис. 80 изображены электрон Э и протон П, падающие в магнитном поле Земли , изображенном пунктирной дуговой стрелкой; направление движения



частиц — стрелки V. Вокруг Э и П наведены вихри р°м. магнитным полем Земли; изменения происшедшие в их оболочках изображены, в итоге (с учетом эффекта рис. 56) протон испытывает давление на восток, электрон — на запад.

# Излучение Вавилова-Черенкова

Известно, облучение жидкости электронами радиоактивного распада вызывает весьма слабое видимое ее свечение. При достаточной скорости движения электрон может войти и выйти из атома. Вход электрона в атом сопровождается частичным вытеснением (рассеиванием) поля ядра рм<sub>+</sub> из атома. Степень вытеснения определяется величиной (n+1): n, n — количество электронов в оболочке атома. Выход электрона из атома сопровождается приобретением атомом утерянной плотности рм<sub>+</sub> поля ядра. Рассеивание-приобретение рм<sub>+</sub> представляет световую волну. Естественно, сила этой волны достаточно слабая по сравнению с волнами, возбуждаемыми сталкивающимися атомами.

# Вращение перигелия Меркурия

Известно вращение перигелия Меркурия — смещение большой полуоси её эллиптической орбиты — медленное вращение вокруг Солнца с течением времени. Это считалось доказательством справедливости ОТО Эйнштейна на основе здраво не воспринимаемых и осмысливаемых уравнений кривизны пространственно-временного континуума вблизи большой массы.

Вращение перигелия Меркурия является следствием силы тяготения, что подтверждается следующим элементарным экспериментом, рис. 81. Железный шарик подвешен на нити над полюсом магнита. Если шарик привести в движение толчком F несколько в стороне (как изображено на рисунке) от оси магнита, шарик начинает движение по эллиптической траектории вокруг полюса магнита. С течением времени большая полуось орбиты вращается в том же, указанном пунктирной стрелкой, направлении; скорость вращения пропорциональна величине отношения большой полуоси орбиты к малой.

Если шарик заменить магнитом, противоположным полюсом  $S \kappa N$  , направление вращения сохраняется.

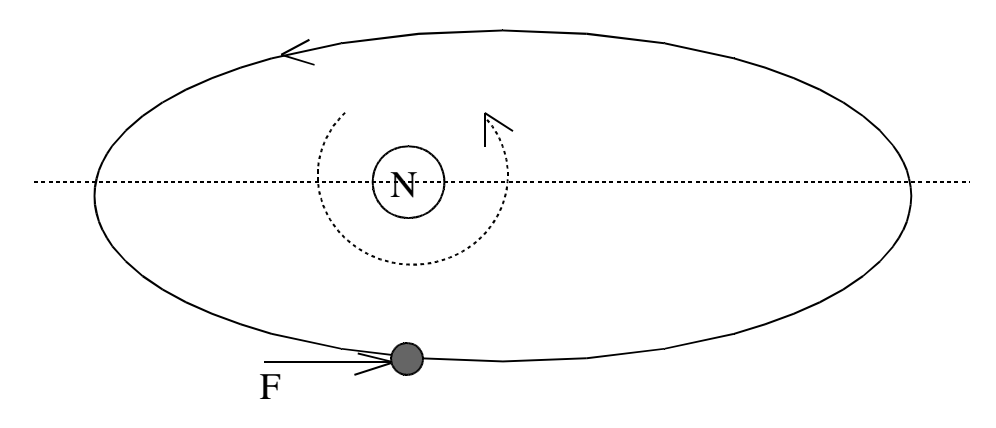


Рис. 81

Если же магнит подвесить полюсом N к N, направление вращения большой полуоси будет противоположным.